

T.C.  
KIRIKALE ÜNİVERSİTESİ  
FEN BİLİMLERİ ENSTİTÜSÜ  
FİZİK ANABİLİM DALI

BAZı Gd İZOTOPLARININ GEÇİŞLERİNİN ELEKTROMANYETİK  
KARIŞIMLARININ İNCELENMESİ

YÜKSEK LİSANS TEZİ

Tez No : FİZ.YL.003

Tezi Hazırlayan:  
ŞERAFETTİN ATALAY

og8238

Tez Yöneticisi:  
PROF.DR.İHSAN ULUER

KIRIKALE 2000

T.C. YÜKSEK ÖĞRETİM KURULU  
DOKUMANTASYON MERKEZİ

Fen Bilimleri Enstitüsünce Yüksek Lisans Tezi Olarak Uygun Bulunmuştur.

14.12.2000

Doç. Dr. M. Yakup ARICA

Enstitü Müdürü

Yüksek Lisans Derecesini Tamamlamak İçin Tezin Yeterli Olduğunu Onaylarım.

Prof. Dr. İhsan ULUER

Anabilim Dalı Başkanı

Bu Tezi Okuduk. Bizim Açıımızdan Tezin Kapsamı ve Kalitesi Yüksek  
Lisans Derecesini Tamamlamak İçin Yeterli ve Uygundur.

Yardımcı Danışman

Prof. Dr. İhsan ULUER

Danışman

#### Tez Jürisi Üyeleri

Prof. Dr. İhsan ULUER

Prof. Dr. Ali E. KULIEU

Doç. Dr. Recep AKKAYA

# İÇİNDEKİLER

TEŞEKKÜR .....	I
ÖZET .....	II
ABSTRACT.....	III
1. BÖLÜM.....	1
GİRİŞ.....	1
2. BÖLÜM.....	3
TEORİK BİLGİLER .....	3
2. 1. Giriş .....	3
2. 2. Deforme Çekirdeklerin Dönme Hareketi .....	6
2. 3. Deforme Çekirdeklerin Titreşim Hareketi .....	9
2. 4. Elektro Manyetik Geçişler ve Çok Kutuplu Karışım Oranları.....	12
2. 5. Deformasyonun Kaynağı .....	13
2. 6. $g_R$ Faktörü.....	16
2. 7. Kolektif Durumların Nükleer Momenti .....	16
2. 8. Etkileşen Bozon Modeli .....	17
2. 8. 1. Elektromanyetik Geçiş operatörleri.....	19
2. 8. 2. Modelin Grup Yapısı.....	21
2. 8. 3. Durumların Sınıflandırılması .....	24
2. 8. 4. Dinamik Simetrisi.....	28
2. 8. 4. 1. Vibrasyonel Limit .....	30
2. 8. 4. 2. Rotasyonel Limit .....	31
2. 8. 4. 3. $\gamma$ -Kararsız Limit .....	32
3. BÖLÜM.....	34
BAZI ÇİFT-ÇİFT Gd İZOTOPLARININ İNCELENMESİ .....	34
3. 1. Giriş .....	34
3. 2. $^{150}\text{Gd}$ Izotopu .....	34

3. 2. 1. $^{150}\text{Gd}$ izotopunun Enerji Düzeyleri ve Geçişlerinin Kutupsallığı	37
3. 2. 2. $^{150}\text{Gd}$ Izotopunun Çokkutuplu Karışım Oranları .....	39
3. 3. $^{152}\text{Gd}$ Izotopu .....	40
3. 3. 1 $^{152}\text{Gd}$ Çekirdeğinin Enerji Düzeyleri ve Geçişlerin Kutupsallığı	44
3. 3. 2. $^{152}\text{Gd}$ Izotopunun Çokkutuplu Karışım Oranları .....	46
3. 4. $^{154}\text{Gd}$ Izotopu .....	47
3. 4. 1. $^{154}\text{Gd}$ Çekirdeğinin Enerji Düzeyleri ve Geçişlerin Kutupsallığı	48
3. 4. 2. $^{154}\text{Gd}$ Izotopunun Çokkutuplu Karışım Oranları .....	53
3. 5. $^{156}\text{Gd}$ Izotopu .....	54
3. 5. 1. $^{156}\text{Gd}$ Çekirdeğinin Enerji Düzeyleri ve Geçişlerin Kutupsallığı	56
3. 5. 2. $^{156}\text{Gd}$ Izotopunun Çokkutuplu Karışım Oranları .....	60
BÖLÜM 4.....	61
TARTIŞMA VE SONUÇLAR .....	61
4. 1. Giriş .....	61
4. 2. Gd Izotoplara Ait Çokkutuplu Karışım Oranları .....	61
4. 3, Bazı Gd Çekirdeklerinde Uyarma Enerjileri.....	65
KAYNAKLAR .....	67

## **TEŞEKKÜR**

Tüm Yüksek Lisans eğitimim esnasında bana destek ve yardımcı olan, özellikle tezin hazırlanması ve yazımı esnasında kıymetli fikirlerini ve zamanlarını bana ayıran tez danışmanım Sayın Prof. Dr. İhsan ULUER hocama teşekkür ediyorum.

Çalışmamın yazımı esnasında katkıda bulunan Derya ÇAĞLAR'a ve fikir ve manevi destekleriyle katkıda bulunan tüm dostlara teşekkür ediyorum.

**Şerafettin ATALAY**

20/01/2000

## **ÖZET**

Deforme bölgede bulunan Gadolinyum izotoplari bölgenin pek çok özelliklerini taşımakta ve araştırmalar için önemli bir kaynak oluşturmaktadır. Bu çalışmada, öncelikle çekirdek deformasyonunun ölçüsü olan faktörler ve parametreler incelendi. Çift-çift bazı Gadolinyum izotoplarnın enerji düzeyleri, bu düzeyleri birleştiren elektromanyetik geçişlerin kutupsal karışım oranları tablo edildi ve bunlardan yararlanarak indirgenmiş karışım oranları hesaplandı. Bundan önceki çalışmaların sonuçları ile karşılaştırıldı. Sonuçların iyi bir uyum içinde oldukları, aynı pariteli seviyeleri birleştiren geçişlerin genelde E2 ve aksi pariteleri birleştiren geçişlerin genelde E1 karakterinde oldukları belirlendi.

## SUMMARY

The gadolinium isotopes are at the onset of the deformed region; have many properties of this region and provide an important source for the research work. In this work, the factors and the parameters indicating the nuclear deformation are taken into account at first. The energy levels the mixing ratios of transitions between these levels are tabulated and the reduced mixing ratios are calculated from these values. It is shown that the results are in good agreement with the previous values and the transitions between levels of same parity are mostly E2 and the transitions between levels of opposite parity are mostly E1.

## 1. BÖLÜM

### GİRİŞ

Son yıllarda, çekirdék yapısı üzerinde geliştirilen modeller, onun çeşitli deneysel durumlarda gözlenen hallerini açıklamakta büyük ilerlemeler kaydedilmesini sağlamıştır. Ancak  $150 \leq A \leq 190$  deforme bölgesi ve bu bölge girişinde yer alan elementlerin çekirdekleri üzerinde yapılan incelemeler, hala çok ilginç durumlar arz etmektedir. Bu bölgedeki  $N=88-90$  nötrona sahip çekirdeklerin, nükleer yapısının anlaşıılması, enerji spektrumundaki geçişlerin kutupsallıkları ve onların karışım oranları ile ilgili birçok soru hala cevaplanamamıştır. Bu sorunlar, Arima ve Iachello tarafından geliştirilen ve açısal momentumun 0 veya 2 olması durumuna göre s ve d ismini alan bozonlar topluluğuna dayanan modeliyle oldukça başarılı bir şekilde açıklanmıştır. Bu modelde bozonlar, elemanter parçacıklar olarak düşünülen, nükleon (proton ve nötron) çiftleri olarak ele alınmıştır.

Cekirdekte, iki nükleon arasında doğan ve kısa menzilli olan eşleşme kuvveti ve kuadropol yük dağılımları sonucu ortaya çıkan kuadropol kuvvetleri, çekirdeğin şekli üzerinde önemli bir rol oynar. Nükleon-nükleon etkileşimi detaylı olarak bilinmediği için, çekirdeklerin enerji seviyeleri ve değişik nükleer özellikleri tam olarak hesaplanamamıştır. Nükleonların karmaşık kuark yapısı nedeniyle, nükleon-nükleon etkileşimi iki elektron arasındaki etkileşimden ziyade iki molekül arasındaki etkileşime benzemektedir. Etkileşimin karmaşıklılığına ve çok sayıdaki serbestlik derecesine sahip olmasına rağmen yıllar süren deneyler ile nükleer yapının birçok değişik özelliği belirlenebilmiştir.

Ortaya atılan birçok model, bu modellerin uygulaması ve sadeleştirilmesiyle bir model ve diğeri arasındaki benzerlik ve ilişkinin kurulmasıyla bu modeller arasında bir temel oluşturulmaya çalışılmıştır. Bazı çekirdekler için başarılı olan bir model bazı çekirdekler için başarısız kalabiliyor hatta belli bir çekirdekte farklı durumların değişik modellerle basitçe tanımlanıldığı kabul edilmektedir. Bütün bu durumlar göz önüne alındığında, modellerin birleştirilmesi önemli bir amaç olarak ortaya çıkar. Her model, çekirdeklerin özelliklerini ve özellikle o çekirdeğin karakteristiği olan gözlenebilir farklı büyüklükler arasındaki ilişkinin anlaşılmasına yardımcı olur.

Etkileşen Bozon Modeli, bahsedilen olumsuzlukları büyük ölçüde gidermiştir. Ayrıca çekirdeklerin kolektif durumlarının tanımlanmasında oldukça başarılı olmuştur.

Bu çalışmanın amacı: Etkileşen Bozon Modeli kullanılarak, deformе bölge girişinde bulunan bazı çift-çift Gadoliniyum izotoplarının enerji seviyeleri arasındaki elektromanyetik geçişlere ait  $\delta(E2/M1)$  ve  $\delta(M2/E1)$  karışım oranlarının hesaplanması ve geçişlerin incelenmesidir.

## **2. BÖLÜM**

### **TEORİK BİLGİLER**

#### **2. 1. Giriş**

Çekirdek içindeki kuvvetler tam olarak bilinmediğinden dolayı çekirdekle ilgili genel bir teori tam olarak oluşturulmamıştır. Değişik metodlarla yapılan deneyler sonucunda ortaya çıkan sonuçları yorumlayabilmek için değişik modeller sunulmuştur. Bunlardan ilki 1930 yılında Bohr tarafından ortaya atılan sıvı daması modelidir [EISENBERG, GRAINGER 1970]. Bu modelde çekirdeğin iç yapısına bakılmaksızın çekirdeğin kütleleri ve kararlılığı incelenmiştir. Bu model çekirdek bölünmeleri başarılı bir şekilde açıklanmıştır fakat sihirli çekirdeklerin komşu çekirdeklerle göre gösterdikleri daha kararlı durumları açıklayamadığı için fazla uzun ömürlü olamamıştır.

Bu yapıyı açıklayabilmek için 1934'te Elsasse ve Guggenheimer kabuk modelini geliştirmiştir [ARYA 1970]. Çünkü sihirli sayılı çekirdeklerdeki kararlılık ve bazı diğer özellikler incelendiğinde bu çekirdeklerin asal elementlere benzediği, dolayısıyla da atomlar gibi kabuk yapısında olabileceği düşünülmüştür. Bu modelde proton ve nötronlar ayrı kabuklarda bulunurlar. Nükleonlar, sihirli sayı değerlerini aldıklarında, çekirdeklerdeki proton ve nötron kabukları dolar ve böylece diğer çekirdeklerle göre daha kararlı bir durum arz eder. Ayrıca bu çekirdeklerin kuadropol momentlerinin sıfıra çok yakın olması da bu çekirdeklerde küresel simetriye yakın kapalı kabukların varlığını desteklemektedir. Yine bu çekirdeklerin ilk uyarılma enerjileri ve son nükleonunun bağlanma enerjisi komşu çekirdeklerinkine nazaran büyük, kararlı izotop ve izoton sayılarının komşu çekirdeklerle göre fazla olması kabuk yapısını akla getirir.

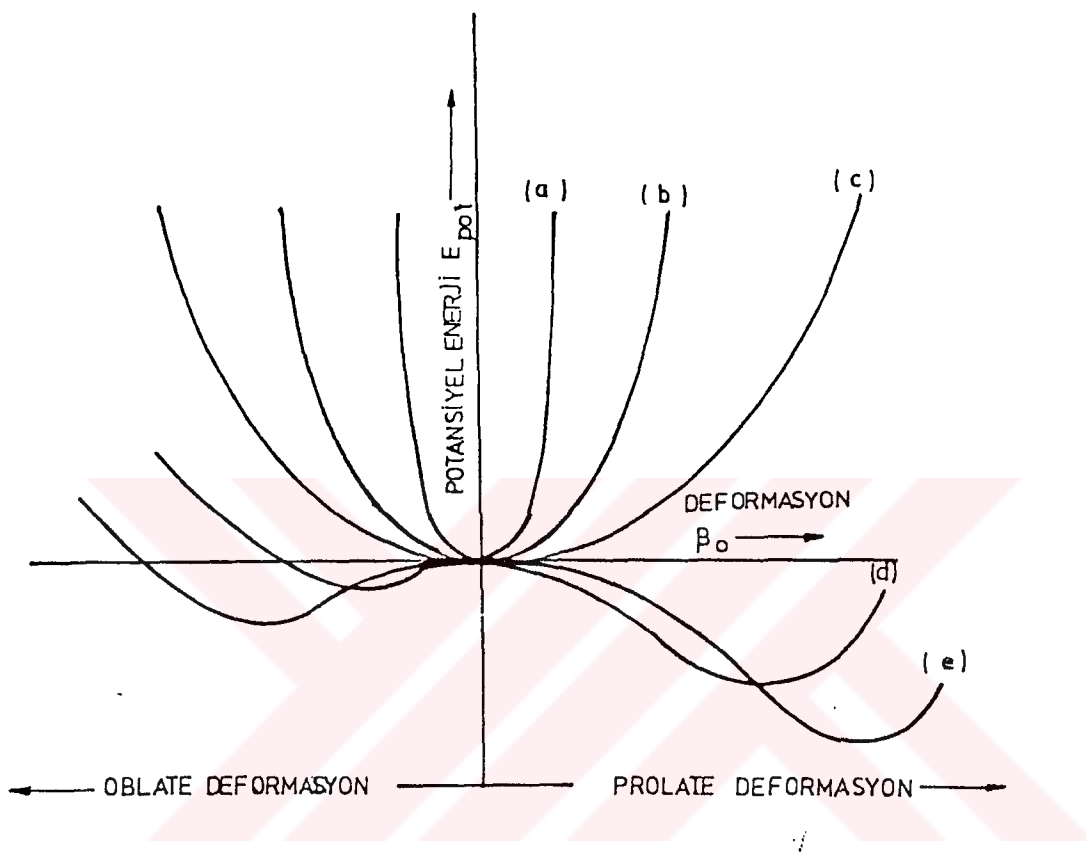
Kabuk modeli, küresel simetrik bir potansiyelde, belirli kabuklarda hareket ettiğini kabul ettiği tek parçacıkların yapısını anlamada oldukça başarılı olmuştur. Fakat deform olmuş bölgedeki çok büyük kuadropol momentlerini açıklama yetersiz kalmıştır. Büyük B(E2) değerleri de büyük kuadropol etkileri gösterir. Gözlenen büyük momentleri açıklamak için kapalı kabuk dışında çok sayıda nükleonun kolektif hareketi dikkate alınması gereği meydana çıkmış oldu. Düşük enerjili uyarma spektrumları ve elektromagnetik geçiş ihtimalleri de kabuk modeliyle açıklanamaz.

Kabuk modelinin açıklayamadığı bu durumları açıklayabilen model ilk olarak 1950 de Rainwater [RAINWATER 1950] tarafından ileri sürüldü. Daha sonra tek parçacık ve kolektif olayların birleştirildiği bir model de 1951 de Bohr ve Mottelson [BOHR MOTTELSON 1969] tarafından geliştirildi. Bu modelde çekirdek içindeki bütün parçacıkların kolektif hareketi dikkate alınarak, bu hareket sonucunda oluşan deformasyon ve sonuçları izlenir. Deformasyonun oluşumunda, kapalı kabuklar dışındaki nükleonların hareketiyle ortaya çıkan kutuplanmanın yanı sıra, kapalı kabuk içindeki özün biçimini ve açısal momentumunu da dikkate alınır[MALMIER SHELTON 1970].

Çekirdekteki nükleonlar, kolektif modelde, kabuk modelinde olduğu gibi bir  $V(r)$  potansiyelinden bağımsız olarak hareket ederler. Yalnız bu potansiyel etrafındaki nükleon hareketleri nedeniyle deform olabilir. Bu da özün küresel simetrisinin kaybolmasına ve yörunge nükleonları yönünde uzamasına neden olur. Bağımsız parçacıkların içinde hareket ettikleri bu küresel olmayan deformasyona sahip potansiyel kuyusu ve kolektif hareketlerin bir arada düşünülmesi gereklidir. Eksensel simetri deform olan bu potansiyeli, spin yörunge teriminin ilavesiyle şöyle verilebilir[DUDEX 1975].

$$V_i = \frac{M}{2} [w_{xy}^2 (x^2 + y^2) + w_x^2 z^2] + C(\vec{I} \cdot \vec{S}) + D(\vec{I}^2) - 1$$

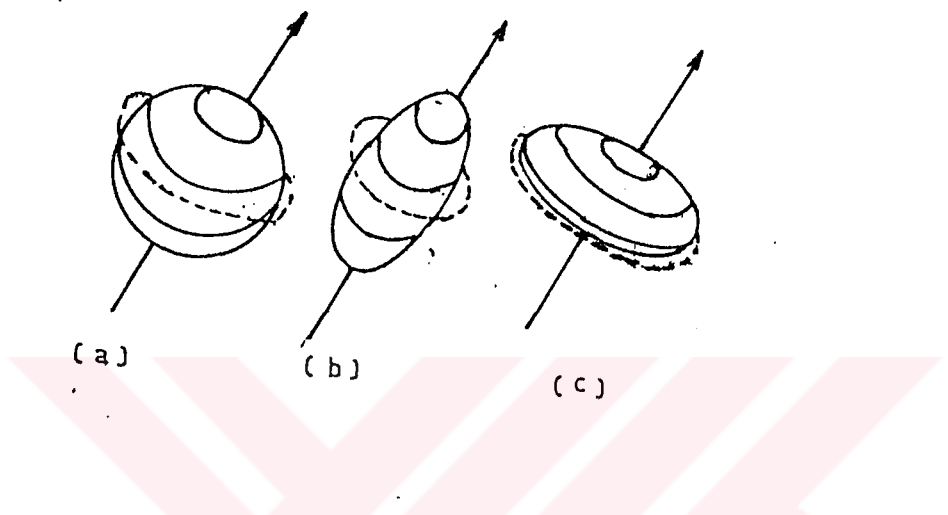
Bu potansiyel enerjinin, deformasyonunun fonksiyonu olarak, kapalı kabuk dışında değişik sayıda parçacık için grafiği çizilirse Şekil 2.1 deki gibi bir eğriler serisi elde edilir [PAUL 1969].



**Şekil 2.1.** Potansiyel Enerjin ( $E_p$ ), Deformasyon Parametresine ( $\beta_0$ ) bağlı değişimi. (a) Kapalı kabuk çekirdeklerini, (b) ve (c) kapalı kabuklardan uzaklaşan çekirdekleri, (d) ve (e) Kapalı kabuklardan çok uzaklaşmış çekirdekleri temsil eder.

Bu grafikte a eğrisi kapalı kabuk yakınında çiftilenim kuvveti nükleonları bir küresel denge şekli alacak tarzda bir araya getirmeye çalışır. Biraz daha parçacık ilave edildiğinde b eğrisi çekirdeği deform etmeye çalışan uzun menzilli kuvvetler çiftilenme kuvvetiyle kıyaslanır hale gelir. Çekirdek daha gevşek bir hal almıştır ve uyarma enerjileri azalmaya başlamıştır. Sonunda uzun menzilli kuvvetler baskın hale gelince, küresel şekil kararsız hale gelir

ve çekirdekteki kalıcı deformasyon meydana gelir. Ayrıca Şekil 2.1 den de açıkça görüldüğü gibi, eksensel simetride,  $\beta_0$  deformasyon parametresinin fonksiyonu olarak enerjinin iki esas minimumu vardır. Birincisi; prolate şekli ifade eder. Bu durumda  $\beta^+ > 0$  dır. İkincisi; negatif deformasyona karşılık gelir ve çekirdeğin oblate şeklini ifade eder,  $\beta^- < 0$  dır (Şekil 2.2)



**Şekil 2. 2.** Çekirdeğin (a) Küresel (b) Prolate (c) Oblate Şekilleri.

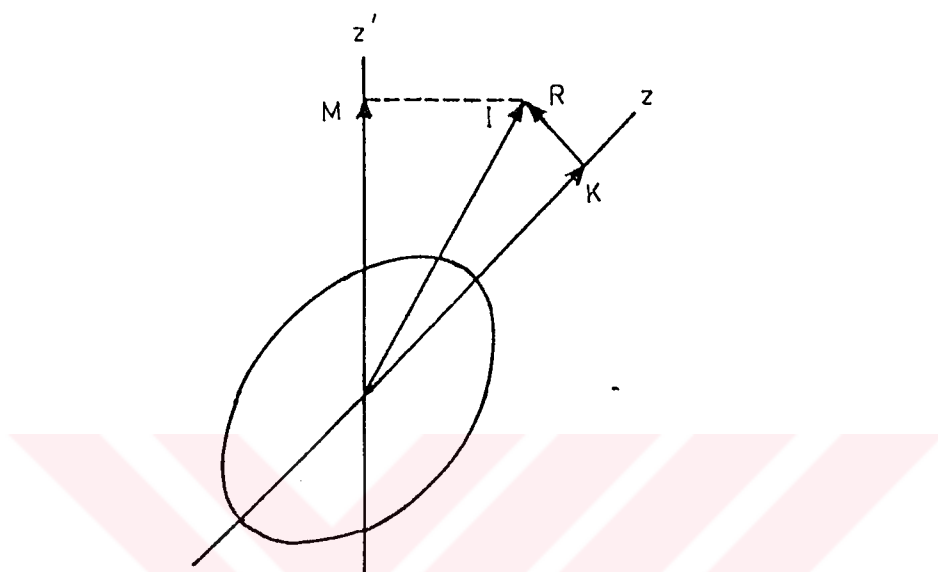
## 2. 2. Deforme Çekirdeklerin Dönme Hareketi

Çift-çift çekirdekler kapalı kabuklarının dışında, çok sayıda nükleon bulundururlar. Bu çekirdekler için basit bir simetrik dönücü spektrumu ele alındığında, deformasyon miktarını değiştirmeksizin veya şeklini değiştirmeksizin çekirdeğin serbest dönmesini tanımlar. Bu ise bir serbest dönütünün Hamiltoniyeninin vereceği şu sonuca özdeşdir:

$$T_{\text{rot}} = \frac{1}{2} J_k W_k^2 \quad 2$$

Burada  $W_k$ , k. asal eksen tarafından açısal hız ve  $J_k$  ise buna karşılık gelen eylemsizlik momentidir. Bir elipsoit için iki  $J_k$  eşit ve simetri eksenine göre eylemsizlik momenti  $J_k = 0$  dır. Bundan dolayı J değeri bir simetrik dönütün hareketini tanımlamada yeterlidir. Şimdi eksenel simetrik bir

deforme çekirdeğin açısal momentumu ele alınmış olsun. Gevşek bağlı olan kapalı kabuk dışındaki nükleonların hareketi önemli oluyor. Çekirdeğin toplam açısal momentumu  $I(\equiv \hbar [I(I+1)]^{1/2})$  dir.  $I$ 'nın uzay eksenindeki bileşeni  $M\hbar$  ve simetri eksenindeki bileşeni ise  $K\hbar$  dir. Bu durum Şekil 2. 3.'de gösterilmiştir.



**Şekil 2. 3. Deforme Çekirdeklerde Kuplaj Şeması**

Her bir bağımsız parçacığın  $\vec{I}$  açısal momentumunun simetri eksenindeki izdüşümü  $\vec{\Omega}$  dir ve  $\sum \vec{\Omega} = \vec{K}$  olur. Kolektif hareketlerin açısal momentumu  $\vec{R}$  dir. Dönme simetri eksenine diktir. Dolayısıyla

$$|\vec{R}|^2 = [I(I+1)-K^2]\hbar^2 \quad 3$$

elde edilir. Şimdi artık dönme enerjisi

$$E_{\text{rot}} = \frac{1}{2} J W^2 \quad 4$$

yazılabilir.

Çekirdek bir katı cisim gibi davranışsaydı eylemsizlik momenti basitçe

$$J_{\text{rig}} = \frac{2}{5} M_A R_o^2 \quad 5$$

yazılabilirdi. Burada  $M_A$  dönen kütle miktarıdır. Nükleer dönme aynı zamanda, nükleer yüzeyde bir dalga olarak alınabilir. Parçacıkların bu dalga hareketi, gevşek nükleonların irrotasyonal akışına sebep olur. Yani osilasyonlar şeklin dönmesine sebep olur fakat parçacıklar dönmez. Bu durumda eylemsizlik momenti

$$J_{irrot} = \frac{2}{5} M_A (\Delta R)^2 \quad 6$$

şeklinde verilir. Eylemsizlik momenti açıkça deformasyona bağlıdır.

$$J_{irrot} = J_{rig} (\Delta R / R_0)^2 \quad 7$$

$\beta$  parametresi açıkça

$$\beta = \frac{3}{4} \left( \frac{1}{5} \pi \right)^{1/2} \frac{\Delta R}{R_0} = 1.055 \frac{\Delta R}{R_0} \quad 8$$

irrotasyonel  $J$  değeri ve  $|\vec{R}|$  rotasyonal açısal açısal momentum değeri  $JW$  olduğundan

$$|\vec{R}|^2 = J^2 W^2$$

$$[I(I+1) - K^2] \hbar = 2 J E_{rot} \quad 9$$

Buradan  $E_{rot}$  çekilirse

$$E_{rot} = \frac{\hbar^2}{2J} [I(I+1) - K^2] \quad 10$$

şekline gelir, bu bir simetrik katı dönüçünün enerjisidir.

Çift-çift çekirdekler için, özdeş parçacıklar söz konusu olduğundan ve ardışık olarak  $\Omega$  ve  $-\Omega$  ilave edildiğinden  $K=0$ 'dır. Yani tüm çift-çift çekirdeklerin taban durum spinı  $I=0$  olarak gözleendiğinden taban durum dönme bandı için  $K=0$ 'dır. Ayrıca simetri eksenine dik düzleme göre simetri vardır ve dalga fonksiyonu  $180^\circ$  yansımada inverzant kalmalıdır. Bu durumda bandın ardışık seviyeleri arasında  $\Delta I=2$  dir ve açısal momentum değerleri

$I = 0^+, 2^+, 4^+, 6^+$ , vs. şeklinde sınırlanmıştır. Bu  $A=150-190$  bölgesindeki çift-çift çekirdeklerde en düşük seviyeler serisi olarak gözlenmiştir.

Eğer  $z$  uzay ekseni boyunca eylemsizlik momenti sıfırdan farklısa enerjiye ( $\hbar^2 K^2 / 2J$ ) terimi de ilave edilmelidir.  $K \neq 0$  iken  $I$ ,

$$I=K, K+1, K+2, K+3, \dots$$

şeklinde  $K$ 'ya bağlıdır. Enerjim formülü kullanılarak enerji seviyeleri arasındaki fark

$$E_{4+}/E_{2+} = 20/6, E_{6+}/E_{2+} = 42/6, E_{8+}/E_{2+} = 72/6 \quad \text{vs.}$$

olarak bulunur.

### 2. 3. Deforme Çekirdeklerin Titreşim Hareketi

Sihirli sayıda nötron yada proton sayısına sahip olan çekirdekler küreseldir. Sihirli çekirdeklere komşu çekirdeklerde de eşleşme etkisiyle küresel öz bozulmaz ve nükleonların  $L=0$  açısal momentumuna sahip çiftler oluşturdukları görülür. Çekirdeğin küresel denge biçimini etrafındaki kolektif hareketi bir titreşim hareketidir. Kapalı kabuk dışına ilave olan valans nükleonların sayısı arttıkça, uzun menzilli kuadropol kuvvetleri, küresel yapının bozulmasına neden olur. Bu bozulma küresel özde de kendini göstererek çekirdek elipsoidal bir şekil kazanır. Bu durumda kolektif hareket, denge biçimini etrafındaki titreşim hareketiyle birlikte, deform olmuş çekirdeğin yönelme doğrultusunun dönmesinden meydana gelir. En basit titreşimler kuadropol titreşimleridir. Titreşim seviyelerinin uyarma enerjileri eşit aralıklıdır. Bu fononların bir tamsayı kadarının uyarılmasından beklenen enerji spektrumudur. Her bir fonon  $2^+$  açısal momentum taşır ve bir bozon olarak göz önüne alınabilir.

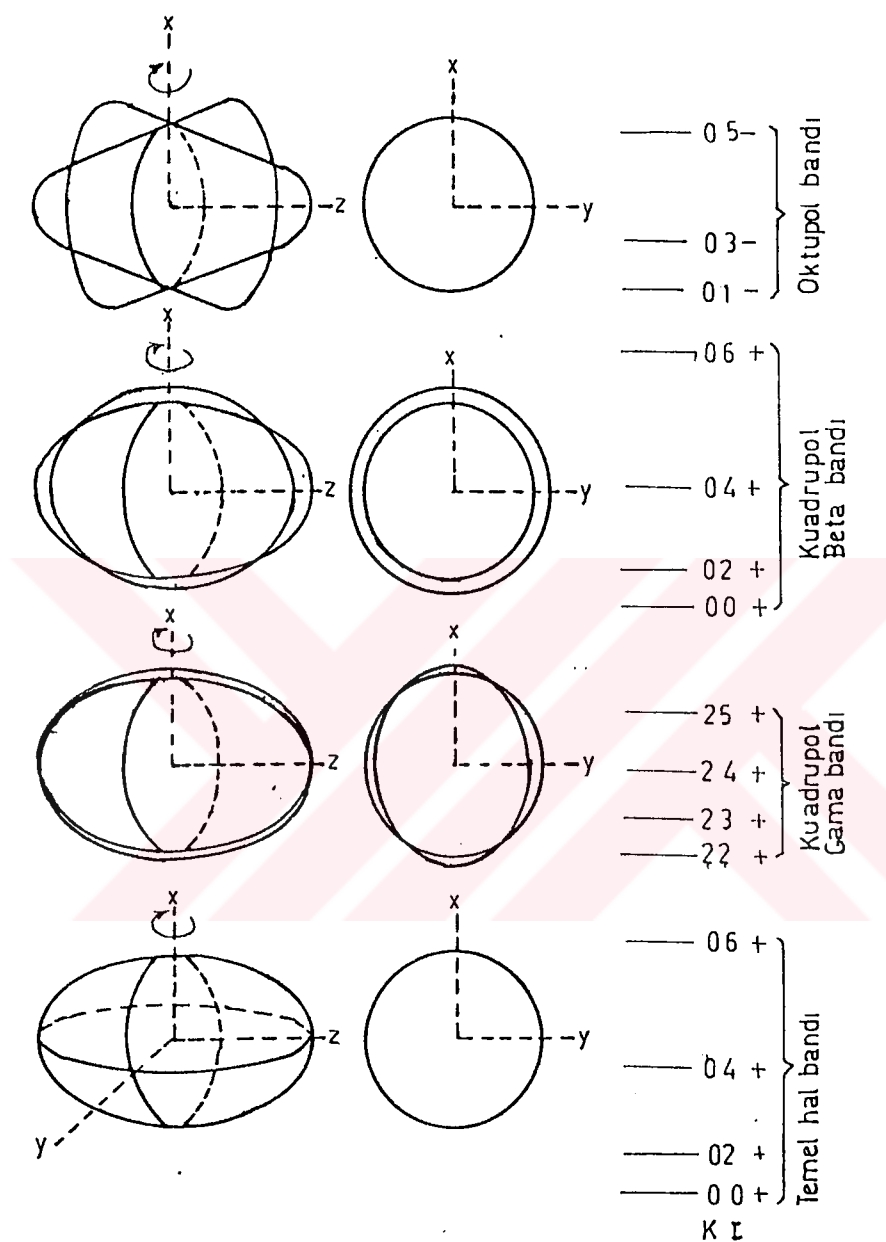
Deforme çift-çift çekirdeklerdeki taban durum dönme bandının yanı sıra gözlenen diğer dönme bandları, nükleer dönmelerin titreşim osilasyonlarından birine kuplajından meydana gelmiştir. Bu titreşimlerin en basiti çekirdeği küresel dengeden uzaklaştırır. Bu tip titreşimler  $\gamma$ -parametresinin büyüklüğündeki geçici bir değişim ile tanımlanabildiğinden

dolayı  $\gamma$ -titreşimleri denir. Bu titreşimler esnasında  $z$  eksenine göre olan simetrliler korunmaz. Kuadropol titreşimler  $2^+$  durumlarından meydana geldiğinden dolayı bu titreşim için  $K=2$ 'dir. Sonrada dönme durumları  $I = K, K+1, K+2$  gibi bir set oluşturacak şekilde bu seviyenin üstüne biner. Bu tanıma göre banddaki her seviye özdeş titreşim karakteristiğine sahiptir. Her biri çekirdeğin ekvator düzleminde bir kuadropol şekil gibi titreşirler.

Banddaki tüm enerji durumları bir  $\gamma$ -titreşimi gösterdiklerinden dolayı bu banda genellikle  $\gamma$ -titreşim bandı denir. Bu band aslında, bir tek  $\gamma$ -titreşim durumu üzerine binmiş dönme bandıdır ve genellikle çok deform olmuş çekirdeklerde görülür.

Deforme çekirdeklerdeki kuadropol titreşim hareketi  $z$  eksenine paralel bir düzlemede de meydana gelebilir. Böyle bir hareket  $\beta$ -parametresinde bir değişim meydana getirir ve buna  $\beta$ -titreşim durumu denir. Bu titreşimi yapan çekirdeğin ekvatorial kesit düzleminde bir şekef değişimi yoktur sadece dairesel şekefl nükleer yüzeyde bir büzülme ve genleşme hareketi vardır. Bundan dolayı bu dönme seti için  $K=0$  dir ve çekirdek her zaman taban durumdaki şekef sahiptir fakat sadece deformasyon parametresinin büyüklüğünde zamana bağlı bir değişme vardır. Bu banda genel olarak daha az rastlanmıştır.

Belli sayıda deformе çekirdeklerin uyarma bandları arasında negatif pariteli seviyeler bandına rastlanmıştır. Bu seviyeler, kuadropol deformasyondan daha yüksek mertebeli deformasyon olan oktopol deformasyonlara atfedilir. Bu durumda nükleer şekef elipsoidden ziyade bir armut şekefine benzer. Oktopol titreşim durumunda  $z$  eksenin civarındaki simetri korunur ve enerjisi diğer titreşim bandlarına göre daha yüksektir. Simetriden dolayı  $K=0$  dir., fakat yansımа simetrisi negatif pariteli durumları tercih eder ve çift  $I$  değerlerini yasaklar. Bu banda genellikle oktopol titreşim bandı denir çünkü band bir oktopol titreşimin bir dönme seviyeleri serisine kuplajından meydana gelmiştir. Bu modların şematik gösterimi Şekil 2. 4'te verilmiştir.



**Şekil 2. 4. Deforme çift –çift çekirdeklerin kollektif hareketleri titreşim şekillerinin şematik olarak gösterilmesi [COOK 1972]**

## 2. 4. Elektro Manyetik Geçişler ve Çok Kutuplu Karışım Oranları

Çekirdekten yayınlanan  $\gamma$ -ışınları bir elektriksel veya manyetik (veya her ikisinin toplamı şeklinde) çokkutpluluk gösterirler. Maxwell dalga denklemlerinin düzenlenmesiyle elde edilen, düzlemsel ve küresel dalga çözümlerinin sonucu aldığı elektromanyetik alan vektörü,  $A(\pi L)$   $\gamma$ -radyasyonu ile temsil edilirler. Buradaki  $\pi$  sırasıyla E(elektrik) ve M(manyetik) değerlerine karşılık gelir ve  $L$  ise çokkutpluluğun cinsini göstermektedirler. Radyasyonun çok kutupluğu  $2^L$ dir.  $A(\pi L)$  alan vektörünün kutup cinsi seçim kurallarıyla tayin edilir. Çokkutplu geçişlerin şiddetleri, enerjileri ve cinsleri çekirdeğin şekli, hacmi, yoğunluğu ile ilgili bilgiler taşır. Çokkutplu radyasyon saf elektrik ve saf manyetik veya her ikisinin karışımı olabilir. Spin ve parite seçim kuralları elektromanyetik geçişlerin çokkutplu geçiş karakterini önceden belirler ve bu kurallar çokkutup karışımılarına genellikle izin verirler. Açısal momentum kuantum sayıları, üç boyutlu uzayın izotop dönme ve yansımıası altında sistemin değişmesine bağlıdır. Bu sebepten dolayı  $I$  ve  $M$  açısal momentum sayıları tam sayılardır [MALMIER-SHELTON 1970].

Toplam açısal momentum seçim kuralı

$$|I_i - I_s| \leq L_\gamma \leq I_i + I_s$$

11

şeklindedir. İlk ve son paritelerle çokkutplunun paritesi arasında

$$P_i = P_s \cdot P_\gamma$$

İlişkisi vardır. Elektriksel çokkutplu fononlar için  $P_\gamma = (-1)^{L_\gamma}$ , manyetik çokkutplu fotonlar için  $P_\gamma = -(-1)^{L_\gamma}$  ilişkileri vardır.  $L$  mertebeli çokkutubun izafî ömründeki farklar E veya M karakterini tayin ederler. Bunlar genelde en çok iki bileşenli karışım oranlarına indirgenir, yani  $ML+E(L+1)$  şeklindedir.

Vibrasyonel bandlardaki rotasyonel seviyeleri temel seviyeye birleştiren geçişlerin çokkutpluluklarında M1 karakterine rastlanmaz. Bu tip geçişler E2 karakterindedir. Fakat genelde deformel çift-çift çekirdekler bölgesinde M1 şiddeti toplam şiddettin %0,5-2'sini temsil eder [KRANE 1973].

$E(L+1)/ML$  çokkutup karışım oranının karesi  $I(L+1)/I(L)$  şiddet oranına eşittir.  $E2/M1$  karışım oranı saniyedeki  $E2$  geçişlerinin sayısı  $T(E2; I_i \rightarrow I_s)$  ve  $M1$  geçişlerinin sayısı  $T(M1; I_i \rightarrow I_s)$  olmak üzere

$$\delta(E2/M1; I_i \rightarrow I_s) = \sqrt{T(E2; I_i \rightarrow I_s)/T(M1; I_i \rightarrow I_s)} \quad 12$$

şeklinde tanımlanır [LANGE-KUMAR-HAMILTON 1982]. Benzer şekilde  $M2/E1$  karışım oranı için

$$\delta(M2/E1; I_i \rightarrow I_s) = \sqrt{T(M2; I_i \rightarrow I_s)/T(E1; I_i \rightarrow I_s)} \quad 13$$

ifadesi yazılır. Krane tarafından  $\delta(E2/M1)$  karışım oranı

$$\delta(E2/M1) = 0.835E\gamma(\text{MeV}) \frac{\langle I_s \| M(E2) \| I_i \rangle}{\langle I_s \| M(M1) \| I_i \rangle} \quad 14$$

şeklinde matris elemanları cinsinden tanımlanmıştır [KRANE 1975].

Açısal korelasyon ve dağılım verilerini açıklamak amacıyla  $\delta$  karışım oranı için Biendenharn-Rose (1953), Rose-Brink (1967), Ferguson (1965) Krane ve Steffen (1970) tarafından farklı kabuller kullanılmasına rağmen bunlar arasında

$$\begin{aligned} \delta_{KS} &= -\delta_{RB} \\ \delta_{KS} &= -\delta_F \\ \delta_{1KS} &= -\delta_{1RB} \\ \delta_{2KS} &= -\delta_{2RB} \end{aligned} \quad 15$$

bağıntıları vardır [KRANE-STEFFEN 1973].

## 2. 5. Deformasyonun Kaynağı

Çekirdekte nükleonları bir arada tutan kuvvetin tabiatı henüz tam olarak bilinmemektedir. Çekirdeklerin özelliklerinin incelenmesinden elde edilen sonuçlara göre çekirdek kuvvetleri doyum karakteri gösteren kısa menzilli, çok şiddetli ve çekici özellikte kuvvetlerdir. Bu kuvvetler aynı

zamanda nükleonların yüklerine bağlı değildir, yüklerinin ve spinlerinin doğrultularının değiş tokusu sonucu değiş-tokuş kuvveti olarak meydana çıkabilirler. Bu özellikleri gösteren tek tip bir kısa menzilli kuvvet yoktur. Kuadropol kuvveti ve eşleşme kuvveti çekirdek kuvvetlerinin bu özelliklerinde etkin olan iki kuvvettir [BARANGER KUMAR 1968].

Aynı enerji seviyesinde bulunan aynı cins iki nükleon arasında karşılıklı spin değişim tokuşuyla ortaya çıkan kısa menzilli kuvvete eşleşme kuvveti denir. Bu kuvvet kor dışında dolmamış kabuklarındaki nükleonları etkiler ve nükleonları bir arada tutarak küresel simetriyi korumaya çalışır. Kuadropol yük dağılımı sonucu ortaya çıkan kuvvete ise kuadropol kuvveti denir. Bu kuvvet çekirdeği deform etmeye çalışır. Kapalı kabuk dışındaki valans nükleonların sayısı arttıkça eşleşme kuvveti etkisi azalır, dolayısıyla kuadropol kuvvetler baskın hale gelince deform çekirdek yapısı oluşur. Dudex ve ark. [DUDEX 1975] eşleşme kuvveti için

$$G = \{G_0 + G_1(N - Z)\} / A \quad 16$$

İfadelerini vermişlerdir.  $G_0$  ve  $G_1$  parametrelerinin proton ve nötron için değerleri yerine konularak nadir toprak elementlerinin  $G_p$  proton ve  $G_n$  nötron eşleşme kuvvetleri

$$G_p = \{17.90 + 0.176 (N - Z)\} / A \quad 17$$

$$G_n = \{18.95 + 0.078 (N - Z)\} / A$$

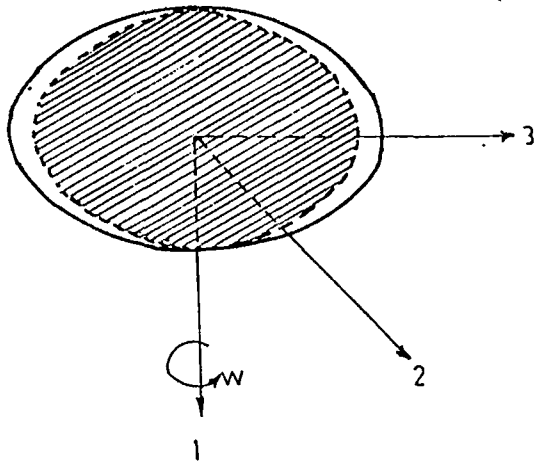
bağıntılarıyla bulunur.

Protonların eşleşme kuvveti  $G_p$  ve nötronların eşleşme kuvveti  $G_n$ , görüldüğü gibi farklı değerlere sahiptir ve  $G_p > G_n$ 'dır. Protonların ve nötronların eşleşme kuvvetlerindeki fark protonlarla nötronların farklı deformasyona sahip olması gerektiği fikrinin doğmasına sebep olmuştur [EL-DIN MARUHN GRAINER 1986].  $G_p > G_n$  olması  $\beta_0(p) < \beta_0(n)$  olmasını gerektirir. Burada  $\beta_0(p)$  proton deformasyon parametresi ve  $\beta_0(n)$  de nötron deformasyon parametresidir. Kütle dağılıminin ortalama deformasyonu M.S.M. Nour El-din ve arkadaşları tarafından

$$\beta_0 = \{N\beta_0(p) + Z\beta_0(n)\} / A$$

18

olarak tanımlanmıştır [EL-DIN, MARUHN ve GRAINGER 1986]. Çekirdeğin kütle deformasyonu Şekil 2.5'de gösterildiği gibidir.



**Şekil 2. 5.** Kütle (proton+nötron) elipsoidi [GRAINGER 1966]

Şekilde, içteki taralı kısmı kütle, dışındaki ise proton elipsoididir. Proton ve kütle elipsoitleri kuvvetle çifteştikleri ve bu yüzden aynı  $\omega$  açısal hızıyla döndükleri kabul edilmiştir [GRAINGER 1966].

Grainer,  $\beta_0$  deformasyon parametresini  $\delta(E2/M1)$  karışım oranına bağlı olarak

$$\beta_0 = 10^3 (\delta/E_1)_{2^1 \rightarrow 2} \{f(1-2f)/0.862A^{5/3}\} \quad 19$$

şeklinde verilmiştir [GRAINGER 1966]. Burada  $f$  parametresi;

$$f = \frac{N}{A} \left\{ \frac{\beta_0(n)}{\beta_0(p)} - 1 \right\} = \frac{N}{A} \left\{ \sqrt{\frac{G_p}{G_n}} - 1 \right\} \quad 20$$

dir. Ayrıca kuadropol deformasyon parametresi olan  $\beta_2$  için

$$\beta_2 = \frac{4\pi}{3ZR_0^2} \sqrt{B(E2; 0_1^+ \rightarrow 2_1^+)/e^2} \quad 21$$

ifadesi verilmiştir. Burada  $R_0 = 1.2A^{1/3}$  fm alınmıştır.  $B(E2)$  ise  $e^2b^2$  birimindedir [RAMAN-RESTOR-BHATT 1983].

## 2. 6. $g_R$ Faktörü

Grainer, deformе çift-çift çekirdeklerin ( $g_R$ ) faktörü için  $\langle |K_{n_2 n_0} \rangle$  bazını temel alarak

$$(g_R)_{|K_{n_2 n_0}} = \frac{\{ \langle |K_{n_2 n_0} | \mu_0 | |K_{n_2 n_0} \rangle_{M=1} \}}{1} \quad 22$$

ifadesini vermiştir [GRAINER 1966]. Burada

$$n_0, n_2 = 0, 1, 2, 3, \dots$$

$$K = 0 \text{ için } l = 0, 2, 4$$

$$K = 2, 4, 6 \text{ için } l = K, K+1, K+2 \dots$$

Şeklindedir. Deforme rotor çekirdekler için taban durumuna ait  $g_R$  faktörü

$$(g_R)_{|I_{0000}} = (|11\rangle |01\rangle) \sqrt{2} (|11\rangle |110\rangle) \sqrt{l(l+1)} \frac{Z}{A} (1-2f) \quad 23$$

şeklinde verilir. Nötron deformasyonu proton deformasyonuna eşit kabul edilirse  $g_R$  faktörü aslında  $Z/A$  oranından daima daha küçüktür.

## 2. 7. Kolektif Durumların Nükleer Momenti

$\beta_0$  deformasyon parametresiyle ilgili olan elektrik kuadropol momentler, deformе çekirdeklerin yük dağılımının göstergesidir. Bu sebeple deformе çekirdeklerin incelenmesinde önemlidir. Eğer  $Q > 0$  ise şekil prolate,  $Q < 0$  ise nükleer şekil oblate,  $Q = 0$  ise şekil küreseldir. Kuadropol moment  $\beta_0$  çekirdek deformasyonu ile doğrudan ilişkilidir. Çekirdeğe ait spektroskopik moment

$$q(l) = \frac{3K^2 - l(l+1)}{(l+1)(2l+3)} q_0 \quad 24$$

burada  $q_0$  özkuadropol momenttir ve

$$q_0 = \frac{3}{\sqrt{5\pi}} Z R^2 \beta_0 (1+0.30) \beta_0$$

25

ile verilir.

Kuadropol momentler deneysel olarak Coulomb uyarılması ve ince yapı ölçümleriyle deneysel olarak belirlenebilir.

## 2. 8. Etkileşen Bozon Modeli

Son yıllarda ortaya atılan "Etkileşen Bozon Modeli (IBM)" orta ve ağır çekirdeklerin bir çok kolektif özelliklerini açıklaya bilmektedir [ARIMA-IACHELLO 1975]. Bu modelde çekirdeklerin düşük enerjili seviyelerinin yapısını belirleyen valans parçacıklarıdır (bunlar 2, 8, 20, 28, 50, 82 ve 126 daki kapalı kabukların dışında kalan proton ve nötronlardır). Ayrıca çift-çift çekirdeklerin düşük enerji seviyelerindeki özdeş parçacıklarının, toplam açısal momentumlarının  $L=0$  ve  $L=2$  olan durumlarda çiftlendiğini ve bu çiftlerin birer bozon olduğunu kabul etmiştir.

Açısal momentumu  $L=0$  olan bozonlar s, açısal momentumu  $L=2$  olan bozonlar ise d bozunu olarak tanımlanırlar [IACHELLO-TALMI 1987]. Parçacık uzayında parçacık-hole konjugasyonunu göz önüne almak için proton bozunu sayısı  $N_\pi$  ve nötron bozunu sayısı  $N_v$  en yakın kapalı kabuktan itibaren sayılmıştır. Bazen hol durumunu göstermek için, bozonların ayırt edilemediği durumda bozon sayısı  $N = N_\pi + N_v$  olarak gösterilir.

Çekirdek özelliklerini incelemek için gerekli olan en önemli bilgi çekirdeklerle ait tek bozon enerjileri ve bozon bozon etkileşmelerini içeren uygun bir Hamiltoniyenin yazılmasıdır. Hamiltoniyeni yazmak için ikinci kuantize formu kullanmak uygundur. Böylece  $L_z = \mu$  için  $d_{\mu+}$  ve  $s^+$  sırasıyla bir tek d bozunu ve s bozunu yaratma operatörleri olmak üzere,  $d_\mu$  ve  $s$  yoketme operatörleri ile aşağıdaki komütasyon bağıntılarını sağlarlar [IACHELLO 1979].

$$\begin{array}{lll} [s, s^+] = 1 & [s, s] = 0 & [s, s^+] = 0 \\ [d_\mu, d_\mu^+] = 1 & [d_\mu, d_\mu] = 0 & [d_\mu^+, d_\mu^+] = 0 \end{array} \quad 26$$

$$\begin{aligned} [s^-, d_\mu^+] &= 0 & [s^+, d_\mu^+] &= 0 \\ [s^-, d_\mu^-] &= 0 & [s^+, d_\mu^-] &= 0 \quad \mu = 0, \pm 1, \pm 2 \end{aligned}$$

toplam bozon sayısının korunduğu bir sistem için en genel Hamiltoniyen;

$$\begin{aligned} H &= \varepsilon_s(s^+ \cdot s) + \varepsilon_d(d^+ \cdot \tilde{d}) + \sum_{L=0,2,4} \frac{1}{2} (2L+1)^{1/2} c_L [(d^+ \times d^+)^{(L)} \times (\tilde{d} \times \tilde{d})^{(L)}]^0 \\ &\quad + \frac{1}{\sqrt{2}} v_2 [(d^+ \times d^+)^{(2)} \times (\tilde{d} \times s)^{(2)} + (d^+ \times s^+)^{(2)} \times (\tilde{d} \times \tilde{d})^{(2)}]^0 \quad 27 \\ &\quad + \frac{1}{2} v_0 [(d^+ \times d^+)^{(0)} \times (s \times s)^{(0)} + (s^+ \times s^+)^{(0)} \times (\tilde{d} \times \tilde{d})^{(0)}]^0 \\ &\quad + u_2 [(d^+ \times s^+)^{(2)} \times (\tilde{d} \times s)^{(2)}]^0 + \frac{1}{2} u_0 [(s^+ \times s^+)^{(0)} \times (\tilde{s} \times \tilde{s})^{(0)}]^0 \end{aligned}$$

şeklinde ifade edilir. Burada  $\varepsilon_s$  ve  $\varepsilon_d$ , s ve d bozonlarının bağlanma enerjileri,  $(s^+ \cdot s)$  ve  $(d^+ \cdot \tilde{d})$  ise s ve d bozonları için sayı operatörleri ve  $\tilde{d}_\mu = (-1)^\mu d_{-\mu}$  dir.  $c_0$ ,  $c_2$  ve  $c_4$  katsayıları d bozonları,  $u_0$  katsayısı da s bozonları arasındaki,  $v_0$ ,  $v_2$  ve  $u_2$  katsayılarıyla da s bozonlarıyla d bozonları arasındaki etkileşmelerin şiddeti belirtilir [ARIMA-IACHELLO 1976].

Denklem 27 de ifade edilen Hamiltoniyen, iki tane tek bozon enerjilerini ve yedi bozon-bozon etkileşmelerini belirten toplam dokuz parametreye sahiptir. Burada bozonların sayı operatörü  $N = n_s + n_d$  ile Hamiltoniyenin komütatif olduğu göz önünde bulundurulursa denklem 27'yi sadeleştirmek mümkün olur. Böylece,

$$\begin{aligned} H &= \varepsilon_s N + \frac{1}{2} u_0 N(N-1) + \varepsilon' (d^+ \cdot \tilde{d}) \\ &\quad + \sum_{L=0,2,4} \frac{1}{2} (2L+1)^{1/2} c'_L [(d^+ \times d^+)^{(L)} \times (\tilde{d} \times \tilde{d})^{(L)}]^0 \quad 28 \\ &\quad + \frac{1}{\sqrt{2}} v_2 [(d^+ \times d^+)^{(2)} \times (\tilde{d} \times \tilde{s})^{(2)} + (d^+ \times s^+)^{(2)} \times (\tilde{d} \times \tilde{d})^{(2)}]^0 \end{aligned}$$

şeklini alır. Burada  $\varepsilon'$  tek d-bozon enerjisi ve  $c'_L (L=0,2,4)$  katsayıları da Denk. 27 deki katsayıların uygun lineer kombinasyonlarıdır. İlk iki terim bütün durumlara katkı yapacağından Denk. 28 deki Hamiltoniyen de geriye kalan

parametreler özdurumlar ile enerji seviyelerinin analizlerinde kullanılır [IACHELLO TALMI 1987]. Bu Hamiltoniyeni değişik biçimlerde yazmak mümkündür.

$$H'' = \varepsilon'' n_d + a_0 (P^+ \cdot P) + a_1 (L \cdot L) + a_2 (Q \cdot Q) + a_3 (T_3 \cdot T_3) + a_4 (T_4 \cdot T_4) \quad 29$$

Bu denklemdeki operatörlerin açık şekli aşağıdaki gibidir,

$$\begin{aligned} n_d &= (d^+ \cdot \tilde{d}) \\ P &= \frac{1}{2} [(\tilde{d} x \tilde{d}) - (\tilde{s} x \tilde{s})] \\ L &= \sqrt{10} (d^+ \times \tilde{d})^{(1)} \\ Q &= [(d^+ \times \tilde{s}) + (s^+ \times \tilde{d})]^{(2)} - \frac{1}{2} \sqrt{7} (d^+ \times \tilde{d})^{(2)} \\ T_3 &= (d^+ \times \tilde{d})^{(3)} \\ T_4 &= (d^+ \times \tilde{d})^{(4)} \end{aligned} \quad 30$$

Denklemdeki  $\varepsilon''$  ve  $a_i$  ( $i=0,1,2,3,4$ ) parametreleri Denk. 27'deki parametrelerin lineer kombinasyonudurlar. Spektrum Hamiltoniyen  $H$ 'nın  $B:s^{+n_s} d^{+n_d} |0\rangle$  bozon bazında köşegenleştirilmesiyle elde edilir.

## 2. 8. 1. Elektromanyetik Geçiş operatörleri

Etkileşen Bozon Modeliyle, uygun operatörler kullanılarak, uyarma enerjilerinden başka, elektromanyetik geçiş ve statik momentler gibi değişik hesaplamalar yapılabilir. Bunun için söz konusu operatörler bozon serbestlik derecesi cinsinden yazılmalıdır. Bir ilk yaklaşılık olarak bunların tek cisim bozon operatörleri olduğu varsayılar. Bu amaçla yazılan ilk kuantize form aşağıdaki gibidir.

$$T^{(l)} = \sum_{i=1}^N t_i^{(l)} \quad 31$$

Bu operatörün bozon operatörleri cinsinden ikinci kuantize formu

$$T_m^{(l)} = \alpha_2 \delta_{12} (d^+ \times \tilde{s} + s^+ \times \tilde{d})_m^{(2)} + \beta_l (d^+ \times \tilde{d})_m^{(l)} + \gamma_0 \delta_{m0} \delta_{l0} (s^+ \times \tilde{s})_0^{(0)} \quad 32$$

şeklindedir. Bu ifade açılırsa aşağıdaki elektromanyetik geçiş operatörleri elde edilir [ELLIOT 1985].

$$\begin{aligned}
 T_0^{(E0)} &= \beta_0(d^+ \times \tilde{d})_0^{(0)} + \gamma_0(s^+ \times \tilde{s})_0^{(0)} \\
 T_m^{(M1)} &= \beta_1(d^+ \times \tilde{d})_m^{(1)} \\
 T_m^{(E2)} &= \alpha_2(d^+ \times \tilde{s} + s^+ \times \tilde{d})_m^{(2)} + \beta_2(d^+ \times \tilde{d})_m^{(2)} \\
 T_m^{(M3)} &= \beta_3(d^+ \times \tilde{d})_m^{(3)} \\
 T_m^{(E4)} &= \beta_4(d^+ \times \tilde{d})_m^{(4)}
 \end{aligned} \quad 33$$

Sadece s ve d bozonu dikkate alındığından çokkutupluluğun dörtten daha büyük geçisi yoktur. E0 geçiş operatöründe  $N = n_s + n_d$  tanımı kullanılırsa

$$\begin{aligned}
 T_0^{(E0)} &= \gamma_0 N + \beta_0 n_d \\
 \beta_0 &= \beta_0 / \sqrt{5} - \gamma_0
 \end{aligned} \quad 34$$

İfadesi elde edilir. Denk. 34'deki  $\gamma_0 N$  terimi sadece köşegen matris elemanlarına sahiptir. Bundan dolayı E0 geçişlerine katkıda bulunmaz [ARIMA-IACHELLO 1976]. Ayrıca M1 geçiş operatörü şu şekilde yazılabilir.

$$T_m^{(M1)} = (10)^{-1/2} \beta_0 L_m \quad 35$$

Burada  $L_m$  açısal momentum operatördür. Bu ifade sadece manyetik momentlere katkıda bulunur. Bunun için IBM yaklaşımında yalnız M1 geçişlerine müsaade edilmektedir [ELLIOT 1985]. Denk. 33 deki E2 geçiş operatörü ise rankı 2 olan hermityen bir tensördür ve bu ifadedeki  $\alpha_2$  katsayısı etkin bozon yükü olarak adlandırılır.

IBM kullanılarak hesaplanan diğer nükleer özellikler: izomer ve izotop değişimleri, iki nükleon ayrılma enerjileri ve iki nükleon transfer reaksiyonlarının şiddetleridir. Bütün bu özellikler nötron ve proton serbestlik derecelerine açıkça bağlı olmasından dolayı IBM yaklaşımı kullanılarak oldukça iyi hesaplamalar yapılabilir [ARIMA-IACHELLO 1975, 1977].

## 2. 8. 2. Modelin Grup Yapısı

Modelin grup yapısını oluşturmak için, 6 bozon operatörünü ele alalım ve bunları  $b_i^+$  ile gösterelim. Bu operatörlerin 36 ikili lineer çarpımı (yani  $b_i^+ b_j = G_{ij}$ ) U(6) grubunun lie cebriini oluşturur ve

$$G_{\gamma}^{(k)}(l.l') = [b_l^+ b_{l'}]_{\gamma}^{(k)}$$

$$= \sum_{\mu_1 \mu_2} \langle l \mu_1 . l' \mu_2^+ | k \gamma \rangle b_1 \mu_1^+ (-l) \mu_2 b_1 \mu_2 \quad 36$$

$$l . l' = 0 . 2 = s . d$$

şeklinde verilir. Burada

$$[b_l \alpha . b_{l'} \alpha'^+] = \delta_{ll'} . \delta_{\alpha \alpha'} \quad 37$$

dır. Böylece 36 jeneratör aşağıdaki gibi yazılabilir [IACHELLO 1979].

$G_0^{(0)}(s.s) = (s^+ . s)_0^{(0)}$	1
$G_0^{(0)}(d.d) = (d^+ . \tilde{d})_0^{(0)}$	1
$G_{\gamma}^{(1)}(d.d) = (d^+ . \tilde{d})_{\gamma}^{(1)}$	3
$G_{\gamma}^{(2)}(d.d) = (d^+ . \tilde{d})_{\gamma}^{(2)}$	5
$G_{\gamma}^{(3)}(d.d) = (d^+ . \tilde{d})_{\gamma}^{(3)}$	7
$G_{\gamma}^{(4)}(d.d) = (d^+ . \tilde{d})_{\gamma}^{(4)}$	9
$G_{\gamma}^{(2)}(d.s) = (d^+ . s)_{\gamma}^{(2)}$	5
$G_{\gamma}^{(2)}(s.d) = (s^+ . \tilde{d})_{\gamma}^{(2)}$	5

$36 = 6^2$

Bundan sonraki adım bütün  $G$  cebirlerinin mümkün alt gruplarının belirlenmesidir. Bir alt cebir komutasyon bağıntıları altında kapalı olan jeneratörlerin alt setidir. Üç tane olası alt cebir vardır.

Bunların birincisi: 36 operatörden  $G_0^{(0)}(s.s)$ ,  $G_{\gamma}^{(2)}(d.s)$  ve  $G_{\gamma}^{(2)}(s.d)$  operatörleri çıkartılırsa geriye kalan 25 operatör U(5) cebri altında kapalıdır. Böylece U(5) operatörleri:

$$\begin{aligned}
G_0^{(0)}(d.d) &= (d^+ \cdot \tilde{d})_0^{(0)} & 1 \\
G_\gamma^{(1)}(d.d) &= (d^+ \cdot \tilde{d})_\gamma^{(1)} & 3 \\
G_\gamma^{(2)}(d.d) &= (d^+ \cdot \tilde{d})_\gamma^{(2)} & 5 & 39 \\
G_\gamma^{(3)}(d.d) &= (d^+ \cdot \tilde{d})_\gamma^{(3)} & 7 \\
G_\gamma^{(4)}(d.d) &= (d^+ \cdot \tilde{d})_\gamma^{(4)} & 9 \\
&& 25 = 5^2
\end{aligned}$$

şeklinde yazılabilir. Bu 25 operatörden  $G_0^{(0)}(d.d)$ ,  $G_\gamma^{(2)}(d.d)$  ve  $G_\gamma^{(4)}(d.d)$  operatörleri çıkarılırsa geriye kalan O(5) operatörleri,

$$\begin{aligned}
G_\gamma^{(1)}(d.d) &= (d^+ \cdot \tilde{d})_\gamma^{(1)} & 3 \\
G_\gamma^{(3)}(d.d) &= (d^+ \cdot \tilde{d})_\gamma^{(3)} & 7 & 40 \\
&& 10 = 5(5-1)/2
\end{aligned}$$

şeklindedir. Bu operatörlerden de  $G_\gamma^{(3)}(d.d)$  operatörleri çıkartılırsa diğer üç operatörün oluşturduğu O(3) cebiri elde edilmiş olur. Yani O(3) operatörleri,

$$G_\gamma^{(1)}(d.d) = (d^+ \cdot \tilde{d})_\gamma^{(1)} \quad 3 \quad 41$$

$$3 = 3(3-1)/2$$

şeklinde yazılabilir. Son olarak bu üç operatörden de  $G_{+1}^{(1)}(d.d)$  ve  $G_{-1}^{(1)}(d.d)$  operatörleri çıkartıldığında geriye kalan jeneratör O(2) nin jeneratöрудür.

$$G_0^{(1)}(d.d) = (d^+ \cdot \tilde{d})_0^{(1)} \quad 1 \quad 42$$

Böylece ilk olası altcebir zinciri

$$U(6) \supset U(5) \supset O(5) \supset O(3) \supset O(2) \quad 43$$

oluşturulmuş olur.

İkinci altcebir setini oluşturmak için aşağıdaki operatörleri ele alalım.

$$\begin{aligned}
G_0^{(2)}(s.s) + \sqrt{5} G_0^{(0)}(d.d) &= (s^+ \cdot s)_0^{(0)} + \sqrt{5} (d^+ \cdot \tilde{d})_0^{(0)} & 1 \\
G_\gamma^{(1)}(d.d) &= (d^+ \cdot \tilde{d})_\gamma^{(1)} & 3
\end{aligned}$$

$$G_{\gamma}^{(2)}(d.s) + G_{\gamma}^{(2)}(s.d) - \frac{1}{2}\sqrt{7} G_{\gamma}^{(2)}(d.d) \quad 44$$

$$= (d^+.s + s^+.\tilde{d})_{\gamma}^{(2)} - \frac{1}{2}\sqrt{7} (d^+.\tilde{d})_{\gamma}^{(2)} \quad 5$$

$$9 = 3^2$$

Bu operatörler komutasyon bağıntıları altında kapalıdır ve  $U(3)$ 'ün cebirini oluştururlar. Bu grubun alt grupları şu şekilde oluşur sıralanır.

$O(3)$  cebiri:

$$G_{\gamma}^{(1)}(d.d) = (d^+.\tilde{d})_{\gamma}^{(1)} \quad 3 \quad 45$$

ve

$O(2)$  cebiri:

$$G_{\theta}^{(1)}(d.d) = (d^+.\tilde{d})_{\theta}^{(1)} \quad 1 \quad 46$$

ve böylece ikinci olası alt cebir

$$U(6) \supset U(3) \supset O(3) \supset O(2) \quad 47$$

şeklinde oluşturulmuş olur.

Üçüncü olası alt cebiri oluşturmak amacıyla şu operatörleri gözönüne alalım.

$$G_{\gamma}^{(1)}(d.d) = (d^+.\tilde{d})_{\gamma}^{(1)} \quad 3$$

$$G_{\gamma}^{(3)}(d.d) = (d^+.\tilde{d})_{\gamma}^{(3)} \quad 5 \quad 48$$

$$G_{\gamma}^{(2)}(d.s) + G_{\gamma}^{(2)}(s.d) = (d^+.s + s^+.\tilde{d})_{\gamma}^{(2)} \quad 7$$

$$15 = 6(6-1)/2$$

Bu jeneratörler komutasyon bağıntıları altında kapalıdır ve  $O(6)$  cebirini oluştururlar. Bu grubun alt gruplarını ise şu şekilde oluşturabiliriz.

$O(5)$  cebiri:

$$G_{\gamma}^{(1)}(d.d) = (d^+.\tilde{d})_{\gamma}^{(1)} \quad 3$$

$$G_{\gamma}^{(3)}(d.d) = (d^+ \cdot \tilde{d})_{\gamma}^{(3)}$$

7

49

$$10 = 5(5-1)/2$$

O(3) cebiri:

$$G_{\gamma}^{(1)}(d.d) = (d^+ \cdot \tilde{d})_{\gamma}^{(1)}$$

3

50

O(2) cebiri:

$$G_0^{(1)}(d.d) = (d^+ \cdot \tilde{d})_0^{(1)}$$

1

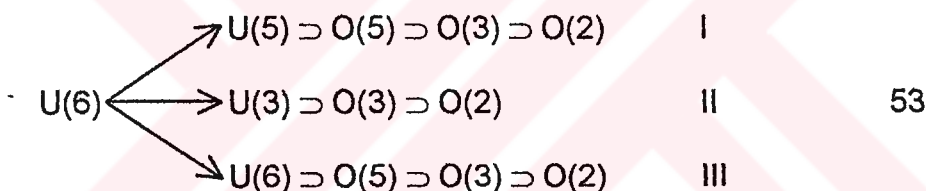
51

Böylece üçüncü olası alt grup zinciri

$$U(6) \supset U(6) \supset O(5) \supset O(3) \supset O(2)$$

52

Biçiminde oluşturulmuş olur ve bu üç alt grup zincirlerinden başka alt grup zincirleri yoktur [IACHELLO 1979].



### 2. 8. 3. Durumların Sınıflandırılması

Grup zincirlerini yukarıdaki gibi elde ettikten sonra şimdide bu grup zincirleri içerisindeki durumları sınıflandırmak için kullanacağımız kuantum sayılarının neler olduğuna bakalım.

I. Grup zinciri,

$U(6)$	$[N]$	Toplam Bozon Sayısı
$U(5)$	$n_d$	d bozonlarının sayısı
$O(5)$	$v$	seniority
$O(3)$	$L$	Açışal Momentum
$O(2)$	$M$	Manyetik Kuantum Sayısı

Buradaki U(6), U(5), ve O(5) gösterimleri sadece birer sayıdır. Çünkü bu grupların temsilleri tamamen simetrikler. N ve  $n_d$  kuantum sayıları SU(6) ve SU(5) in temsillerini gösterir. Bundan dolayı bu grup zincirine SU(5) zinciri adı verilir [IACHELLO 1979]. Her bir [N]’deki  $n_d$  değerleri,

$$N_d = 0, 1, 2, \dots, N \quad 54$$

ve her bir  $n_d$ ’deki v değeri ise

$$v = n_d, n_d-2, \dots, 1 \text{ veya } 0: (n_d \text{ tek veya çift}) \quad 55$$

şeklindedir. O(5)’ten O(3)’e giderken, O(5)’in bir (v) temsilinden L’ye sahip birden fazla durum vardır. Bu durumlar için ilave bir kuantum sayısı gereklidir. Buda  $n_s$  veya  $n_\Delta$  ile gösterilen, sıfır açısal momentum'a sahip bozon triplerinin sayısını gösteren kuantum sayılarıdır. Her bir  $n_d$  değerinde bulunan L değerleri:

$$\begin{aligned} n_d &= 2n_\beta + 3n_\delta + \lambda \\ n_\beta &= (n_d - v)/2 \\ n_\beta &= 0, 1, 2, \dots, n_d/2 \text{ veya } n_d-1/2 \end{aligned} \quad 56$$

olduğundan

$$L = \lambda, \lambda+1, \lambda+2, \dots, 2\lambda-2, 2\lambda \quad 57$$

şeklinde verilir. Bu söylediklerimizi toplu bir şekilde Tablo 2. 1.’de aşağıdaki gibi yazabiliriz.

**Tablo 2. 1. I. Grup Zinciri İçin Kuantum Sayıları**

$n_d$	SU(5)		O(5)	O(3)
	v	$n_\delta$	L	
0	0	0	0	
1	1	0	2	
2	2	0	4, 2	
	0	0	0	
3	3	0	6, 4, 3	
	1	0	0	
	1	0	2	

**Tablo 2.** 1.'in devamı.

SU(5)	O(5)		O(3)
$n_d$	v	$n_\delta$	L
4	4	0	8, 6, 5, 4
		1	2
	2	0	4, 2
	0	0	0

Buna göre I. Grup zinciri için elde edilen sınıflandırma

$$| [N], n_d, v, n_\delta, L, M \rangle \quad 58$$

şeklinde oluşur [IACHELLO 1979].

II. Grup Zinciri,

U(6)	[N]	
SU(3)	$(\lambda, \mu)$	59
O(3)	L	
O(2)	M	

Burada SU(3)'ten O(3) e geçiş adımı gerçekleştirilirken durumların iyi bir şekilde tanımlanması için ilave bir kuantum sayısı X dir [ELLIOT J.P., 1983]. L ile X kuantum sayıları arasında

$$L = X(X+1).(X+2). \dots . [X+\max(\lambda, \mu)]$$

$$X : \text{tamsayı} = \min(\lambda, \mu), \min(\lambda, \mu) - 2, \dots, 1 \text{ veya } 0 \quad 60$$

$$L = \max(\lambda, \mu), \max(\lambda, \mu) - 2, \dots, 1 \text{ veya } 0 \quad 61$$

Bağıntısı mevcuttur. Bu ifadeleri kısaca Tablo 2. 2. de olduğu gibi yazabiliriz.

**Tablo 2. 2. II. Grup Zinciri İçin Kuantum Sayıları**

SU(6)	SU(3)	O(3)	
N	$(\lambda, \mu)$	X	L
0	0, 0	0	0
1	2, 0	0	2, 0
2	4, 0 0, 2	0	4, 2, 0 2, 0
3	6, 0 2, 2 0, 0	0 1 0	6, 4, 2, 0 4, 2, 0 3, 2

Böylece II. Grup zinciri içinde

$$[[N], (\lambda, \mu), X, L, M]$$

sınıflandırması elde edilmiş olur [IACHELLO 1979].

III. Grup zinciri,

O(6)	[N]	
O(6)	$\sigma$	
O(5)	$\tau$	62
O(3)	L	
O(2)	M	

Her bir [N] deki  $\sigma$  değeri;

$$\sigma = N, N-2, \dots, 0 \text{ veya } 1 \quad (N \text{ çift veya tek}) \quad 63$$

Her bir  $\sigma$ 'daki  $\tau$  değerleri;

$$\tau = \sigma, \sigma - 1, \dots, 0$$

şeklinde verilir. Sıfır açısal momentum'a sahip d-bozon tripletlerinin sayısını veren kuantum sayısı  $v_\delta$  olmak üzere her  $\tau$  için L nin alabileceği değerleri şu şekilde verebiliriz;

$$\tau = 3v_\delta + \lambda, v_\delta = 0, 1 \dots$$

64

olmak üzere

$$L = 2\lambda, 2\lambda-2, \dots, \lambda+1$$

65

dir. Böylece III. Grup zinciri için

$$[[N], \sigma, \tau, v_\delta, L, M >$$

sınıflandırması elde edilir [IACHELLO 1979]. Şimdi de kuantum sayılarının alabileceği değerleri Tablo 2. 3. te özetleyebiliriz.

**Tablo 2. 3. III. Grup Zinciri İçin Kuantum Sayıları**

SU(6)	O(6)	O(5)	O(3)	
N	$\sigma$	$\tau$	$v_\delta$	L
0	0	0	0	0
1	1	1	0	2
2	2	0	0	0
	0	2	0	4, 2
3	3	1	0	2
	0	0		0
	3	1		6, 4, 3
	0	0		0
	2	0		4, 2
	1	0		2
	0	0		0
	1	0		2
	0	0		0

## 2. 8. 4. Dinamik Simetriler

Teorik grup yöntemleri kullanılarak parametrelerin tamamını belirlemek amacıyla Hamiltoniyenin çözümünü yapmak mümkündür. Bu çözümler üç ayrı simetri kullanılarak tartışılacaktır. Bu simetriler Arima ve Iachello (1976, 1978, 1979) ve Scholten, Iachello ve Arima (1978) tarafından daha geniş olarak araştırılmıştır.

Dinamik simetriler içerisinde ozdurumların sınıflandırılması grubu indirmesine göre yapılmaktadır. Öz değerlerin analitik çözümlerini bulmak için grubun Casimir operatörleri ile o grubun Casimir operatörleri arasındaki ilişkiye bakılır. Bunlar arasında,

$$[C, G_{\tau}^{(k)}] = 0 \quad k, \tau \quad \text{rasgele}$$

66

bağıntısı vardır. Bu ifadede görüldüğü gibi C Casimir operatörleri, kullanılan cebrin tüm  $G_{\tau}^{(k)}$  jeneratörleri ile sıra değiştirebilirler yani komütatifler. Bu da  $N = n_s + n_d$  toplam parçacık sayısının H Hamiltoniyeni tarafından korunduğu anlamına gelir [IACHELLO 1979].

$U(n)$  grubunun bir lineer Casimir operatörünü  $C_{1U(n)}$  ile gösterelim. Benzer şekilde kuadratik Casimir operatörleri de mevcut olabilir. Örneğin  $O(3)$  grubu bir kuadratik Casimir operatörüne sahiptir. Bu operatör  $\tilde{G}_{\tau}^{(1)}(dd) = \tilde{G}_{\tau}^{(1)}$  operatörleri ile elde edilir. Yani

$$C = \tilde{G}_{\tau}^{(1)} \cdot \tilde{G}_{\tau}^{(1)} \quad 67$$

dir.  $\tilde{G}_{\tau}^{(1)}$  operatörü  $\hat{L}$  açısal momentumuyla orantılı olduğundan C Casimir operatörü  $\hat{L} \cdot \hat{L}$  ile orantılıdır. Bu operatör çok iyi bilindiği gibi tüm açısal momentum bileşenleriyle komütatifdir.  $U(n)$  grubunun bir kuadratik casimir operatörü de  $C_{2U(n)}$  ile gösterilirse ve bağlanma enerjilerine katkıda bulunan terimler hariç tutulursa en genel Hamiltoniyen  $U(5)$ ,  $O(5)$ ,  $O(3)$ ,  $SU(3)$  ve  $O(6)$  gruplarının Casimir operatörleri cinsinden aşağıdaki gibi yazılabılır [IACHELLO 1979].

$$H = \epsilon C_{1U(5)} + k_1 C_{2U(5)} + k_2 C_{2O(5)} + k_3 C_{2O(3)} + k_4 C_{2SU(3)} + k_5 C_{2O(6)} \quad 68$$

Bu ifadedeki Casimir operatörlerinin s ve d bozon operatörleri cinsinden yazılımları ise,

$$C_{1U(5)} = (d^+ \tilde{d})_{\tau}^{(1)}$$

$$C_{2U(5)} = (d^+ \tilde{d})_{\tau}^{(1)} [(d^+ \tilde{d})_{\tau}^{(1)} - 1]$$

$$C_{2O(5)} = 1/3 (d^+ \tilde{d})_{\tau}^{(1)} \cdot (d^+ \tilde{d})_{\tau}^{(1)} + 1/3 (d^+ \tilde{d})_{\tau}^{(3)} \cdot (d^+ \tilde{d})_{\tau}^{(3)} \quad 69$$

$$C_{2O(3)} = 10 (d^+ \tilde{d})_{\tau}^{(1)} \cdot (d^+ \tilde{d})_{\tau}^{(1)}$$

$$C_{2SU(3)} = (d^+ s + s^+ \tilde{d})_{\tau}^{(2)} - \frac{1}{2} \sqrt{7} (d^+ \tilde{d})_{\tau}^{(2)}$$

$$C_{2O(6)} = 2N(N+4) - 8 \{ 5/4 [(d^+ \tilde{d})^{(0)} (\tilde{d} \tilde{d})^{(0)}]^{(0)} \} \\ - \sqrt{5}/4 \{ (d^+ d^+)^{(0)} (ss)^{(0)} + 1/4 [(s^+ s^+)^{(0)} (ss)^{(0)}]^{(0)} \}$$

şeklindedir. Casimir operatörlerinin kendi grup temsillerinde köşegen olma özellikleri yardımıyla özdeğer probleminin analitik çözümünün olduğu tüm olası özel durumlar bulunabilir.  $U(6)$  grubunun oluşturduğu alt grup zincirlerinin sahip olduğu Casimir operatörleri ile oluşturulan Hamiltoniyen köşegen olduğu için dinamik simetriye sahiptir denir. Böylece üç ayrı grup zincirine karşılık üç ayrı dinamik simetri durumu ortaya çıkar. Bunlar vibrasyonel limit, rotasyonel limit ve  $\gamma$ -kararsız limit olarak isimlendirilmiştir [EJIRI-VOIGT 1989]. Bu durumlar aşağıda ayrı ayrı incelenmiştir.

#### **2. 8. 4. 1. Vibrasyonel Limit**

Bu limit durumu, 53. ifadesinde verilen 1. grup zincirine karşılık gelir ve sadece  $d$  bozonu mevcuttur [ELLIOT 1985]. Bundan dolayı sadece  $n_d$   $d$ -bozonlarının sayısı ile temsil edilir [ARIMA-IACHELLO 1976]. Bu limitte en genel Hamiltoniyen,

$$H = \varepsilon n_d + \tau_1 n_d (n_d - 1) + \tau_2 C_5 + \tau_3 L_2$$

şeklinde öz vektörler ise

$$|\Psi\rangle = |[N], n_d, v, n_\delta, L, M\rangle \quad 70$$

ifadesiyle verilir [ARIMA-IACHELLO 1976]. Burada  $[N]$ ,  $U(6)$ 'nın temsillerini ve  $n_\delta$  kuantum sayısı ise  $L=0$  açısal momentumuna sahip  $d$ -bozon tripletlerinin sayısını belirtir ve hiçbir grupta ilişkili değildir.

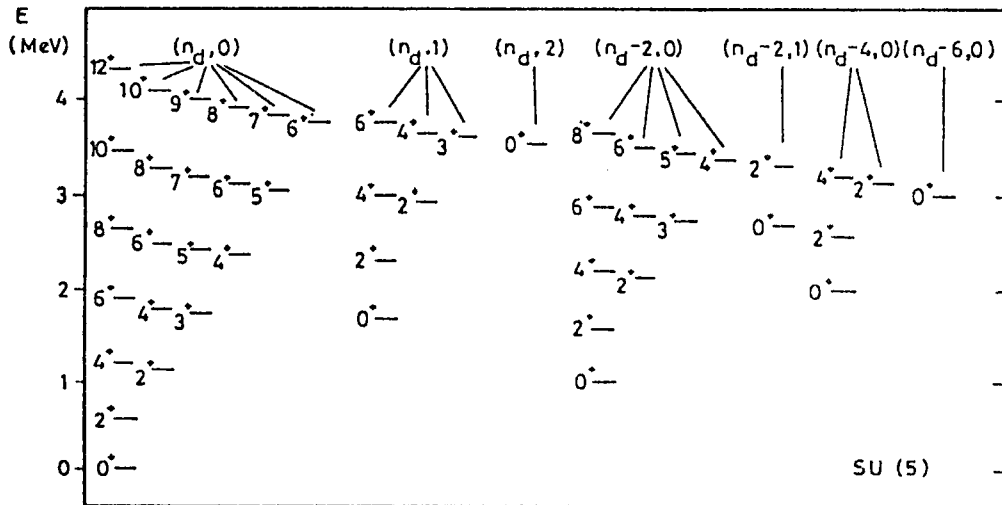
Vibrasyonel limit durumunda bahsedilen kuantum sayıları aşağıdaki değerleri alabilirler

$$N \geq n_d \geq v$$

$$\lambda = (v - 3n_\delta) \geq 0 \quad 71$$

$$2 \geq L \geq \lambda$$

şeklinde ifade edilir. Bu limitte elde edilen tipik bir enerji spektrumu Şekil 2. 6. da gösterilmiştir.



**Şekil 2. 6.** Vibrasyonel limit için tipik bir enerji spektrumu ( $\nu, n_d$ )

#### 2. 8. 4. 2. Rotasyonel Limit

Bu limit durumu, 53. ifadesinde verilen 2. grup zincirine karşılık gelir.

Bu limitte en genel Hamiltoniyen

$$H = -\tau \hat{Q} \cdot \hat{Q} - \tau' \hat{L} \cdot \hat{L}$$

72

şeklinde ve öz vektörler ise

$$|\Psi\rangle = |[N], (\lambda, \mu), K, L, M\rangle$$

73

ile verilir [ARIMA-IACHELLO 1978]. Burada  $(\lambda, \mu)$ , SU(3) grubunun temsillerini belirtir.  $K$  kuantum sayısı ise bir SU(3) temsilinde bulunan aynı spine sahip farklı durumları ayırt etmek amacıyla kullanılır ve simetri ekseni boyunca  $L$ 'nin yöneliminin bir ölçüsüdür.  $(\lambda, \mu)$ 'nın alabileceği değerler:

$$0 \leq \lambda = 2N - 2\mu - 6M$$

$$M \geq 0 \quad \text{tam sayı}$$

74

$$\mu \geq 0 \quad \text{çift sayı}$$

şeklindedir.. Bir SU(3) temsili için de K ve L için

$$0 \leq K \leq \min(\lambda, \mu) \quad \text{çift}$$

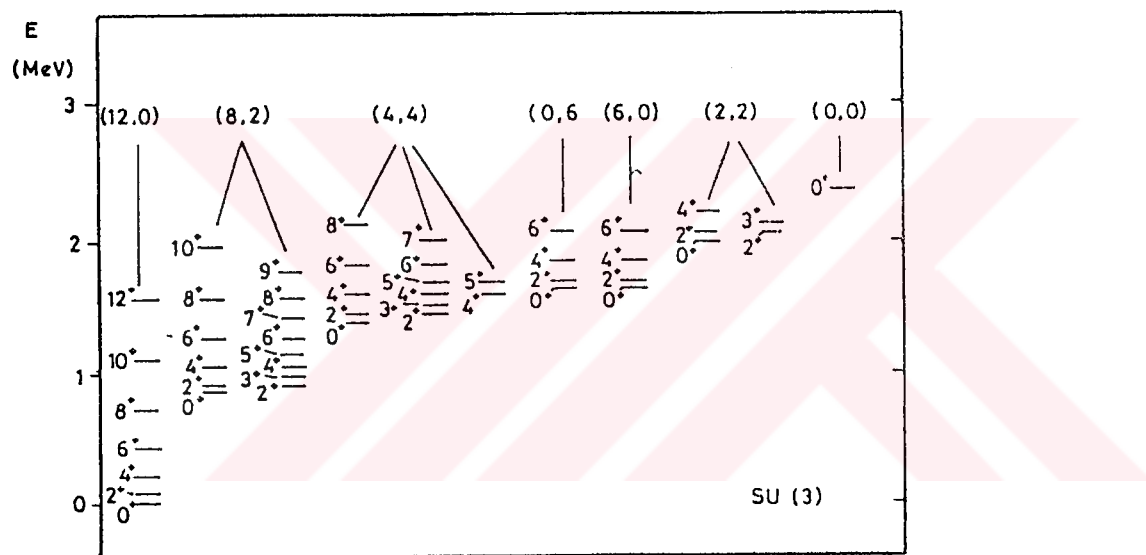
75

ve

$$K \leq L \leq K + \max(\lambda, \mu)$$

76

sınırlamaları mevcuttur. Eğer  $K = 0$  değerini alırsa  $L$ 'nin sadece çift değerler alınmasına izin verilir. Tipik bir SU(3) enerji spektrumu da Şekil 2. 7. de görüldüğü gibidir.



Şekil 2. 7. Rotsyonel limit için tipik bir enerji spektrumu ( $\lambda, \mu$ )

#### 2. 8. 4. 3. $\gamma$ -Kararsız Limit

Bu limit durumu, 53. ifadesinde verilen 3. grup zincirine karşılık gelir.

Bu limitte en genel Hamiltoniyen

$$\begin{aligned} H = & A [5/4 [(d^+ d^+).(\tilde{d} \tilde{d})^{(0)}]^{(0)} - \sqrt{5}/4 [(d^+ d^+)^{(0)}.(s s)^{(0)}] + \\ & 1/4 [(s^+ s^+)^{(0)}.(s s)^{(0)}]^{(0)} ] \\ & + B [1/3 (d^+ \tilde{d})^{(1)}.(d^+ \tilde{d})^{(1)} + 1/3 (d^+ \tilde{d})^{(3)}.(d^+ \tilde{d})^{(3)}] \\ & + C [10 (d^+ \tilde{d})^{(1)}.(d^+ \tilde{d})^{(1)}] \end{aligned} \quad 77$$

ve öz vektörlerimizde

$$|\Psi\rangle = [N, \sigma, v, n_\delta, L, M]$$

78

ile verilirler [ARIMA-IACHELLO 1979]. yukarıda ifade edilen kuantum sayılarının alabileceği değerler

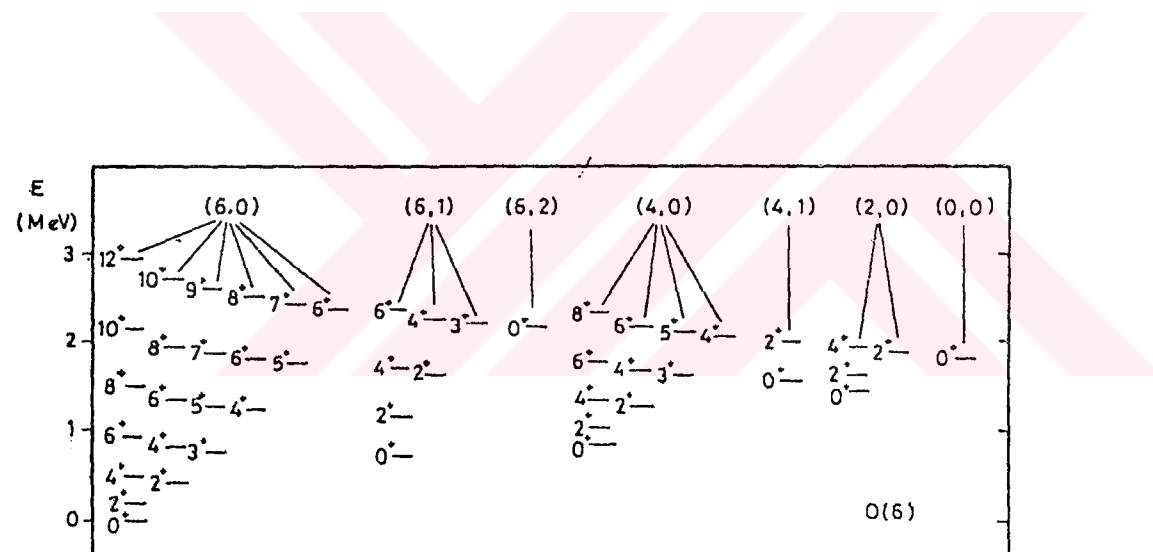
$$\sigma = N, N-2, N-4, \dots, 0 \text{ veya } 1$$

$$0 \leq v \leq \sigma$$

79

$$\lambda = v - 3n_\sigma \geq 0, 2\lambda \geq L \geq (L \neq 2\lambda - 1)$$

şeklindedir [ARIMA-IACHELLO 1979]. Bu limit için tipik bir enerji spektrumu da Şekil 2. 8. de verilmiştir.



**Şekil 2. 8.**  $\gamma$ -Kararsız limit için tipik bir enerji spektrumu ( $\sigma, n_\sigma$ )

### **3. BÖLÜM**

#### **BAZI ÇİFT-ÇİFT Gd İZOTOPLARININ İNCELENMESİ**

##### **3. 1. Giriş**

Tezin bu bölümünde çift-çift Gadolinium izotoplarından  $^{150}\text{Gd}$ ,  $^{152}\text{Gd}$ ,  $^{154}\text{Gd}$  ve  $^{156}\text{Gd}$  ayrı ayrı incelenecaktır. İncelemeler esnasında bu izotoplara ait bozunum şemaları verilerek enerji düzeyleri tek tek ele alınacaktır.

Gadolinium izotoplari üzerinde son yıllarda yapılan araştırma ve incelemeler şu şekilde özetlenebilir. Rzaca-Urban ve ark. (1994),  $^{144}\text{Gd}$ 'e ait süper deformelmiş yüksek spin durumlarını incelemişler ve buna ait geçiş şemasını vererek düzeyler arasındaki geçiş olasılıklarını ve karışım oranlarını hesaplamışlardır. Weil ve ark. (1994) ise  $^{146}\text{Gd}$  izotopunun yüksek spin durumlarına ait yeni enerji düzeylerini ve bunların spin ve paritelerini bulmuşlardır. Bu çalışmaları esnasında  $\gamma$ -lineer polarizasyonu ile  $\gamma$ - $\gamma$  çakışma durumları OSIRIS cube kullanılarak yapılmıştır. Soloviev ve ark (1994) da  $^{158}\text{Gd}$ 'a ait 2.3 MeV civarında rotasyonel olmayan düzeydeki enerjilerini ve dalga fonksiyonlarını incelemiştir. Bu incelemeleri sırasında quasiparticle-phonon nuclear model (QPNM) kullanılmıştır. Friedrichs ve ark. (1994) ise  $^{160}\text{Gd}$ 'un saçılımış fotonlarının polarizasyonunu, nükleer rezonans flüoresansı deneyini kullanarak bulmuşlardır.

##### **3. 2. $^{150}\text{Gd}$ İzotopu**

$^{150}\text{Gd}$  izotopu, deformelmiş bölge girişinde olup küresel simetrik yapıya sahip bir izotoptur. Bu izotopu, Sakai(1967), Kewley ve ark. (1971), Haenni ve Sugihara (1977), Hamilton ve ark. (1978), Hamilton ve Kumar (1979), Sunyar (1981), değişik metodlar kullanarak incelemiştir ve birçok veri elde etmişlerdir.

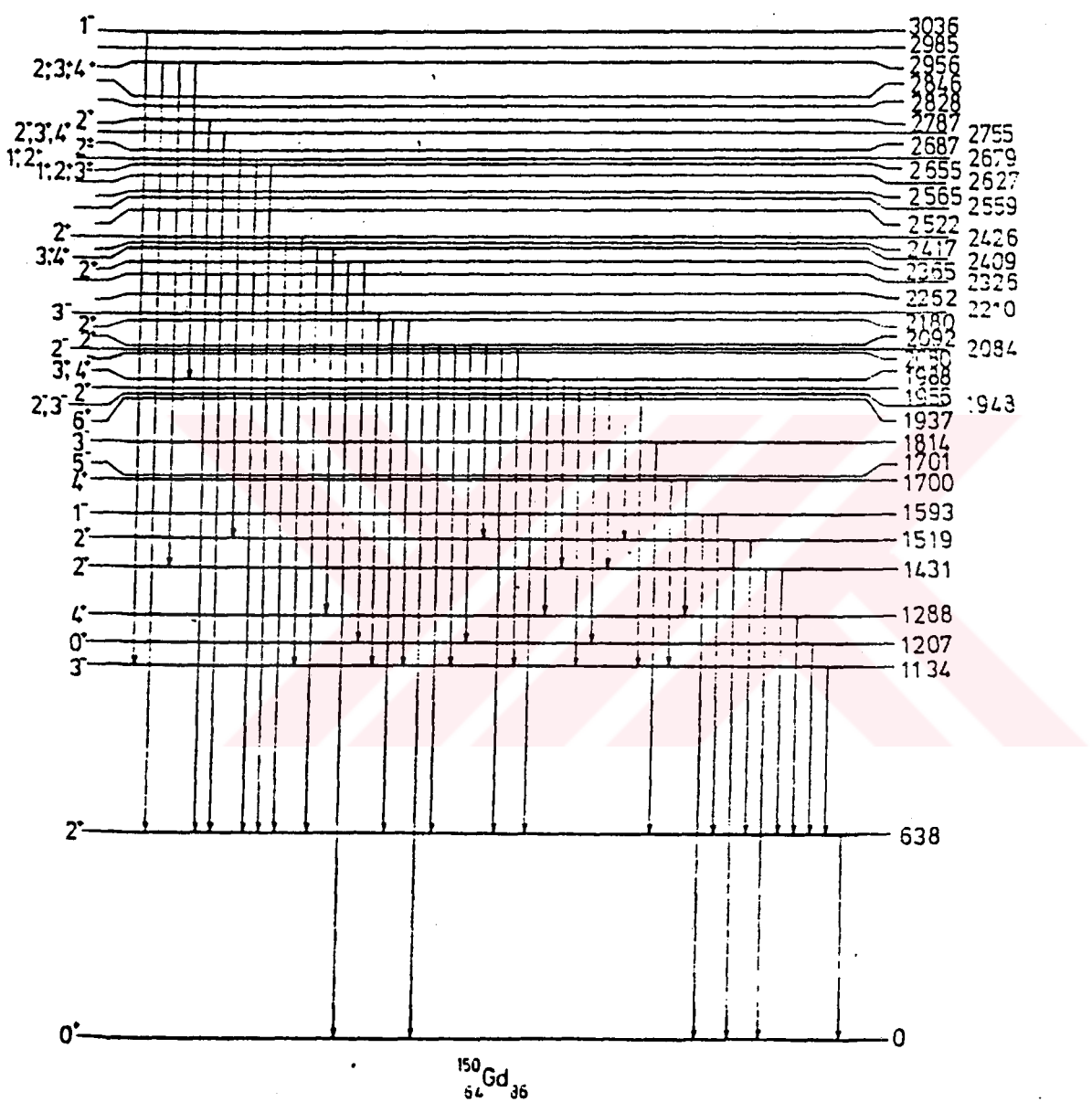
Lipas ve ark. (1983),  $^{150}\text{Gd}$  izotopuna ait  $\delta(\text{E}2/\text{M}1)$  ve  $\delta(\text{M}2/\text{E}1)$  karışım oranlarını deneyel olarak elde etmişler ve deneyel B(E2) geçiş

olasılıkları ile teorik değerleri karşılaştırmışlardır. Mateosian (1986) bu izotopun enerji düzeylerini inceleyerek bozunum şemasını vermiştir. Nazarewicz ve ark. (1990) bu izotopuna ait  $\beta_0$  ve  $\beta_2$  deformasyon parametrelerini teorik olarak hesaplamıştır. Wolf ve ark. (1991) ise  $^{150}\text{Gd}$  izotopunun da aralarında bulunduğu bazı çekirdeklerin temel hal bandına ait  $B(E2:2^+ \rightarrow 0^+)$  geçiş olasılıklarını veren empirik bir ifade elde ettiler.

Bu çekirdeğe ait uyarılmış düzeylerin basitleştirilmiş bozunum şeması Şekil 3. 1. de verildi. Bozunum şemasından da görülebileceği gibi  $^{150}\text{Gd}$ 'da temel hal bandının üyeleri  $0^+$  (0 keV),  $2^+$  (638.0 keV),  $4^+$  (1288.4 keV),  $6^+$  (1936.8 keV) ve  $8^+$  (2767.0 keV) düzeyleridir. Beta bandının üyeleri ise  $0^+$  (1207.2 keV),  $2^+$  (1518.5 keV),  $4^+$  (1700.1 keV) düzeyleridir. Gama bandının üyeleri de  $2^+$  (1430.5 keV),  $3^+$  (1988.3 keV) ve  $4^+$  (2080.0 keV) düzeyleridir. Oktupol bandının üyeleri ise  $1^-$  (1592.7 keV),  $3^-$  (1134.4 keV),  $5^-$  (1701.0 keV) ve  $7^-$  (2211.0 keV) düzeyleridir [MATEOSIAN 1986]. Bu bilgiler toplu bir şekilde Tablo 3. 1. de verilmiştir.

**Tablo 3. 1.  $^{150}\text{Gd}$  izotopunun Enerji Düzeyleri**

Band Yapısı $K^\pi$	Spin Parite $I^\pi$	Deneysel Enerji Düzeyleri (keV)
Temel	$0^+$	0.0
Durum	$2^+$	638.0
Bandı	$4^+$	1288.5
$K^\pi = 0^+$	$6^+$	1936.8
Beta	$0^+$	1207.2
Bandı	$2^+$	1518.2
$K^\pi = 0^+$	$4^+$	1700.1
Gama	$2^+$	1430.2
Bandı	$3^+$	1989.7
$K^\pi = 2^+$	$4^+$	2083.7
Oktupol	$1^-$	1592.7
Bandı	$3^-$	1134.3
$K^\pi = 1^-$	$5^-$	1700.8
	$7^-$	2211.4



**Şekil 3. 1.**  $^{150}\text{Gd}$  İzotopunun Uyarılmış Seviyelerinin Basitleştirilmiş Bozunum Şeması

### **3. 2. 1. $^{150}\text{Gd}$ izotopunun Enerji Düzeyleri ve Geçişlerinin Kutupsallığı**

638 keV düzeyi: Spin-Parite değeri  $2^+$  olan bu düzeyden  $0^+$  (0 keV) düzeyine kutupsallığı E2 olan  $2^+$  (638,0 keV)  $0^+$  geçisi vardır.

1134,3 keV düzeyi: Oktupol bandının bir üyesi olup Spin-Paritesi  $3^-$  dir. Bu düzeyden  $2^+$  (638,0 keV) düzeyine 496 keV' luk ışın geçiş yapar ve kutupsallığı E1 dir.

1288,5 keV düzeyi: Bu düzeyin Spin-Parite değeri  $3^+$  ve/veya  $4^+$  olarak tayin edilmişse de sadece  $4^+$  değerinin uygunluğu benimsenmiştir [HAENNI ve SUGIHARA]. Bu düzeyden  $2^+$  (638,0 keV) ve  $3^-$  (1134,3 keV) düzeylerine geçiş mümkündür. Ancak  $2^+$  (650,4 keV)  $2^+$  geçisi daha baskındır ve kutupsallığı E2 olarak belirtilmiştir [LEDERER ve SHIRLEY 1978].

1430,2 keV düzeyi:  $K^\pi = 2^+$  gama bandının bandbaşıdır. Spin-Parite değeri  $2^+$  olarak elde edilmiştir [HAENNI ve SUGIHARA]. Bu düzeyden  $0^+$  (0 keV) ve  $2^+$  (638,0 keV) düzeylerine sırasıyla  $2^+$  (1430,2 keV)  $0^+$  ve  $2^+$  (792,5 keV)  $2^+$  ışınları geçiş yaparlar ve her iki geçişin kutupsallığı E2 olarak tayin edilmiştir [MATEOSIAN 1986].

1518,2 keV düzeyi:  $K^\pi = 0^+$  beta bandının bir üyesi olup Spin-Paritesi  $2^+$  olarak tayin edilmiştir [HAMILTON ve ark. 1978]. Bu düzeyden  $0^+$  (0 keV) düzeyine  $2^+$  (1518,2 keV)  $0^+$  geçisi vardır ve kutupsallığı E2 dir.  $2^+$  (638,0 keV) düzeyine ise kutupsallığı M1+(E2+E0) olan  $2^+$  (880,5 keV)  $2^+$  ışını geçiş yapar [HAENNI ve SUGIHARA].

1592,7 keV düzeyi: Bu düzeyin Spin-Parite değeri  $1^-$  olarak tayin edilmiştir [HAMILTON ve ark. 1978]. 1592,7 keV düzeyinden  $0^+$  temel hal düzeyine  $1^-$  (1592,7 keV)  $0^+$  geçisi mevcuttur ve kutupsallığı M1 olarak tespit edilmiştir [MATEOSIAN 1986]. Ayrıca  $2^+$  (638,0 keV) düzeyine ise kutupsallığı E1 olan  $1^-$  (954,7 keV)  $2^+$  geçisi vardır [LEDERER ve SHIRLEY 1978].

1700,8 keV düzeyi:  $K^\pi=0^+$  beta bandının bir üyesidir. Haenni ve Sugihara (1977) ile Mateosian (1986) bu düzeyin Spin-Parite değerini  $3^+$

ve/veya  $4^+$  olarak tayin ettiler. Fakat Hamilton ve ark. (1978) Spin-Paritenin  $4^+$  olması gerektiğini göstermiştir. Bu düzeyden  $3^-$  (1134.3 keV) düzeyine kutupsallığı E1 olan  $4^+$  (565.7 keV)  $3^-$  işini geçiş yapar.  $4^+$  (1288.4 keV) düzeyine ise kutupsallığı M1 olan  $4^+$  (411.7 keV)  $4^+$  işini geçiş yapar [HAMILTON ve ark. 1978].

1814.3 keV düzeyi: Haenni ve Sugihara (1977) bu düzeyin spin-parite değerini  $3^-$  olarak tayin ettiler. Bu düzeyden  $2^+$  (638.0 keV) düzeyine 1176.0 keV'lik gama işini geçiş yapar ve kutupsallığı E1 dir.

1947.5 keV düzeyi: Bu düzeyin Spin-Parite değeri  $2^-$  yada  $3^-$  olarak tayin edilmiştir. 1947.5 keV düzeyinden  $3^-$  (1134.3 keV) düzeyine  $2^-$ ,  $3^-$  (813.1 keV)  $3^-$  geçisi mevcuttur ve bu geçisin kutupsallığı M1+E2 olarak verilir [HAMILTON ve ark. 1978][LEDERER ve ark. 1978].

1955.6 keV düzeyi: Spin-Parite  $2^+$  dir. Bu düzeyden  $2^+$  (1518.5 keV) düzeyine kutupsallığı M1+E2 olan  $2^+$  (437.1 keV)  $2^+$  geçisi,  $2^+$  (1430.5 keV) düzeyine kutupsallığı yine M1+E2 olan  $2^+$  (525.0 keV)  $2^+$  geçisi,  $0^+$  (1207.2 keV) düzeyine kutupsallığı E2 olan  $2^+$  (748.3 keV)  $0^+$  geçisi ve  $3^-$  (1134.3 keV) düzeyine kutupsallığı E1+M2 olan  $2^+$  (821.1 keV)  $3^-$  geçisi olur [LEDERER-SHIRLEY 1978]

1989.7 keV düzeyi:  $K^\pi = 2^+$  gama bandının üyesidir. Hamilton ve ark. (1978) bu düzeyin Spin-Parite değerini  $3^+$  ve/veya  $4^+$ , Lipas ve ark. (1983)  $3^+$ , Mateosian (1986) ise  $4^+$  olarak vermişlerdir. Bu düzeyden  $2^+$  (638.0 keV),  $4^+$  (1288.4 keV) ve  $2^+$  (1430.5 keV) düzeylerine sırasıyla 1350.1 keV, 699.4 keV, 557.5 keV'lik gama işinleri geçiş yapar, bu geçişlerin kutupsallığı sadece E2 olarak tayin edilmiştir [SAKAI 1984].

2084.4 keV düzeyi: Spin-Paritesi  $2^-$  olan bu düzeyden  $3^-$  (1134.4 keV) düzeyine kutupsallığı M1+E2 olan  $2^-$  (950.0 keV)  $3^-$  geçisi,  $2^+$  (638.0 keV) düzeyine kutupsallığı sadece E1 olan  $2^-$  (1446.4 keV)  $2^+$  geçisi gözlenmiştir [LEDERER-SHIRLEY 1978].

2091.7 keV düzeyi: Spin-Paritesi  $2^+$  olan bu düzeyden  $2^+$  olan bu düzeyden  $2^+$  (1518.5 keV),  $0^+$  (1207.2 keV),  $3^-$  (1134.3 keV),  $2^+$  (638.0 keV) ve  $0^+$  temel düzeyine kutupsallığı sırasıyla M1+E2, E2, E1, M1+E2 ve E2

olan  $2^+$  (573.4 keV)  $2^+$ ,  $2^+$  (884.6 keV)  $0^+$ ,  $2^+$  (957.4 keV)  $3^-$ ,  $2^+$  (1453.6 keV)  $2^+$  ve  $2^+$  (2091.7 keV)  $0^+$  geçişlerinin olduğu gözlenmiştir [LEDERER-SHIRLEY 1978].

2180.1 keV düzeyi: Spin-Parite değeri  $2^+$  dır. Bu düzeyden  $3^-$  (1134.3 keV) düzeyine kutupsallığı E1+M2 olan  $2^+$  (1045.7 keV)  $3^-$  ve  $2^+$  (638.0 keV) düzeyine kutupsallığı M1+E2 olan  $2^+$  (1542.1 keV)  $2^+$  geçisi olur.

2209.5 keV düzeyi: Haenni ve Sugihara (1977) tarafından Spin-Parite değeri  $3^-$  olarak tayin edilmiştir. Bu düzeyden  $3^-$  (1134.3 keV) düzeyine  $3^-$  (1075.3 keV)  $3^-$  gözlenmiştir ve kutupsallığı M1+E2 şeklindedir.

2365.1 keV düzeyi: Spin-Parite değeri  $2^+$  dır. Bu düzeyden  $0^+$  (1207.2 keV) düzeyine ve  $2^+$  (638.0 keV) düzeyine kutupsallığı E2 olan  $2^+$  (1157.9 keV)  $2^+$  ve kutupsallığı E2+M1 olan  $2^+$  (1727.1 keV)  $2^+$  geçişleri mevcuttur.

2408.8 keV düzeyi: Spin-Paritesi Haenni ve Sugihara (1977)' ya göre  $3^+$  ve/veya  $4^+$ , Hamilton ve ark. (1978)'na göre  $2^+$  olan bu düzeyden  $4^+$  (1288.4 keV) ve  $2^+$  (638.0 keV) düzeylerine kutupsallığı sırasıyla M1+ E2 ve E2 olan 1120.1 keV ve 1170.8 keV' lik gama geçişleri olur [HAMILTON ve ark. 1978].

2426.1 keV düzeyi: Spin-Paritesi Haenni ve Sugihara' ya göre  $2^+$ , Hamilton ve ark.'na göre ise  $1^+$  ve/veya  $2^+$  olan bu düzeyden  $3^-$  (1134.3 keV) ve  $2^+$  (638.0 keV) düzeylerine kutupsallığı sırasıyla E1+ M2 (M2 çok küçük) ve M1+ E2 olan  $2^+$  (1291.7 keV)  $3^-$  ve  $2^+$  (1788.1 keV)  $2^+$  geçişleri olur.

2687.2 keV düzeyi: Spin-Paritesi  $2^+$  dır. Bu düzeyden  $2^+$  (1518.7 keV) düzeyine  $2^+$  (1168.7 keV)  $2^+$  işini geçiş yapar ve kutupsallığı E2+M1 olarak tespit edilmiştir [HAMILTON ve ark. 1978].

2786.9 keV düzeyi: Spin-Paritesi  $2^+$  dır. Bu düzeyden  $2^+$  (638.0 keV) düzeyine  $2^+$  (2148.7 keV)  $2^+$  işini geçiş yapar ve kutupsallığı E2+M1 olarak tespit edilmiştir [HAMILTON ve ark. 1978].

### 3. 2. 2. $^{160}\text{Gd}$ İzotopunun Çokkutuplu Karışım Oranları

Bu verilen enerji düzeyleri arasındaki elektromanyetik geçişlere ait  $\delta(\text{E2/M1})$  ve  $\delta(\text{M2/E1})$  karışım oranları Tablo 3. 2. ve Tablo 3. 3. deki gibidir.

**Tablo 3. 2.  $^{160}\text{Gd}$  İzotopunun  $\delta(\text{E}2/\text{M}1)$  Karışım Oranları**

Enerji Düzeyi(keV)	Geçiş Enerjisi	Başlangıç Spini	Bitiş Spini	Karışım Oranı $\delta(\text{E}2/\text{M}1)^{(a)}$
1430.5	792.5	$2^+$	$2^+$	$2.0 \pm 0.7$
1518.5	880.3	$2^+$	$2^+$	$7_{-1}^{+3}$
1700.1	411.7	$4^+$	$4^+$	$-0.20 \pm 0.13$
1955.6	525.0	$2^+$	$2^+$	$0.19_{-0.15}^{+0.26}$
	437.1	$2^+$	$2^+$	$-0.33 \leq \delta \leq \infty$
2084.4	950.0	$2^-$	$3^-$	$0.4_{-0.1}^{+0.2}$
2091.7	573.4	$2^+$	$2^+$	$0.33 \leq \delta \leq 1.1$
	1453.6	$2^+$	$2^+$	$-0.24 \pm 0.05$
2180.1	1542.0	$2^+$	$2^+$	$-0.5 \leq \delta \leq -11$
2209.5	1075.3	$3^-$	$3^-$	$\delta \leq 0.25$
2426.1	1788.1	$2^+$	$2^+$	$0.04 \leq \delta \leq 1.0$
2687.2	1168.7	$2^+$	$2^+$	$\delta \leq 1.9$
2786.9	2148.7	$2^+$	$2^+$	$2.1 \pm 0.4$

(a) [HAMILTON ve ark. 1978]

**Tablo 3. 3.  $^{160}\text{Gd}$  İzotopunun  $\delta(\text{M}2/\text{E}1)$  Karışım Oranları**

Enerji Düzeyi(keV)	Geçiş Enerjisi	Başlangıç Spini	Bitiş Spini	Karışım Oranı $\delta(\text{M}2/\text{E}1)^{(a)}$
1134.3	496.3	$3^-$	$2^+$	$0.05 \pm 0.02$
1700.1	565.7	$4^+$	$3^-$	$0.12 \pm 0.05$
1955.6	821.1	$2^+$	$3^-$	$\delta \leq 0.07$
2091.7	957.4	$2^+$	$3^-$	$\delta \leq 0.03$
2180.1	1045.7	$2^+$	$3^-$	$\delta \leq 0.1$
2426.1	1291.7	$2^+$	$3^-$	$0.10 \pm 0.06$
2687.2	1168.7	$2^-$	$2^+$	$\delta \leq 0.1$

(a) [HAMILTON ve ark. 1978]

### 3. 3. $^{152}\text{Gd}$ İzotopu

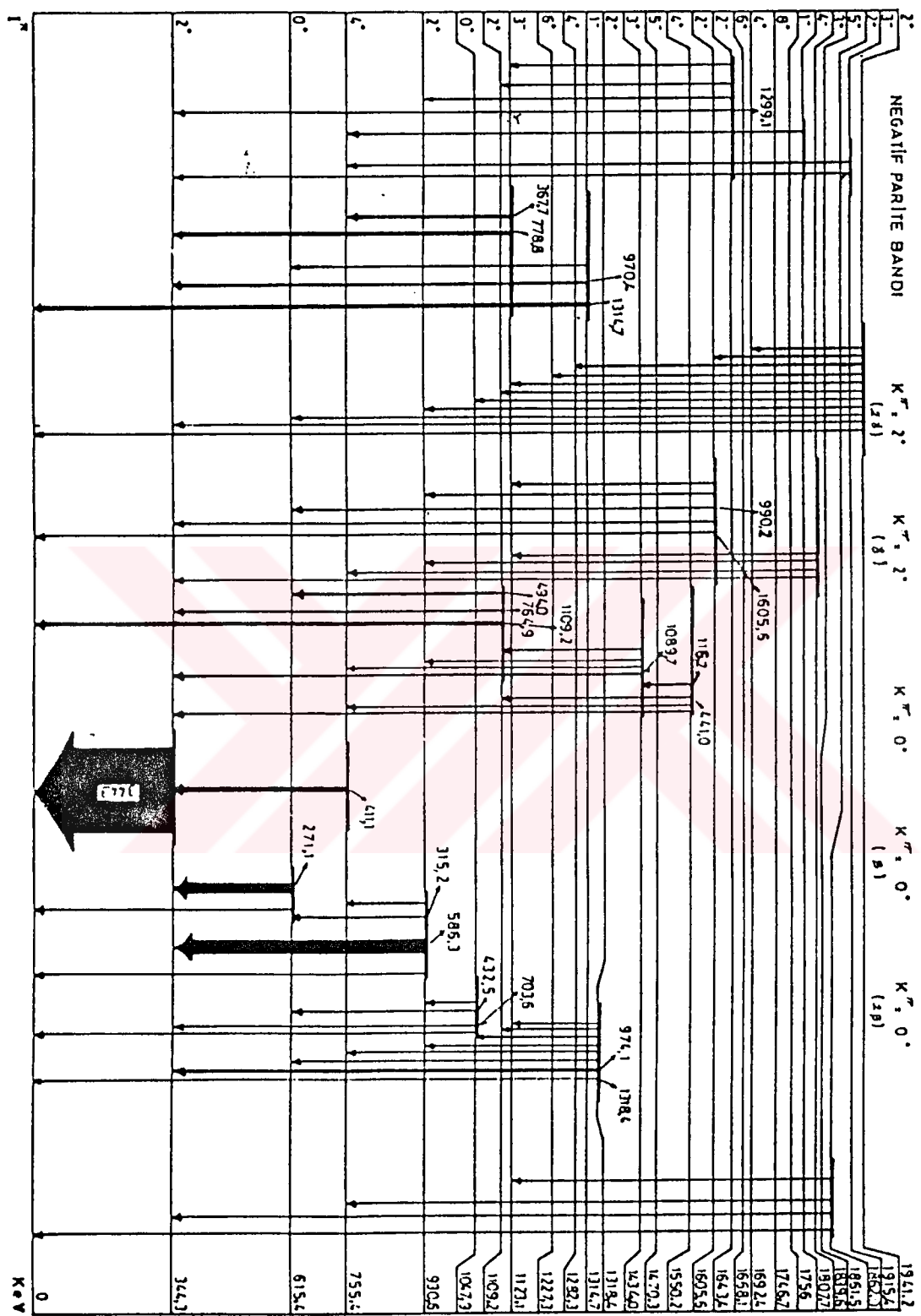
$N=88$  nötron sayısına sahip bu izotop deforme bölge girişindedir [YAMADA, SELVI, IIMURA 1985]. Yani küresel simetrik (vibrasyonel) yapıdaki çekirdeklerin bulunduğu bölge ile deform (rotasyonel) yapıdaki çekirdeklerin

bulunduğu bölge arasında yer alır ve geçiş izotopu olarak adlandırılır. Bu çekirdekler yardımıyla, geçiş bölgesinin yapısı hakkında önemli bilgiler elde edilebilmiştir. Bundan dolayı birçok bilim adamı tarafından bu izotop deneysel ve teorik olarak incelenmiştir.

$^{152}\text{Gd}$  izotopuna ait enerji düzeyleri,  $^{152}\text{Tb}$  nin bozunumunda faydalananarak Zolnowski ve ark. (1971) tarafından ölçülebilmiştir. Götz ve ark. (1972) ile Ragnarsson ve ark. (1974) bu bölge çekirdekleri için mikroskopik modeller öne sürmüşler fakat, bu modeller, bu tip geçiş çekirdeklerinin karmaşık yapılı spektrumlarını açıklamakta yetersiz kalmıştır. Daha sonraki yıllarda  $^{152}\text{Gd}$  nin düzeyleri arasındaki elektromanyetik geçişlere ait özellikler karışım oranları ve kuadropol biçim karakteristikleri Krane (1975), Kumar ve Gupta (1978) tarafından incelendi. Izotopun düzey yapısılarındaki bilgileri ise Castanos ve ark. (1982) ile Chuu ve ark. (1984) tarafından verilmiştir. Kumar ve Gupta (1984) Pairing+Quadropol Model (PQM) yardımı ile Yamada ve ark. (1985),  $^{152}\text{Eu}$ nun bozunumunu kullanarak ve El-Din ve ark. (1986) da Genişletilmiş Rotasyonel-Vibrasyonel Model (RVM) çerçevesi içinde  $^{152}\text{Gd}$ 'yi incelediler. Lipas ve ark. (1987) Casten ve Wolf (1987), Raman ve ark. (1987, 1988), Stewart ve ark. (1990), Tagziria ve ark. (1990), Nazarawich ve ark. (1990), Wolf ve ark. (1991), Heyde ve Coster (1991),  $^{152}\text{Gd}$ 'ye ait çeşitli nükleer özellikleri deneysel ve teorik olarak inceleyerek önemli bilgiler elde etmişlerdir.

Bu izotopa ait uyarılmış düzeylerin basitleştirilmiş bozunum şeması Şekil 3. 2. verilmiştir. Bozunum şemasından da görüleceği üzere;  $^{152}\text{Gd}$ 'da temel hal bandının üyeleri  $0^+(0 \text{ keV})$ ,  $2^+(344.3 \text{ keV})$ ,  $4^+(755.4 \text{ keV})$ ,  $6^+(1227.3 \text{ keV})$ ,  $8^+(1746.7 \text{ keV})$  ve  $10^+(2300.4 \text{ keV})$  düzeyleridir. Beta bandının üyeleri ise  $0^+(615.4 \text{ keV})$ ,  $2^+(930.6 \text{ keV})$ ,  $4^+(1282.3 \text{ keV})$ ,  $6^+(1668.1 \text{ keV})$ ,  $8^+(2138.7 \text{ keV})$  ve  $(10^+(2691.1 \text{ keV}))$  düzeyleridir. Gama bandı ise  $2^+(1109.2 \text{ keV})$ ,  $3^+(1434.0 \text{ keV})$ ,  $4^+(1550.2 \text{ keV})$ ,  $5^+(1861.5 \text{ keV})$ ,  $6^+(1997.8 \text{ keV})$  ve  $7^+(2394.1 \text{ keV})$  düzeylerinden oluşmuştur. Oktupol bandı üyeleri de  $1^-(1314.7 \text{ keV})$ ,  $2^-(1643.6 \text{ keV})$ ,  $3^-(1123.1 \text{ keV})$ ,  $5^-(1470.5 \text{ keV})$  vs. şeklindedir [LIPAS ve ark. 1983]. Bu değerler tablo olarak Tablo 3. 4. de verilmiştir.

**Şekil 3. 2.  $^{152}\text{Gd}$  izotopunun Uyarılmış Seviyelerinin Basitleştirilmiş Bozunum Şeması**



**Tablo 3. 4.  $^{152}\text{Gd}$  izotopunun Enerji Düzeyleri**

Band Yapısı	Spin Parite	Deneysel Enerji
$K^\pi$	$I^\pi$	Düzeyleri (keV)
Temel	$0^+$	0.0
Durum	$2^+$	343.3
Bandı	$4^+$	755.4
$K^\pi = 0^+$	$6^+$	1227.3
	$8^+$	1746.7
	$10^+$	2300.4
Beta	$0^+$	615.4
Bandı	$2^+$	930.6
$K^\pi = 0^+$	$4^+$	1282.3
	$6^+$	1668.1
	$8^+$	2138.7
Gama	$2^+$	1109.2
Bandı	$3^+$	1434.0
$K^\pi = 2^+$	$4^+$	1550.2
	$5^+$	1861.5
	$6^+$	1997.8
	$7^+$	2394.1
$2\beta$	$0^+$	1047.9
Bandı	$2^+$	1318.4
$K^\pi = 2^+$	$4^+$	1692.4
$2\tau$ Bandı	$2^+$	1605.6
$K^\pi = 2^+$	$3^+$	1839.6
Oktupol	$3^-$	1123.1
Bandı	$1^-$	1314.7
$K^\pi = 1^-$	$5^-$	1470.3
	$2^-$	1643.4
	$1^-$	1756.0
	$4^-$	1807.7
	$3^-$	1915.4

### 3. 3. 1 $^{152}\text{Gd}$ Çekirdeğinin Enerji Düzeyleri ve Geçişlerin Kutupsallığı

344.3 keV düzeyi:  $^{152}\text{Gd}$ ' de çok önceden beri iyi bilinen düzeylerden birisidir. Spin-Paritesi  $2^+$  olup bu düzeyden  $0^+$  temel hal düzeyine kutupsallığı E2 olan  $2^+$  (344.4 keV)  $0^+$  geçisi olur ve bu geçiş çok şiddetlidir [TAGZIRIA ve ark. 1990][ZOLNOWSKI ve ark. 1980].

615.4 keV düzeyi:  $K^\pi = 0^+$  beta bandının bandbaşıdır. Zolnowski ve ark. (1971) ile Kalfas ve ark. (1972) tarafından tespit edilmiştir. Bu düzeyden  $2^+$  (344.3 keV) düzeye kutupsallığı E2 olan  $0^+$  (271.1 keV)  $2^+$  işini ve  $0^+$  temel düzeye  $0^+$  (615.4 keV)  $0^+$  işini geçiş yapar.

755.4 keV düzeyi: Temel hal bandının iyi bilinen bir üyesi olup Spin-Paritesi  $4^+$  olarak tespit edilmiştir [SAKAI 1984]. Bu düzeyden  $2^+$  (344.3 keV) düzeye geçiş gözlenmiştir. 411 keV'lik enerjiye sahip bu geçişin kutupsallığı E2 dir [TAGZIRIA ve ark. 1990].

930.6 keV düzeyi:  $K^\pi = 0^+$  beta bandının bir üyesi olup Spin-Paritesi  $2^+$  olarak tayin edilmiştir [SAKAI 1984]. Bu düzeyden  $0^+$  taban düzeye kutupsallığı E2 olan  $2^+$  (930.6 keV)  $0^+$ ,  $2^+$  (344.3 keV) düzeye kutupsallığı E0+E2+M1 olan  $2^+$  (586.3 keV)  $2^+$  işini geçiş yapar. Bu geçişlerin şiddetlerinin yüksek olduğu da gözlenmiştir [TAGZIRIA ve ark. 1990]. Ayrıca yine bu düzeyden  $0^+$  (615.4 keV) ve  $4^+$  (755.4 keV) düzeye kutupsallığı E2 olan sırasıyla 315.2 keV ve 175.0 keV' lik geçişler gözlenir.

1047.9 keV düzeyi:  $K^\pi = 0^+$   $2\beta$  bandının bandbaşı olarak tayin edilmiştir [SAKAI 1984]. Bu düzeyden  $0^+$  (615.4 keV) düzeye kutupsallığı E0 olan  $0^+$  (432.5 keV)  $0^+$  işini,  $0^+$  (0 keV) düzeye kutupsallığı E0 olan  $0^+$  (1047.9 keV)  $0^+$  işini,  $2^+$  (344.3 keV) düzeye ve  $2^+$  (930.6 keV) düzeye kutupsallığı E2 olan  $0^+$  (703.6 keV)  $2^+$  ve  $0^+$  (117.3 keV)  $2^+$  işinları geçiş yapar.

1109.2 keV düzeyi:  $K^\pi = 2^+$  gama bandının bandbaşı olan bu düzeyden  $0^+$  (0 keV) düzeye kutupsallığı E2 olan  $2^+$  (1109.2 keV)  $0^+$  işini ve  $2^+$  (344.3 keV) düzeye ise kutupsallığı E2+M1 olan  $2^+$  (764.9 keV)  $2^+$  işini geçiş yapar.

1123.1 keV düzeyi: Spin-Parite değeri  $3^-$  olan bu düzey oktopol bandının bir üyesidir. Bu düzeyden  $2^+$  (344.3 keV) düzeyine kutupsallığı E1 olan  $3^-$  (778.9 keV)  $2^+$  geçisi,  $4^+$  (755.4 keV) düzeyine kutupsallığı E1 olan  $3^-$  (367.8 keV)  $4^+$  ışını geçiş yapar. Ayrıca  $0^+$  (0 keV) düzeyine kutupsallığı E3 olan  $3^-$  (1123.1 keV)  $0^+$  ışını geçiş yapar [ZOLNOWSKI ve ark. 1980].

1314.7 keV düzeyi: Okyupol bandının bir üyesi ve Bloch ve ark. (1967) tarafından gözlenen bu düzeyin Spin-Parite değeri  $1^-$  olarak saptanmıştır. Bu düzeyden  $0^+$  (0 keV) taban düzeyine kutupsallığı E1 olan  $1^-$  (1314.6 keV)  $0^+$  ışını,  $2^+$  (344.3 keV) ve  $0^+$  (615.4 keV) düzeylerine sırasıyla  $1^-$  (970.3 keV)  $2^+$  ve  $1^-$  (699.2 keV)  $0^+$  ışınları geçiş yaparlar.

1318.4 keV düzeyi: Bu düzeyi Bloch ve ark. Tespit etmişler, Kalfas ve ark.da Spin-Paritesini  $2^+$  olarak belirlemiştir. Bu düzeyden  $0^+$  (0 keV) düzeyine kutupsallığı E2 olan  $2^+$  (1318.2 keV)  $0^+$  ışını,  $2^+$  (344.3 keV) düzeyine kutupsallığı E0+M1+E2 olan  $2^+$  (974.1 keV)  $2^+$  ışın,  $0^+$  (615.4 keV) düzeyine  $2^+$  (703.0 keV)  $0^+$  ışını,  $4^+$  (755.4 keV) düzeyine  $2^+$  (563.3 keV)  $4^+$  ışını ve  $3^-$  (1123.2 keV) düzeyine  $2^+$  (195.2 keV)  $3^-$  ışını geçiş yapar.

1434.0 keV düzeyi:  $K^\pi = 2^+$  gama bandının bir üyesidir. Spin-Parite değeri  $3^+$  olarak tayin edilmiştir [SAKAI 1984]. Bu düzeyden  $2^+$  (344.3 keV) düzeyine ve  $4^+$  (755.4 keV) düzeyine kutupsallığı M1+E2 olan 1089.9 ve 678.6 keV' lik gama geçisi olur.

1550.2 keV düzeyi: Bloch ve ark. (1967) tarafından tespit edilen bu düzeyin Spin-Paritesi  $3^+$  ve/veya  $4^+$  olarak gözlenmiştir. Ancak daha sonraki yıllarda yapılan çalışmalarda Spin-Parite değeri, Kalfas ve ark. (1972), Kumar ve Gupta (1984) tarafından  $4^+$  olarak tespit edilmiştir.  $K^\pi = 2^+$  gama bandının bir üyesi olan bu düzeyden  $2^+$  (344.3 keV) düzeyine  $4^+$  (1205.9 keV)  $2^+$  ışını,  $4^+$  (755.4 keV) düzeyine  $4^+$  (794.8 keV)  $4^+$  ve  $2^+$  (1109.2 keV) düzeyine  $4^+$  (441.0 keV)  $2^+$  ışınları geçiş yapar. Bu geçişlerin kutupsallığı sırasıyla E2, E2+M1 ve E2 şeklindedir.

1605.6 keV düzeyi:  $K^\pi = 2^+$   $2\gamma$  bandının bir üyesi ve Spin-Paritesi  $2^+$  olarak tayin edilmiştir [TAGZIRIA ve ark. 1990]. Bu düzeyden  $0^+$  (0 keV) düzeyine kutupsallığı E2 olan  $2^+$  (1605.4 keV)  $0^+$  ışını,  $2^+$  (344.3 keV)

düzeyine kutupsallığı E2+M1 olan  $2^+$  (1261.3 keV)  $2^+$  işini ve  $0^+$  (615.4 keV) düzeyine kutupsallığı E2 olan  $2^+$  (990.2 keV)  $0^+$  işini geçiş yaparlar.

1643.4 keV düzeyi:  $K^\pi = 1^-$  oktopol bandının bir üyesi olup Spin-Paritesi  $2^-$  dir [ZOLNOWSKI ve ark. 1971]. Bu düzeyden  $2^+$  (344.3 keV),  $2^+$  (930.6 keV) ve  $2^+$  (1109.2 keV) düzeylerine kutupsallığı E1+M2 olan  $2^+$  (1299.1 keV)  $2^+$ ,  $2^-$  (712.8 keV)  $2^+$  ve  $2^-$  (534.2 keV)  $2^+$  işinları geçiş yapar.

1692.4 keV düzeyi: Spin-Parite değeri  $3^+$  olan bu düzey Tagziria ve ark.(1979) tarafından  $^{152}\text{Tb}$ 'nin  $\beta$  - bozunumu spektrumu yardımıyla tespit edilmiştir. Bu düzeyden  $2^+$  (344.3 keV) düzeyine 1348.1 keV'lik gama işini geçiş yapar ve bu geçişin kutupsallığı E2+M1 şeklindedir.

1807.7 keV düzeyi:  $K^\pi = 1^-$  oktopol bandının bir üyesi olup Spin-Paritesi  $4^-$  dir [ZOLNOWSKI ve ark. 1971]. Bu düzeyden  $4^+$  (755.4 keV) düzeyine kutupsallığı E1+M2 olan  $4^-$  (1052.3 keV)  $4^+$  işini geçiş yapar.

1862.0 keV düzeyi: Bu düzey için Zolnowski ve ark. (1971) ile Kalfas ve ark. (1973) tarafından Spin-Parite değeri  $2^+$  olarak tayin edilmiştir. Ayrıca bu sonuç Kumar ve Gupta (1984) tarafından doğrulanmıştır. Bu düzeyden  $0^+$  (0 keV) düzeyine kutupsallığı E2 olan  $2^+$  (1862.0 keV)  $0^+$  işini,  $2^+$  (344.3 keV) düzeyine kutupsallığı E2+M1 olan  $2^+$  (1517.8 keV)  $2^+$  işini geçiş yapar.

1941.2 keV düzeyi: Spin-Parite değeri  $2^+$  olarak elde edilmiştir [ZOLNOWSKI ve ark. 1971]. Bu düzeyden  $2^+$  (344.3 keV),  $0^+$  (615.4 keV),  $2^+$  (930.6 keV),  $0^+$  (1047.9 keV) ve  $2^+$  (1318.4 keV) düzeylerine kutupsallığı sırasıyla E2+M1, E2, M1 (veya E2+M1), E2 ve E2+M1 olan 1596.3 keV, 1325.8 keV, 1010.7 keV, 893.3 keV ve 622.8 keV enerjili geçişler mevcuttur.

2246.7 keV düzeyi: Spin-Parite değeri  $3^+$  olarak tayin edilmiştir. Bu düzeyden  $2^+$  (1318.4 keV),  $2^+$  (344.3 keV) düzeylerine kutupsallığı M1 olan  $3^+$  (928.7 keV)  $2^+$  ve  $3^+$  (1902.4 keV)  $2^+$  geçişleri olur [TAGZIRIA ve ark. 1990].

### 3. 3. 2. $^{152}\text{Gd}$ İzotopunun Çokkutuplu Karışım Oranları

Bu verilen enerji düzeyleri arasındaki elektromanyetik geçişlere ait  $\delta(E2/M1)$  ve  $\delta(M2/E1)$  karışım oranları Tablo 3. 5. ve Tablo 3. 6. deki gibidir.

**Tablo 3. 5.  $^{152}\text{Gd}$  İzotopunun  $\delta(\text{E}2/\text{M}1)$  Karışım Oranları**

Enerji Düzeyi(keV)	Geçiş Enerjisi	Başlangıç Spini	Bitiş Spini	Karışım Oranı $\delta(\text{E}2/\text{M}1)^{(a)}$
930.6	586.3	$2^+$	$2^+$	$-4.6_{-2.5}^{+1.2}$
1434.2	678.6	$3^+$	$4^+$	$-22.6_{-42.2}^{+9.1}$
	1089.9	$3^+$	$2^+$	$18.3_{-5.0}^{+10.7}$

(a) [YAMADA ve ark. 1985]

**Tablo 3. 6.  $^{152}\text{Gd}$  İzotopunun  $\delta(\text{M}2/\text{E}1)$  Karışım Oranları**

Enerji Düzeyi(keV)	Geçiş Enerjisi	Başlangıç Spini	Bitiş Spini	Karışım Oranı $\delta(\text{M}2/\text{E}1)^{(a)}$
1123.2	367.8	$3^-$	$4^+$	$-0.005 \pm 0.041$
	778.9	$3^-$	$2^+$	$0.001 \pm 0.054$

(a) [YAMADA ve ark. 1985]

### 3. 4. $^{154}\text{Gd}$ İzotopu

$^{154}\text{Gd}$  izotopu deforme bölge girişinde ve N=90 nötron sayısına sahiptir. Bu izotopu ilginç kıyan en önemli özelliği ise rotor karakteristiği gösteren deformel olmuş ilk Gadolinium izotopu olmasıdır. Bu izotop üzerinde, teorik ve deneysel olarak çekirdeğin düzey yapısı, düzeyler arası elektromanyetik geçişlerin çokkutuplu karışım oranları, B(E2) geçiş olasılıkları ve diğer nükleer yapı özellikleri ile ilgili birçok araştırma yapılmıştır.

Bu çalışmalar özetle şöyledir. Meyer (1968), Riedinger ve ark. (1969), Varnell ve ark. (1969), Whitlock ve ark. (1971), Rud ve ark. (1971), Blanchard ve Zganjar (1972), Ober ve ark. (1973), Uluer (1975), Girit ve ark. (1983), Akkaya ve ark. (1992) tarafından  $^{154}\text{Eu}$ 'nun bozunumu kullanılarak, West ve ark. (1978), Lipas ve ark. (1983) tarafından ise  $^{154}\text{Tb}$ 'nin bozunumu kullanılarak  $^{154}\text{Gd}$ 'daki düzeyler ve düzeylere ait elektromanyetik geçişler incelenmiştir.

Diğer yandan teorik olarak yapılan araştırmalarda Pairing-Plus-Kuadrupol Modelini kullanarak Gupta ve ark. (1977) ile Kumar ve Gupta (1978) Dinamik Deformasyon Teorisini kullanarak, Gupta ve ark.

(1980) Simetrik Olmayan Rotor Modelini ve Etkileşen Bozon Yaklaşımını kullanarak, Castanos ve ark. (1982), Chuu ve ark. (1984), Lipas ve ark. (1984, 1987), Van Isacker ve ark. (1988) Rotasyonel-Vibrasyonel Modeli kullanarak, Bhardwaj ve ark. (1983), El-Din ve ark. (1986) bu çekirdeğe ait düzeyler arası elektromanyetik geçişlere ait karışım oranlarını, B(E2) değerlerini hesapladılar. Ayrıca Raman ve ark. (1987)  $^{154}\text{Gd}$ 'nin indirgenmiş geçiş olasılığını,  $\beta_2$  deformasyon parametresi ile  $Q_0$  kuadropol momentini hesaplamışlardır. Varshney ve ark. (1988) ise bu çekirdeğin yüksek enerjili düzeylerinden geçişleri incelemiş ve Nazarewicz ve ark. (1990)'da  $\beta_2$  deformasyon parametrelerini hesaplamışlardır.

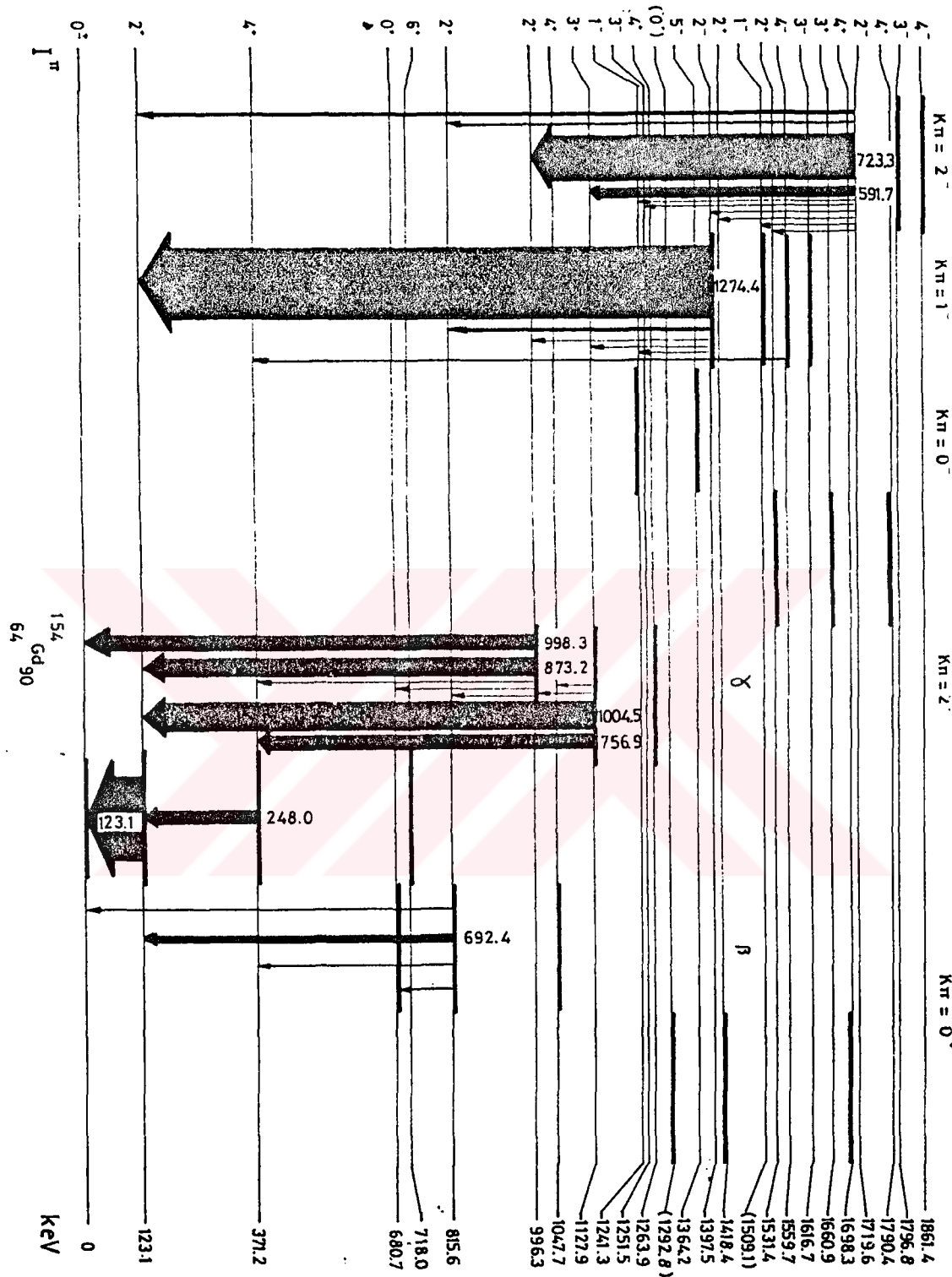
İzotopumuzun uyarılmış düzeylerinin basitleştirilmiş bozunum şeması Şekil 3. 3'de verildi. Bozunum şeması incelendiğinde;  $^{154}\text{Gd}$ 'da temel hal bandının üyeleri  $0^+(0 \text{ keV})$ ,  $2^+(123.1 \text{ keV})$ ,  $4^+(371.1 \text{ keV})$ ,  $6^+(717.8 \text{ keV})$ ,  $8^+(1114.5 \text{ keV})$  ve  $10^+(1637.2 \text{ keV})$  düzeyleridir. Beta bandının üyeleri ise  $0^+(680.7 \text{ keV})$ ,  $2^+(815.6 \text{ keV})$ ,  $4^+(1047.7 \text{ keV})$ ,  $6^+(1365.9 \text{ keV})$ ,  $8^+(1756.7 \text{ keV})$  ve  $(10^+(2194.5 \text{ keV}))$  düzeyleridir. Gama bandı ise  $2^+(996.3 \text{ keV})$ ,  $3^+(1127.9 \text{ keV})$ ,  $4^+(1263.9 \text{ keV})$ ,  $5^+(1432.3 \text{ keV})$ ,  $6^+(1606.6 \text{ keV})$  ve  $7^+(1810.3 \text{ keV})$  düzeylerinden oluşmuştur [SAKAI 1984].

$^{152}\text{Gd}$ 'da gözlenen  $2\beta$  ve  $2\gamma$  bantları  $^{154}\text{Gd}$  izotopunda da gözlenmiştir.  $2\beta$  bandının üyeleri;  $0^+(1295.2 \text{ keV})$ ,  $2^+(1418.4 \text{ keV})$ ,  $4^+(1698.3 \text{ keV})$  düzeyleridir.  $2\gamma$  bandının üyeleri ise;  $2^+(1531.3 \text{ keV})$ ,  $3^+(1660.9 \text{ keV})$  ve  $4^+(1790.2 \text{ keV})$  düzeyleridir [HARMHATZ 1979].

Oktupol bandı üyeleri ise  $1^-(1241.3 \text{ keV})$ ,  $3^-(1251.6 \text{ keV})$ ,  $2^-(1397.5 \text{ keV})$ ,  $4^-(1559.7 \text{ keV})$ ,  $2^-(1719.65 \text{ keV})$ ,  $3^-(1796.8 \text{ keV})$  ve  $4^-(1861.4 \text{ keV})$  şeklindedir [HARMHATZ 1979],[LANGE 1971]. Bu değerler toplu olarak Tablo 3. 7. de verilmiştir.

### 3. 4. 1. $^{154}\text{Gd}$ Çekirdeğinin Enerji Düzeyleri ve Geçişlerin Kutupsallığı

123.0 keV düzeyi: Temel düzey bandının ilk uyarılmış düzeyidir ve Spin-Paritesi  $2^+$  olarak tayin edilmiştir [MEYER 1968]. Bu enerji düzeyinden  $0^+$  (0 keV) taban düzeyine  $2^+$  (123.0 keV)  $0^+$  ışını geçiş yapar ve kutupsallığı E2' dir.



Şekil 3. 3.  $^{154}\text{Gd}$  izotopunun Uyarılmış Seviyelerinin Basitleştirilmiş Bozunum Şeması

**Tablo 3. 7.  $^{154}\text{Gd}$ 'nin Enerji Düzeyleri**

Band Yapısı $K^\pi$	Spin Parite $I^\pi$	Deneysel Enerji Düzeyleri (keV)
Temel	$0^+$	0.0
Durum	$2^+$	123.0
Bandı	$4^+$	371.1
$K^\pi = 0^+$	$6^+$	717.8
	$8^+$	1144.5
	$10^+$	1637.2
Beta	$0^+$	680.7
Bandı	$2^+$	815.6
$K^\pi = 0^+$	$4^+$	1047.7
	$6^+$	1365.9
	$8^+$	1756.7
	$10^+$	2194.5
Gama	$2^+$	996.3
Bandı	$3^+$	1127.9
$K^\pi = 2^+$	$4^+$	1263.9
	$5^+$	1432.3
	$6^+$	1606.6
	$7^+$	1810.3
$2\beta$	$0^+$	1295.2
Bandı	$2^+$	1418.4
$K^\pi = 0^+$	$4^+$	1698.3
$2\gamma$	$2^+$	1531.3
Bandı	$3^+$	1660.9
$K^\pi = 2^+$	$4^+$	1790.2
Oktupol	$1^-$	1241.3
Bandı	$3^-$	1251.6
$K^\pi = 0^-$		
Oktupol	$2^-$	1397.5
Bandı	$4^-$	1559.7
$K^\pi = 1^-$	$3^-$	1616.7
Oktupol	$2^-$	1719.6
Bandı	$3^-$	1796.8
$K^\pi = 2^-$	$4^-$	1861.4

371.1 keV düzeyi: Temel hal bandının üyesidir ve Spin-Parite değeri  $4^+$  olarak tayin edilmiştir [HARMHATZ 1979]. Bu enerji düzeyinden  $2^+$  (123.1 keV) düzeyine  $4^+$  (248.0 keV)  $2^+$  ışını geçiş yapar ve kutupsallığı E2' dir.

680.7 keV düzeyi:  $K^\pi = 0^+$  beta bandının bant başı olup Spin-Paritesi  $0^+$  dır. Bu düzeyden,  $0^+$  (0 keV) temel düzeyine kutupsallığı E0 olan  $0^+$  (680.7 keV)  $0^+$  ve  $2^+$  (123.1 keV) düzeyine kutupsallığı E2 olan  $0^+$  (557.6 keV)  $2^+$  ışını geçiş yapar.

717.8 keV düzeyi: Temel hal bandının üyesidir ve Spin-Parite değeri  $6^+$  olarak tayin edilmiştir [HARMHATZ 1979]. Bu enerji düzeyinden  $4^+$  (371.1 keV) düzeyine  $6^+$  (346.7 keV)  $4^+$  ışını geçiş yapar ve kutupsallığı E2' dir.

815.6 keV düzeyi:  $K^\pi = 0^+$  beta bandının bir üyesi olup Spin-Paritesi  $2^+$  dır. Bu düzeyden,  $0^+$  (0 keV) temel düzeyine kutupsallığı E2 olan  $2^+$  (815.6 keV)  $0^+$ ,  $2^+$  (123.1 keV) düzeyine kutupsallığı E2+M1 (+E0) olan  $2^+$  (692.5 keV)  $2^+$  ve  $4^+$  (371.1 keV) düzeyine ise kutupsallığı E2 olan  $2^+$  (444.5 keV)  $4^+$  ışınları geçiş yapar [WHITLOCK ve ark. 1971].

996.3 keV düzeyi:  $K^\pi = 2^+$  gama bandının bandbaşı olup Spin-Paritesi  $2^+$  olarak tayin edilmiştir [MEYER 1968]. Bu düzeyden,  $0^+$  (0 keV) temel düzeyine kutupsallığı E2 olan  $2^+$  (996.3 keV)  $0^+$ ,  $2^+$  (123.1 keV) düzeyine kutupsallığı E2+M1 (+E0) olan  $2^+$  (873.2 keV)  $2^+$  ve  $4^+$  (371.1 keV) düzeyine de kutupsallığı E2 olan  $2^+$  (625.2 keV)  $4^+$  ışınları geçiş yapar [LEDERER ve ark. 1978][ULUER 1975].

1047.7 keV düzeyi:  $K^\pi = 0^+$  beta bandının bir üyesi olup Spin-Paritesi  $4^+$  dır. Bu düzeyden,  $2^+$  (123.1 keV) düzeyine kutupsallığı E2 olan  $4^+$  (924.6 keV)  $2^+$  ve  $4^+$  (371.1 keV) düzeyine ise kutupsallığı E2+M1 olan  $4^+$  (444.5 keV)  $4^+$  ışınları geçiş yapar [ULUER 1975].

1127.9 keV düzeyi:  $K^\pi = 2^+$  gama bandının bir üyesi olup Spin-Paritesi  $3^+$  olarak tayin edilmiştir [MEYER 1968]. Bu düzeyden, çok kuvvetli olarak,  $2^+$  (123.1 keV) düzeyine kutupsallığı E2+M1 olan  $3^+$  (1004.8 keV)  $2^+$ ,  $4^+$  (371.1 keV) düzeyine kutupsallığı E2+M1 olan  $3^+$  (756.8 keV)  $4^+$  ışınları geçiş yaparlar. Bunlara göre daha zayıf şiddette;  $2^+$  (996.3 keV) düzeyine  $3^+$  (80.2 keV)  $4^+$  ışınları geçiş yapar [ULUER 1975].

1144.5 keV düzeyi:  $K^\pi = 0^+$  beta bandının bir üyesi olup Spin-Paritesi  $8^+$  dır. Bu düzeyden,  $6^+$  (717.8 keV) düzeyine kutupsallığı E2 olan  $8^+$  (426.7 keV)  $6^+$  ışını geçiş yapar [LIPAS ve ark. 1983].

1241.3 keV düzeyi: Bu düzey  $K^\pi = 0^-$  oktopol bandının bandbaşı ve Spin-Paritesi  $1^-$  dır. Bu düzeyden,  $0^+$  (0 keV) taban düzeyine,  $1^-$  (1241.3 keV)  $0^+$  ve  $2^+$  (123.1 keV) düzeyine  $1^-$  (1118.2 keV)  $2^+$  ışınları geçiş yaparlar ve kutupsallığı E1' dir [HARMHATZ 1979].

1263.9 keV düzeyi: Gama bandının bir üyesi ve Spin-Paritesi  $4^+$  dır. Bu düzeyden  $2^+$  (123.1 keV) düzeyine kutupsallığı E2 olan  $4^+$  (1140.8 keV)  $2^+$  ışını ve  $4^+$  (371.1 keV) düzeyine kutupsallığı E2+M1 (+E0) olan  $4^+$  (892.8 keV)  $4^+$  ışınları geçiş yaparlar [MEYER 1968].

1365.9 keV düzeyi:  $K^\pi = 0^+$  beta bandının bir üyesi olup Spin-Paritesi  $6^+$  dır. Bu düzeyden,  $4^+$  (371.1 keV) düzeyine kutupsallığı E2 olan  $6^+$  (994.8 keV)  $4^+$  ışını,  $6^+$  (717.8 keV) düzeyine kutupsallığı E2+M1+E0 olan  $6^+$  (648.1 keV)  $6^+$  ve  $4^+$  (1047.7 keV) düzeyine kutupsallığı E2 olan  $6^+$  (318.2 keV)  $4^+$  ışını geçiş yapar [HARMHATZ 1979].

1418.4 keV düzeyi:  $K^\pi = 0^+$   $2\beta$  bandının üyesidir ve Spin-Paritesi  $2^+$  dır [MEYER 1968]. Bu düzeyden,  $2^+$  (123.1 keV) düzeyine kutupsallığı E2+M1 olan  $2^+$  (1295.3 keV)  $2^+$  ışını geçiş yapar.

1432.3 keV düzeyi:  $K^\pi = 2^+$  beta bandının bir üyesi olup Spin-Paritesi  $5^+$  olarak tayin edilmiştir. Bu düzeyden,  $4^+$  (371.1 keV) düzeyine  $5^+$  (1061.2 keV)  $4^+$  ve  $6^+$  (717.8 keV) düzeyine  $5^+$  (714.5 keV)  $6^+$  ışınları geçiş yapar ve kutupsallığı E2+M1 şeklindedir [LIPAS ve ark. 1983].

1397.5 keV, 1559.7 keV ve 1616.7 keV düzeyleri: Bu düzeyler  $K^\pi = 1^-$  oktopol bandının üyeleriidir. Bu düzeylerin Spin-Pariteleri sırasıyla  $2^-$ ,  $4^-$  ve  $3^-$  olarak tesbit edilmiştir.  $2^-$  (1397.5 keV) düzeyinden  $2^+$  (123.1 keV) düzeyine kutupsallığı E1 olan  $2^-$  (1274.4 keV)  $2^+$  ışını geçiş yapar [ULUER 1975].

1606.6 keV düzeyi:  $K^\pi = 2^+$  gama bandının bir üyesi ve Spin-Paritesi  $6^+$  dır. Bu düzeyden  $4^+$  (371.1 keV) düzeyine kutupsallığı E2 olan  $6^+$  (1235.5

keV)  $4^+$  ve  $6^+$  (717.8 keV) düzeyine de kutupsallığı E2+M1 olan  $6^+$  (887.8 keV)  $6^+$  ışınları geçiş yapar [HARMHATZ 1979].

1660.9 keV düzeyi:  $2\gamma$  bandının bir üyesidir ve Spin-Paritesi  $3^+$  olarak verilmiştir [SAKAI 1984]. Bu düzeyden  $2^+$  (815.6 keV) düzeyine  $3^+$  (845.3 keV)  $2^+$  ışını geçiş yapar.

1756.7 keV düzeyi: Beta bandının bir üyesi ve Spin-Paritesi  $8^+$  dır. Bu düzeyden  $6^+$  (717.8 keV) düzeyine  $8^+$  (1038.9 keV)  $2^+$  ışını,  $8^+$  (1144.5 keV) düzeyine  $8^+$  (612.2 keV)  $8^+$  ışını ve  $6^+$  (1365.9 keV) düzeyine de  $8^+$  (390.8 keV)  $6^+$  ışını geçiş yapar.

1810.3 keV düzeyi:  $K'' = 2^+$  gama bandının bir üyesi ve Spin-Paritesi  $7^+$  olarak tayin edilmiştir. Bu düzeyden  $6^+$  (717.8 keV) düzeyine  $7^+$  (1092.5 keV)  $6^+$  ışını,  $8^+$  (1144.5 keV) düzeyine  $7^+$  (665.8 keV)  $8^+$  ışını ve  $5^+$  (1432.3 keV) düzeyine de  $7^+$  (378.0 keV)  $5^+$  ışını geçiş yapar [LIPAS ve ark. 1983].

1894.7 keV düzeyi: Spin-Parite değeri  $2^+$  dır. Bu enerji düzeyinden  $2^+$  (996.3 keV) düzeyine  $2^+$  (898.4 keV)  $2^+$  ışını,  $4^+$  (371.1 keV) düzeyine  $2^+$  (1522.0 keV)  $4^+$  ışını,  $2^+$  (123.1 keV) düzeyine  $2^+$  (1771.6 keV)  $2^+$  ışını ve  $0^+$  taban düzeyine de  $2^+$  (1894.7 keV)  $0^+$  ışını geçiş yapar [MEYER 1968].

### 3. 4. 2. $^{154}\text{Gd}$ İzotopunun Çokkutuplu Karışım Oranları

Bu verilen enerji düzeyleri arasındaki elektromanyetik geçişlere ait  $\delta(\text{E2/M1})$  ve  $\delta(\text{M2/E1})$  karışım oranları Tablo 3. 8. ve Tablo 3. 9. deki gibidir.

**Tablo 3. 8.  $^{154}\text{Gd}$  İzotopunun  $\delta(\text{E2/M1})$  Karışım Oranları**

Enerji Düzeyi(keV)	Geçiş Enerjisi	Başlangıç Spini	Bitiş Spini	Karışım Oranı $\delta(\text{E2/M1})^{(a)}$
1127.9	1004.8	$3^+$	$2^+$	$-7.1^{+2.6}_{-3.0}$
	756.9	$3^+$	$4^+$	$-5.8^{+1.3}_{-1.8}$
996.3	873.2	$2^+$	$2^+$	$-10.1^{+0.9}_{-1.2}$
815.6	629.4	$2^+$	$2^+$	$-3.1^{+7.5}_{-1.8}$

(a) [AKKAYA ve ark. 1992]

**Tablo 3. 9.  $^{154}\text{Gd}$  İzotopunun  $\delta(\text{M2/E1})$  Karışım Oranları**

Enerji Düzeyi(keV)	Geçiş Enerjisí	Başlangıç Spini	Bitiş Spini	Karışım Oranı $\delta(\text{M2/E1})^{(a)}$
1719.6	1596.5	$2^-$	$2^+$	$0.20 \pm 0.07$
	904.0	$2^-$	$2^+$	$0.18 \pm 0.15$
	591.7	$2^-$	$3^+$	$0.01 \pm 0.07$
1559.7	1128.5	$4^-$	$4^+$	$0.20 \pm 0.20$
1397.5	1274.4	$2^-$	$2^+$	$0.01 \pm 0.01$

(a) [AKKAYA ve ark. 1992]

### 3. 5. $^{156}\text{Gd}$ İzotopu

Bu izotop, deforme bölge içerisinde yer alan rotor bir izoptoptur. Bu izotopun yapısı bir çok araştırmacı tarafından incelenmiştir.

Fujioka (1970), Rud ve ark. (1971), Uluer ve ark. (1975), Krane (1975), Collins ve ark. (1977)  $^{156}\text{Eu}$  ve  $^{156}\text{Tb}$ 'un bozunumunu kullanarak  $^{156}\text{Gd}$ 'un enerji seviyelerini ve yapısını, seviyeler arası geçişlere ait B(E2) geçiş olasılıklarını ve çokkutuplu karışım oranlarını ölçmüştürler. Gupta ve ark. (1977) ile Kumar ve Gupta (1978) tarafından yukarıda sözü edilen özelliklerden bazıları Çiftlenim Kuodropol Model ve Dinamik Deformasyon Teorisi kullanılarak teorik olarak araştırılmıştır. Konijn ve ark. (1981) ile Backlin ve ark. (1982), ( $\alpha$ ,  $2n\gamma$ ) ve ( $n,\gamma$ ) etkileşimlerini kullanarak  $^{156}\text{Gd}$ 'daki seviyelerin yapısını deneyel olaraık incelemiştirler. Lipas ve ark. (1983) Bozon Modelini, El-Din ve ark. (1986) Genişletilmiş Rotasyonel-Vibrasyonel Modelini kullanıp enerji seviyelerini ve bazı elektromanyetik özellikleri incelemiştir. Raman ve ark. (1987) temel durum seviyesinden ilk uyarılmış  $2^+$  seviyesine geçişlerin olasılıklarını araştırarak bu izotopa ait  $\beta_2$  ve  $Q_0$  değerlerini bulmuşlardır. Yine Lipas ve ark. (1987), bu çekirdeğe ait E2/M1 karışım oranlarını, Wolf ve ark. (1991) ise B(E2) değerlerini incelemiştir.

Bu çekirdeğe ait basitleştirilmiş bozunum şeması Şekil 3. 3'te verilmiştir. Bozunum şemasında da görüleceği gibi ilk uyarılmış  $2^+$  durumunun enerjisi çok düşük olduğu için  $^{156}\text{Gd}$  deforme bölgede yer alır.

$^{156}\text{Gd}$  çekirdeğindeki temel hal bandının üyeleri;  $0^+(0 \text{ keV})$ ,  $2^+(89.0 \text{ keV})$ ,  $4^+(282.2 \text{ keV})$ ,  $6^+(584.7 \text{ keV})$ ,  $8^+(965.1 \text{ keV})$  ve  $10^+(1416.0 \text{ keV})$  düzeyleridir. Beta bandının üyeleri ise  $0^+(1049.6 \text{ keV})$ ,  $2^+(1129.5 \text{ keV})$ ,  $4^+(1297.7 \text{ keV})$ ,  $6^+(1540.3 \text{ keV})$ ,  $8^+(1848.2 \text{ keV})$  ve  $10^+(2219.2 \text{ keV})$  düzeyleridir. Gama bandı ise  $2^+(1154.2 \text{ keV})$ ,  $3^+(1248.1 \text{ keV})$ ,  $4^+(1355.5 \text{ keV})$ ,  $5^+(1507.0 \text{ keV})$  düzeyleridir. Daha sonra  $6^+(1643.8 \text{ keV})$  ve  $7^+(1849.6 \text{ keV})$  ve  $8^+(2010.8 \text{ keV})$  düzeylerinin varlığı ileri sürülmüştür [KONIJN ve ark. 1981].  $2\beta$  bandının üyeleri;  $0^+(1295.2 \text{ keV})$ ,  $2^+(1418.4 \text{ keV})$ ,  $4^+(1698.3 \text{ keV})$  düzeyleridir.  $2\gamma$  bandının üyeleri ise;  $0^+(1168.1 \text{ keV})$ ,  $2^+(1258.0 \text{ keV})$ ,  $4^+(1698.3 \text{ keV})$ ,  $6^+(1765.9 \text{ keV})$  ve  $8^+(2134.1 \text{ keV})$  düzeyleridir [KONIJN ve ark. 1981]. Oktupol bandı üyeleri ise  $1^-(1366.6 \text{ keV})$ ,  $2^-(1319.7 \text{ keV})$ ,  $4^-(1468.5 \text{ keV})$ ,  $3^-(1934.0 \text{ keV})$  ve  $4^-(2045.0 \text{ keV})$  dir [COLLINS ve ark. 1977]. Yine bu izotop için  $K^\pi = 4^+$  rotasyonel bandının üyeleri;  $4^+(510.7 \text{ keV})$ ,  $5^+(1622.8 \text{ keV})$ ,  $6^+(1753.8 \text{ keV})$ ,  $7^+(1909.3 \text{ keV})$  ve  $8^+(2079.3 \text{ keV})$  seviyeleri olarak verilmiştir. Bu seviyeler toplu olarak Tablo 3. 7. de verilmiştir.

**Tablo 3. 7.  $^{156}\text{Gd}$ 'nin Enerji Düzeyleri**

Band Yapısı $K^\pi$	Spin Parite $I^\pi$	Deneysel Enerji Düzeyleri (keV)
Temel	$0^+$	0.0
Durum	$2^+$	89.0
Bandı	$4^+$	288.2
$K^\pi = 0^+$	$6^+$	584.7
	$8^+$	965.1
	$10^+$	1416.0
Beta	$0^+$	1049.6
Bandı	$2^+$	1129.5
$K^\pi = 0^+$	$4^+$	1297.7
	$6^+$	1540.3
	$8^+$	1848.0
	$10^+$	2219.2
Gama	$2^+$	1154.2
Bandı	$3^+$	1248.1
$K^\pi = 2^+$	$4^+$	1355.5
	$5^+$	1507.0

**Tablo 3.** 7.'nin devamı.

Band Yapısı $K^\pi$	Spin Parite $I^\pi$	Deneysel Enerji Düzeyleri (keV)
	$6^+$	1643.8
	$7^+$	1849.6
	$8^+$	2010.2
$2\beta$ Bandı $K^\pi = 0^+$	$0^+$	1168.1
	$2^+$	1258.0
	$4^+$	1462.3
	$6^+$	1765.9
	$8^+$	2134.1
Oktupol Bandı $K^\pi = 1^-$	$1^-$	1242.5
	$3^-$	1276.2
	$1^-$	1366.6
	$2^-$	1319.7
	$4^-$	1468.5
	$3^-$	1934.0
	$4^-$	2045.0
Rotasyonel Bandı $K^\pi = 4^+$	$4^+$	1510.7
	$5^+$	1622.8
	$6^+$	1753.8
	$7^+$	1909.3
	$8^+$	2079.3

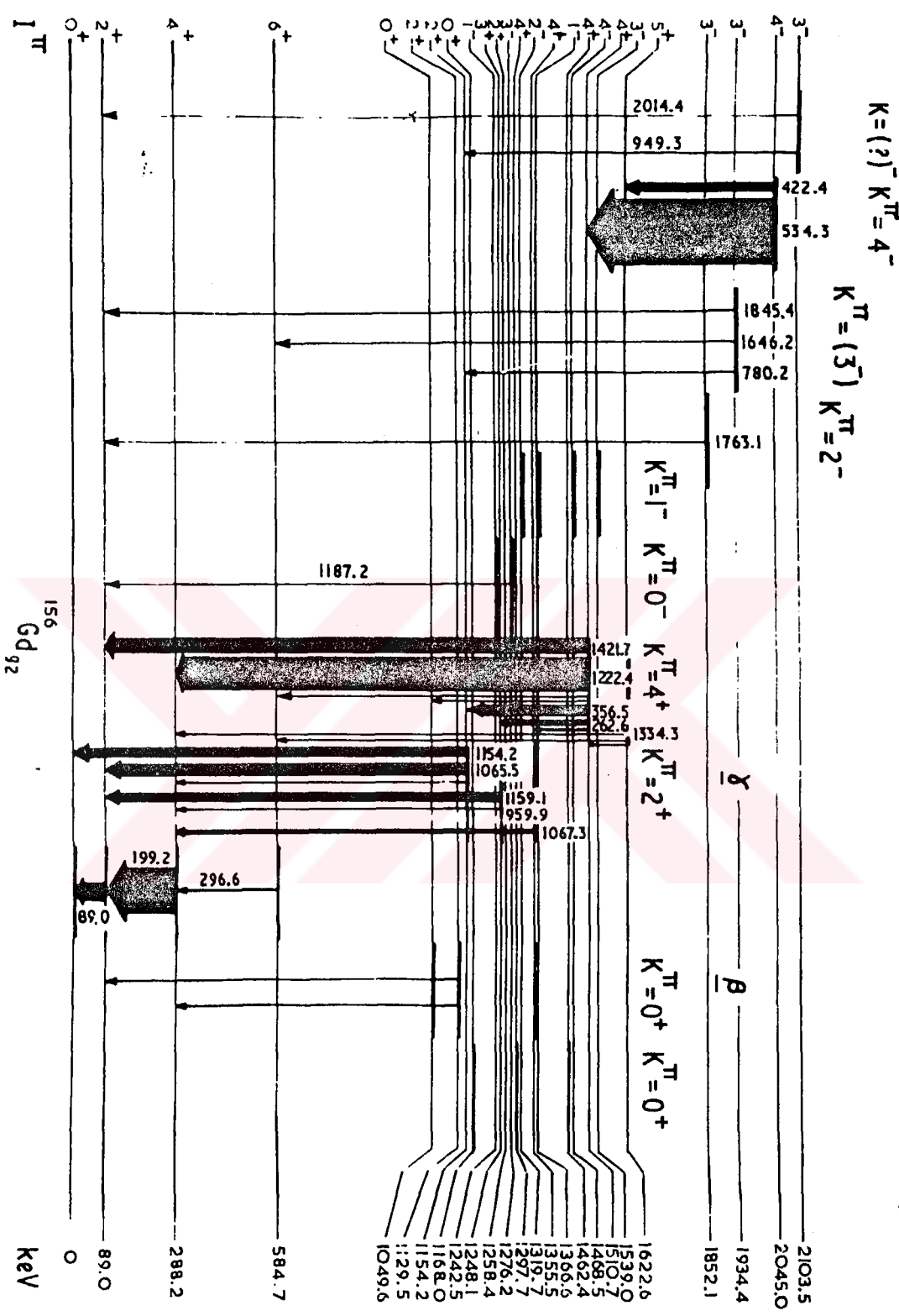
### 3. 5. 1. $^{156}\text{Gd}$ Çekirdeğinin Enerji Düzeyleri ve Geçişlerin Kutupsallığı

89.0 keV düzeyi:  $K^\pi = 0^+$  temel hal bandının bir üyesidir ve Spin-Paritesi  $2^+$  dır. Bu düzeyden  $0^+$  (0 keV) düzeyine kutupsallığı E2 olan  $2^+$  (89.0 keV)  $0^+$  ışını geçiş yapar [GUPTA ve ark. 1977].

288.2 keV düzeyi: Temel düzey bandının üyesidir. Spin-Paritesi  $4^+$  olup bu düzeyden  $2^+$  (89.0 keV) düzeyine  $4^+$  (199.2 keV)  $2^+$  ışını geçiş yapar ve kutupsallığı E2 dır [ULUER ve ark. 1975].

584.7 keV düzeyi: Spin-Paritesi  $6^+$  olarak tesbit edilmiştir. Bu düzeyden  $4^+$  (288.2 keV) düzeyine  $6^+$  (296.6 keV)  $4^+$  geçisi vardır ve kutupsallığı E2 dır [ULUER ve ark. 1975].

965.1 keV düzeyi: Temel düzey bandının üyesidir. Spin-Parite değeri  $8^+$  olup bu düzeyden  $6^+$  (584.7 keV) düzeyine  $8^+$  (380.4 keV)  $6^+$  ışını geçiş



Şekil 3. 4.  $^{156}\text{Gd}$  izotopunun Uyarılmış Seviyelerinin Basitleştirilmiş Bozunum Şeması

yapar ve bunun kutupsallığı E2 dir [KONIJN ve ark. 1981][LEDERER-SHIRLEY 1978].

1049.6 keV düzeyi: Beta bandının ilk üyesidir, Spin-Paritesi  $0^+$  olarak tayin edilmiştir.  $0^+$  (0 keV) taban düzeyine kutupsallığı E0 olan  $0^+$  (1049.6 keV)  $0^+$  ışını geçer [LEDERER-SHIRLEY 1978].

1129.5 keV düzeyi:  $K^\pi = 0^+$  beta bandının bir üyesidir. Uluer ve ark. (1975) düzeyin Spin-Paritesini  $2^+$  olarak tayin etmişlerdir. Bu enerji düzeyinden  $2^+$  (89.0 keV) düzeyine kutupsallığı E2+M1 olan  $2^+$  (1040.6 keV)  $2^+$  ışını ve  $4^+$  (288.2 keV) düzeyine de kutupsallığı E2 olan  $2^+$  (841.2 keV)  $4^+$  ışını geçiş yapar.

1154.2 keV düzeyi:  $K^\pi = 2^+$  gama bandının ilk üyesidir, Uluer ve ark. tarafından Spin-Parite değeri  $2^+$  olarak tesbit edilmiştir. Bu düzeyden  $0^+$  (0 keV) temel hal düzeyine kutupsallığı E2 olan  $2^+$  (1154.2 keV)  $0^+$  ışını ve  $2^+$  (89.0 keV) düzeyine de kutupsallığı E2+M1 olan  $2^+$  (1065.3 keV)  $2^+$  ışını geçiş yapar.

1242.5 keV düzeyi: Oktupol bandının bir üyesidir ve Spin-Paritesi  $1^-$  olarak tayin edilmiştir [ULUER ve ark. 1975]. Bu enerji düzeyinden  $0^+$  (0 keV) taban düzeyine  $1^-$  (1242.5 keV)  $0^+$  ışını ve  $2^+$  (89.0 keV) enerji düzeyine de  $1^-$  (1153.5 keV)  $2^+$  ışını geçiş yapar.

1248.1 keV düzeyi:  $K^\pi = 2^+$  gama bandının bir üyesidir, Uluer ve ark. tarafından Spin-Parite değeri  $3^+$  olarak tesbit edilmiştir. Bu düzeyden  $2^+$  (89.0 keV) I düzeyine kutupsallığı E2+M1 olan şiddetli bir  $3^+$  (1159.1 keV)  $2^+$  ışını ve  $4^+$  (288.2 keV) düzeyine de daha az şiddetle  $3^+$  (959.9 keV)  $4^+$  ışını geçiş yapar

1258.0 keV düzeyi:  $K^\pi = 0^+$   $2\gamma$  bandının bir üyesidir, Spin-Parite değeri  $2^+$  olarak tesbit edilmiştir. Bu düzeyden  $0^+$  (0 keV) temel hal düzeyine kutupsallığı E2 olan  $2^+$  (1258.0 keV)  $0^+$  ışını ve  $2^+$  (89.0 keV) düzeyine de kutupsallığı E2+M1 olan  $2^+$  (1169.5 keV)  $2^+$  ışını geçiş yapar. Ayrıca  $4^+$  (288.2 keV) düzeyine de  $2^+$  (969.9 keV)  $4^+$  geçisi vardır.

1276.2 keV düzeyi: Oktupol bandının üyesidir, Spin-Paritesi  $3^-$  dir. Bu düzeyden  $2^+$  (89.0 keV) düzeyine ve  $4^+$  (288.5 keV)  $0^+$  ışını ve  $2^+$  (89.0 keV) enerji düzeyine ve  $4^+$  (288.2 keV) düzeyine kutupsallıkları E1 olan  $3^-$  (1187.2 keV)  $2^+$  ışını ve  $3^-$  (988.1 keV)  $4^+$  ışını geçiş yapar.

1297.7 keV düzeyi:  $K^\pi = 0^+$  beta bandının bir üyesidir, Uluer ve ark. tarafından Spin-Parite değeri  $4^+$  olarak tespit edilmiştir. Bu düzeyden  $2^+$  (89.0 keV) düzeyine  $4^+$  (1208.7 keV)  $2^+$  ve  $4^+$  (288.2 keV) düzeyine kutupsallığı E2+M1 olan  $4^+$  (1009.6 keV)  $4^+$  ışını geçiş yapar.

1319.7 keV düzeyi: Spin paritesi  $2^-$  olan bu düzey bir Oktupol bandı üyesidir. Bu düzeyden  $2^+$ (89.0 keV) düzeyine kutupsallığı E1 olan tek bir  $2^-$  (1230.7 keV)  $2^+$  geçisi vardır [KONIJN ve ark. 1981].

1355.5 keV düzeyi:  $K^\pi = 2^+$  gama bandının üyesidir. Spin parite değeri Uluer ve ark. tarafından  $4^+$  olarak bulunmuştur. Bu düzeyden  $2^+$ (89.0 keV) düzeyine  $4^+$ (288.2 keV) düzeyine sırasıyla  $4^+$ (1266.6 keV)  $2^+$  ve  $4^+$ (1067.3 keV)  $2^+$  ışınları geçiş yaparlar. Son geçişte kutupsallık E2+M1 şeklindedir.

1366.6 keV düzeyi:  $1^-$  spin parite değerli ve oktupol bandı üyesi olan bu düzeyden sadece  $0^+$ (0 keV) düzeyine kutupsallığı E1 olan  $1^-$ (1366.6 keV)  $0^+$  geçisi ve  $2^+$  (89.0 keV) düzeyine de kutupsallığı E1 olan  $1^-$ (1277 keV)  $2^+$  geçişleri vardır [KONIJN ve ark. 1981].

1462.3 keV düzeyi:  $K^\pi = 0^+$   $2\gamma$  bandının bir üyesidir. Konijn ve ark. tarafından spin parite değerini  $4^+$  olarak tespit edilmiştir. Bu seviyeden E2+M1+E0 kutupsallıklı  $4^+$ (288.2 keV) seviyesine,  $4^+$ (1174.2 keV)  $4^+$  ışını ve  $2^+$ (89.0 keV) seviyesine de kutupsallığı E2 olan  $4^+$ (1374.0 keV) $2^+$  ışını geçiş yapmaktadır.

1468.5 keV düzeyi: Oktupol bandının üyesi ve  $4^-$  spin parite değerlidir. Bu düzeyden yalnızca  $4^+$ (299.2 keV) düzeyine kutupsallığı E1 olan  $4^-$ (1180.3 keV)  $4^+$  geçisi olur.

1510.7 keV düzeyi:  $K^\pi = 4^+$  rotasyonel bandının ilk üyesidir.Uluer ve ark. (1975) ve Konijn ve ark. (1981) tarafından spin parite değeri  $4^+$  olarak tespit edilmiştir. Bu enerji düzeyinden  $2^+$ (89.0 keV),  $6^+$ (584.7 keV),  $2^+$ (1129.5 keV),  $2^+$ (1154.2 keV) düzeylerine kutupsallıkları E2 olan enerjileri sırasıyla 1421.7 keV, 926.0 keV, 381.1 keV ve 356.5 keV olan geçişler olur. Ayrıca  $4^+$ (288.2 keV) düzeyine kutupsallığı E2+M1 olan  $4^+$ (1222.4 keV) $4^+$  ışını geçiş yapar.

1540.3 keV düzeyi: Beta bandının üyesi ve spin parite değeri  $3^-$  dir. Bu düzeyden  $2^+$ (89.0 keV) düzeyine  $3^-$ (1450.7 keV) $2^+$  geçisi olur [KONIJN ve ark. 1981].

### 3. 5. 2. $^{156}\text{Gd}$ İzotopunun Çokkutuplu Karışım Oranları

Bu verilen enerji düzeyleri arasındaki elektromanyetik geçişlere ait  $\delta(\text{E}2/\text{M}1)$  ve  $\delta(\text{M}2/\text{E}1)$  karışım oranları Tablo 3. 10. ve Tablo 3. 11. deki gibidir.

**Tablo 3. 8.  $^{156}\text{Gd}$  İzotopunun  $\delta(\text{E}2/\text{M}1)$  Karışım Oranları**

Enerji Düzeyi(keV)	Geçiş Enerjisi	Başlangıç Spinİ	Bitiş Spinİ	Karışım Oranı $\delta(\text{E}2/\text{M}1)^{(a)}$
1154.2	1065.5	2 <sup>+</sup>	2 <sup>+</sup>	-6.5 <sup>+2.6</sup> <sub>-7.9</sub>
1248.4	959.9	3 <sup>+</sup>	4 <sup>+</sup>	-11.7 <sup>+2.7</sup> <sub>-5.3</sub>
	1159.1	3 <sup>+</sup>	2 <sup>+</sup>	-11.8 <sup>+0.6</sup> <sub>-0.7</sub>
1355.5	1067.3	4 <sup>+</sup>	4 <sup>+</sup>	-4.0 <sup>+0.9</sup> <sub>-1.6</sub>
1510.7	262.6	4 <sup>+</sup>	3 <sup>+</sup>	9.2 <sup>+0.7</sup> <sub>-0.6</sub>
	1222.4	4 <sup>+</sup>	4 <sup>+</sup>	-2.07 <sup>+0.13</sup> <sub>-0.14</sub>
1622.6	111.9	5 <sup>+</sup>	4 <sup>+</sup>	0.15 <sup>+0.10</sup> <sub>-0.09</sub>
	1037.9	5 <sup>+</sup>	6 <sup>+</sup>	-6.7 <sup>+3</sup> <sub>-21</sub>
	1334.5	5 <sup>+</sup>	4 <sup>+</sup>	-3.8(2)

(a) [ULUER ve ark. 1975]

**Tablo 3. 9.  $^{156}\text{Gd}$  İzotopunun  $\delta(\text{M}2/\text{E}1)$  Karışım Oranları**

Enerji Düzeyi(keV)	Geçiş Enerjisi	Başlangıç Spinİ	Bitiş Spinİ	Karışım Oranı $\delta(\text{M}2/\text{E}1)^{(a)}$
1276.2	1187.2	3 <sup>-</sup>	2 <sup>+</sup>	-0.08 (3)
1852.1	1763.1	3 <sup>-</sup>	2 <sup>+</sup>	0.16 <sup>+0.33</sup> <sub>-0.22</sub>
1934.4	780.2	3 <sup>-</sup>	2 <sup>+</sup>	-0.024(8)
	1646.2	3 <sup>-</sup>	4 <sup>+</sup>	0.012(4)
	1845.4	3 <sup>-</sup>	2 <sup>+</sup>	-0.030(5)
2045.0	422.4	4 <sup>-</sup>	5 <sup>+</sup>	-0.009(4)
	534.3	4 <sup>-</sup>	4 <sup>-</sup>	0.06(2)
2103.5	949.3	3 <sup>-</sup>	2 <sup>+</sup>	-0.025(12)
	2014.4	3 <sup>-</sup>	2 <sup>+</sup>	-0.013(7)

(a) [ULUER ve ark. 1975]

## BÖLÜM 4

### TARTIŞMA VE SONUÇLAR

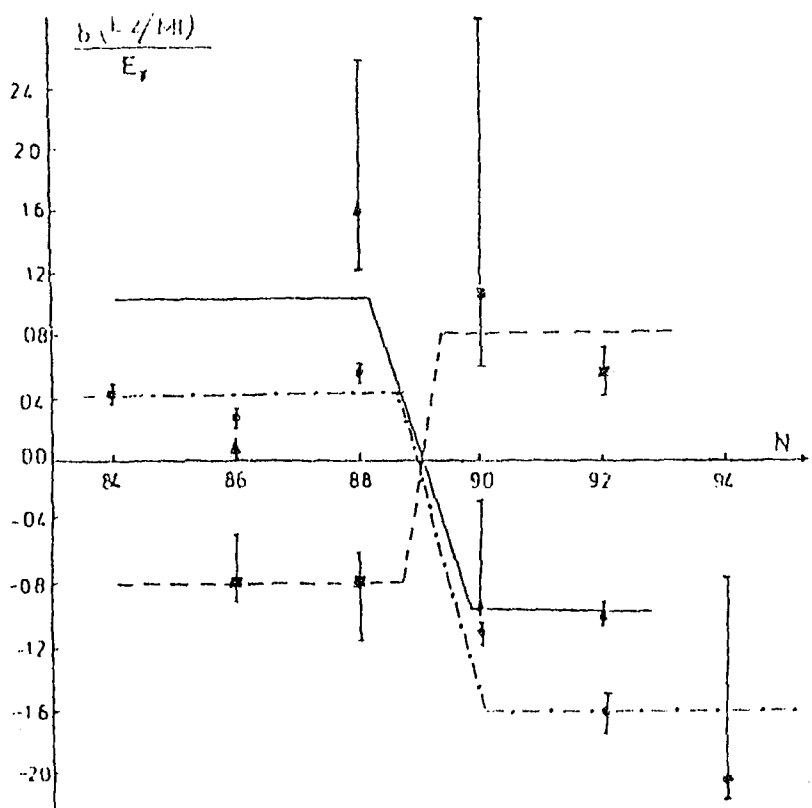
#### 4. 1. Giriş

Deforme bölge girişindeki Gadoliniyum izotoplara ait bazı özelliklerde gözlenebilir bazı değişimler meydana gelir. Geçiş bölgesindeki bu izotoplarda, deformasyonun çokkutuplu karışım oranı üzerinde etkili olduğu görülmüştür. Bu bölümde Gd izotoplarnın çokkutuplu karışım oranlarından yararlanılarak indirgenmiş karışım oranları hesaplandı. Hesaplanan bu değerler ve teorik hesaplamalar bir tabloda verilip uyumlulukları incelenmiştir.

Her bir geçiş için, nötron sayısına bağlı olarak indirgenmiş geçiş olasılıklarının ( $\delta/E_\gamma$ ) değerlerinin değişimi, işaretide dikkate alınarak Şekil 4. 1. de verilmiştir. Şekilden görüleceği gibi, her bir durum için  $N = 88-90$  sını�ında çokkutuplu karışım oranları işaret değiştirir. ( $2_\gamma^+ \rightarrow 2_{gr}^+$ ) ve ( $3_\gamma^+ \rightarrow 2_{gr}^+$ ) geçişlerinde pozitiften negatife ve ( $2_\beta^+ \rightarrow 2_{gr}^+$ ) geçişinde ise negatiften pozitife değişir. ( $2_\beta^+ \rightarrow 2_{gr}^+$ ) geçişinin işaretini diğer geçişlerin sistematigi ile farklılık göstermektedir.

#### 4. 2. Bazı Gd Izotoplara Ait Çokkutuplu Karışım Oranları

Tablo 4. 1. de görüldüğü gibi 880.3 keV için yapılan hesaplamada oldukça başarılı bir sonuç elde edilmiştir. Bunun yanı sıra 525 keV geçisi, 437.1 keV geçisi, 573.4 keV geçisleri için elde edilen sonuçlar hata sınırları içerisinde deneyel sonuçlarla uyuşmaktadır. 950 keV ve 1075.3 keV geçisleri için ise teorik hesaplama yapılmamıştır.



**Şekil 4.** 1. Deforme Bölge Girişinde Gd İzotoplarının, Farklı Geçiş Tipleri İçin İndirgenmiş Karışım Oranlarının (N) Nötron Sayısına Bağlı İşaret Değişimi. ( $\bullet$ )  $2_{\gamma}^{+} \rightarrow 2_{\text{gr}}^{+}$ , ( $\blacksquare$ )  $2_{\beta}^{+} \rightarrow 2_{\text{gr}}^{+}$ , ( $\blacklozenge$ )  $3_{\gamma}^{+} \rightarrow 2_{\text{gr}}^{+}$  Durumunu Gösterir.

**Tablo 4.** 1.  $^{150}\text{Gd}$  İçin Elde Edilen Teorik Ve Deneysel  $\Delta(\text{E2/M1})$  İndirgenmiş Karışım Oranları

$I^{\pi}(\text{Geç. En.})I'^{\pi'}$	Deneysel	Teorik
$2^{+} (792.5) 2^{+}$	$3.42 \pm 1.19$	$9.47 \pm 0.8$
$2^{+} (880.3) 2^{+}$	$12.72^{+5.45}_{-1.81}$	$11.16 \pm 2.96$
$4^{+} (411.7) 4^{+}$	$-0.40 \pm 0.26$	$3.05 \pm 0.81$
$2^{+} (525) 2^{+}$	$0.44^{+0.6}_{-0.35}$	$1.19 \pm 0.23$
$2^{+} (437.1) 2^{+}$	$-0.77 \leq \Delta \leq \infty$	$1 \pm 0.18$
$2^{-} (950) 3^{-}$	$0.99^{+0.49}_{-0.24}$	-
$2^{+} (573.4) 2^{+}$	$0.82 \leq \Delta \leq 2.75$	$1.4 \pm 0.27$
$2^{+} (1453.6) 2^{+}$	$-0.60 \pm 0.12$	$0.35 \pm 0.07$
$2^{+} (1542) 2^{+}$	$-1.3 \leq \Delta \leq -28.7$	$3.94 \pm 0.73$
$3^{-} (1075.3) 3^{-}$	$\Delta \leq 0.66$	-
$2^{+} (1788.1) 2^{+}$	$0.11 \leq \Delta \leq 2.90$	$5.08 \pm 0.95$
$2^{+} (1168.7) 2^{+}$	$\Delta \leq 6.11$	$3.66 \pm 0.7$
$2^{+} (2148.7) 2^{+}$	$7 \pm 1.33$	$7 \pm 1.33$

$^{152}\text{Gd}$  içinde inceleme yapıldığında teorik ve deneysel sonuçların hata sınırları içerisinde birbirini tuttuğu gözlenmiştir. Bu izotop içinde 678.6 keV geçisi için teorik hesaplamanın yapılmadığı gözlenmiştir.

**Tablo 4. 2.**  $^{152}\text{Gd}$  İçin Elde Edilen Teorik Ve Deneysel  $\Delta(\text{E2/M1})$  İndirgenmiş Karışım Oranları

$I^\pi(\text{Geç.En.})I'^\pi'$	$\Delta(\text{E2/M1})$	
	Deneysel	Teorik
2 (586.3) 2 <sup>+</sup>	5.12 <sup>+2.34</sup> -2.78 -38.81 <sup>+15.6</sup> -72.4	6.01±2.34
3 (678.6) 4 <sup>+</sup>	-	-
3 (1089.9) 2 <sup>+</sup>	31.43 <sup>+18.3</sup> -8.5	16.12±6.04

$^{154}\text{Gd}$  izotopunun indirgenmiş karışım oranlarının da yine hata sınırları içerisinde gayet uyumlu sonuçlar verdiği Tablo 4. 1. de görülmektedir.

**Tablo 4. 3.**  $^{154}\text{Gd}$  İçin Elde Edilen Teorik Ve Deneysel  $\Delta(\text{E2/M1})$  İndirgenmiş Karışım Oranları

$I^\pi(\text{Geç.En.})I'^\pi'$	$\Delta(\text{E2/M1})$	
	Deneysel	Teorik
3 <sup>+</sup> (1004.8) 2 <sup>+</sup>	9.59 <sup>+3.51</sup> -4.05	14.25±3.68
3 <sup>+</sup> (756.9) 4 <sup>+</sup>	7.83 <sup>+1.75</sup> -2.43	7.83±2.02
2 <sup>+</sup> (873.2) 2 <sup>+</sup>	12.0 <sup>+0.1</sup> -1.43	11.69±2.68
2 <sup>+</sup> (629.4) 2 <sup>+</sup>	3.02 <sup>+7.32</sup> -1.75	6.61±1.7

$^{156}\text{Gd}$  izotopunun indirgenmiş geçiş olasılıkları Tablo 4. 4. de verilmiştir. Bu tabloyu da incelediğimizde sonuçların verilen hata sınırları içerisinde uyumlu oldukları görülmektedir.

**Tablo 4. 4.**  $^{156}\text{Gd}$  İçin Elde Edilen Teorik Ve Deneysel  $\Delta(\text{E2/M1})$  İndirgenmiş Karışım Oranları

$I^\pi(\text{Geç.En.})I'^\pi'$	$\Delta(\text{E2/M1})$ Deneysel	Teorik
$0^+_2(1065.5) 2^+$	$8.98^{+3.59}_{-10.92}$	$16.02 \pm 0.81$
$2^+(959.9) 2^+$	$17.49^{+4.03}_{-7.92}$	$10.67 \pm 0.55$
$4^+(1159.1) 4^+$	$17.6^{+0.89}_{-1.04}$	$17.64 \pm 0.89$
$2^+(1067.3) 2^+$	$6.49^{+1.46}_{-2.59}$	$9.85 \pm 0.5$
$2^+(262.6) 2^+$	$16.64^{+1.26}_{-1.08}$	-
$2^-(1222.4) 3^-$	$3.74^{+0.23}_{-0.25}$	$12.57 \pm 0.65$
$2^+(111.9) 2^+$	$0.29^{+0.19}_{-0.17}$	-
$2^+(1037.9) 2^+$	$13.02^{+83}_{-40.81}$	$9.81 \pm 0.48$
$2^+(1334.5) 2^+$	$7.38 \pm 3.88$	$15.23 \pm 0.77$

Lipas ve ark. (1983)  $^{152-154-156}\text{Gd}$  izotopları için indirgenmiş  $\Delta(\text{E2/M1})$  karışım oranlarını hesaplamışlardır. Bu çalışmada verilen teorik değerler ve deneysel veriler Lipas'ın değerleri ile oldukça iyi bir uyum sağlamaktadır. Aynı pariteli seviyeleri birleştiren geçişlerin genelde E2 ve aksi pariteleri birleştiren geçişlerin genelde E1 karakterinde olduğu bu tablolarda rahatlıkla görülmektedir. Bu beta ve gama bandlarını birleştiren geçişleri de kapsar ve böylece beta ve gama bandlarının perturbe temel seviyenin kuadropol uyarılmaları oldukları şeklindeki fikri destekler. Ancak %10 veya biraz daha fazla oranda M1 varlığı, beta ve gama bandlarının temel durum bandının saf kuadropol uyarılmalarından ibaret olmayacağına işaret eder.

Deneysel sonuçların pek çoğu yüksek ayırım gücüne sahip katıhal dedektörleri veya konvansiyonel spektrometrelerle yapılmıştır. Bütün bu imkanlara rağmen mevcut belirsizlik daha güçlü deneysel sistemlerin aranmasını gerektirir. Bunların yanı sıra önemli diğer bir konuda bazı çekirdeklerin beta ve gama bandlarının bozunma yarı ömrlerinin çok kısa oluşudur. Bazen, bunların yarı ömrlerinin birkaç dakika oluşу özel veri toplama ve deneysel standın kurulmasını gerektirir. Ek durumlar Coulomb

uyarılmalarını takip eden açısal dağılımlar veya bazı nükleer reaksiyonlarla nötron yakalanmasının ardından gama ışınlarının açısal korelasyonlarının takip edilmesi ile bulunabilir. Bu sırada yapılabilecek en önemli bir düzeltme bozunumun incelenmesi esnasında geçen zaman üzerinde hesaplamalarda integral metodu ile yapılabilecek bir düzeltme olmalıdır. Bazı deneyciler bunu yapmamakta ve hatanın artışına sebebiyet vermektedirler. Elektronik sistemin ayarı ile buna benzer bir düzeltme yapılabılır.

#### **4. 3. Bazı Gd Çekirdeklerinde Uyarma Enerjileri**

Deformasyonun, çekirdeklerin uyarılma enerjileri üzerindeki etkisi büyüktür. Deforme çekirdekler bölgesine girildiğinde,  $E_2^+$  enerjisi hızla azalarak küçük değerlere iner. Eğer  $E_2^+$  enerjisi,  $E_{2\gamma}^+$  ve  $E_{0\beta}^+$  değerlerinden çok aşağıda ise bu çekirdekler iyi bir rotor olabilir. Deforme çekirdeğe giderken  $E_{2\gamma}^+ / E_2^+$  ve  $E_{0\beta}^+ / E_2^+$  oranları, bazı yerlerde çok hızlı artar ve aynı noktalarda  $E_2^+$ kararlı olmaya başlar, yada daha yavaş azalır. Bu nokta genellikle, deformе bölgeye giriş sınırı olarak kabul edilir. Burada iyi bir rotor için  $E_4^+ / E_2^+$  oranı 3 civarındadır.

1. Sihirli sayıda nötrona sahip  $^{146}\text{Gd}$  çekirdeği, çok yüksek bir  $E_2^+$  ve  $E_4^+$  değerlerine sahiptir. Deforme bölgeye doğru bu değerler hızla azalarak  $N=88-90$  sınırında en düşük değere varmakta, bundan sonraki küçük azalmalar dikkate alınmadığı takdirde, kararlı kalmaktadır.
2. Küresel simetrik değerlere sahip  $E_{2\gamma}^+$  gama ve  $E_{0\beta}^+$  beta band başı enerjileri ve  $E_{2\beta}^+$  enerjileri,  $N=88-90$  sınırında hızla düşerek enküçük değerlerini almaktır ve giriş bölgesinde bir miktar yükselmektedir.
3.  $E_4^+ / E_2^+$  değeri, sihirli  $^{146}\text{Gd}$  çekirdeği ve komşu çekirdekler için küçük değerlere sahipken, geçiş sınırları da hızla artarak 3 civarında bir değere ulaşmaktadır.

Deforme giriş bölgesindeki Gadoliniyum çekirdekleri için bu değer 3.33 değerine ulaşmaktadır ki, bu değer ideal rotor değeri olarak kabul edilir.

Küresel yapıdan deforme yapıya geçerken  $E_{2\gamma}^+$  /  $E_2^+$  ve  $E_{0\beta}^+ / E_2^+$  değerleri de,  $N=88-90$  sınırında hızla artmakta ve  $N=94$  çekirdeği için en büyük değerini alırken, aynı noktalarda  $E_2^+$  kararlı olmaya başlamakta ve bu noktadan sonra daha yavaş azalmaktadır. Bu nokta genellikle deformе geçiş bölgesi sınırı olarak kabul edilir. Gadolinium izotoplari için bu sınır  $N=88-90$  arasındadır. Bu sınır altında yer alan Gadolinium izotoplari için  $E_4^+ / E_2^+$  değeri daima 3 ten küçüktür. Bu nedenle çift-çift Gadolinium izotoplari için  $N=88-90$  sınırının altında rotor görülmez. Bunun neticesi olarak bu çekirdekler gama kararsızlığına yakındırlar. Ideal bir gama kararsızlığı için  $E_4^+ / E_2^+ = 2.5$  civarında kabul edilir.

Geçiş bölgesinde, deformasyon enerjisi ve Prolate-Oblate enerji farkı değerleri de  $N=86$  çekirdeği için küçük bir değere sahipken, deformе bölgede hızla artar ve  $^{160}\text{Gd}$  çekirdeği için en yüksek değerine ulaşır.

## KAYNAKLAR

AKKAYA, R., ÇİFTÇİ, M., ULUER, İ., KÜÇÜKBURSA, A., MARAŞ, İ. And ORAK, S., (1992), "Multipole Admixtures of Electromagnetic Transitions in the Decay of  $^{154}\text{Eu}$ ", *I Nuovo Cimento*, 105 A, 3, 435 – 437.

ARIMA, A., and IACHELLO, F., (1975), "Collective Nuclear States as Representations of a SU(6) Group", *Phys. Rev. Lett.* 35, 16, 1069 – 1072.

ARIMA, A., and IACHELLO, F., (1976), "Interacting Boson Model of Collective States (The Vibrational Limit)", *Ann. Phys.* 99, 253 – 317.

ARIMA, A., and IACHELLO, F., (1977), "Interacting Boson Model", *Advances in Nuclear Physics*, Edited by NEGELE, J. W., VOGT, E., Plenum Press, Vol. 13, Chapter 2, 139 – 200.

ARIMA, A., and IACHELLO, F., (1978), "Interacting Boson Model of Collective Nuclear States (The Rotational Limit)", *Ann. Phys.* 111, 201 – 238.

ARIMA, A., and IACHELLO, F., (1979), "Interacting Boson Model of Collective Nuclear States (The O(6) Limit)", *Ann. Phys.* 123, 468 – 492.

ATAM, P. A., (1970), Fundamentals of Nuclear Physics, C, Copyright 1966 by Allyn an Bacon Inc. 470, Atlantic Avenue Boston, 1 – 470.

BACKLIN, A., HEDIN, G., FOGELBERG, B., SARACENO, M., GREENWOOD, R. C., REICH, C. W. KOCH, H. R., BAADER, H. A., BREITIG, H. D., SCHULT, O. W. B., SCHRECKENBACH, K., VON EGIDY, T., MAMPE, W., (1982), "Levels in  $^{156}\text{Gd}$  Studied in the (n,o)reaction", *Nucl. Phys.* A380, 189-260.

BLANCHARD, W. J. And ZGANJAR, E.F. (1972), "The 123 keV K, L and M Shell Particle Parameters in  $^{154}\text{Gd}$ ", *Nucl. Phys.* A185, 196 – 208.

CASTANOS, O., FEDERMAN, P., FRANK, A. And PITTEL, S., (1982), "Study of the Effective Hamiltonian Interacting Boson Approximation", *Nucl. Phys.* A379, 61 – 76.

CHUU, D.S., HAN, C.S., HSIEH, S.T., KING YEN, M.M., (1984), "Structures of N=88 and N=90 Isotones in the Interacting Boson Approximation", *Phys. Rev.* C30, 4, 1300 – 1309.

COLLINS, W.E., HAMILTON, J.H., LANGE, J., PINAJIAN, J.J., (1977), "Properties of the Second  $K^{\pi} = 0^+$  Band in  $^{156}\text{Gd}$ ", Phys. Rev. C16, 5, 2019 – 2026.

COOK, C.S., Structure of Atomic Nuclei, D. Van Nostrand Company, INC., Princeton, 94 – 137.

EJIRI, H. And DE VOIGT, M.J.A., (1989), Gamma – Ray and Electron Spectroscopy in Nuclear Physics, Clarendon Press, Oxford, 1 – 112.

EL – DIN, M.S.M., MARUHN, J.A. and GRAINER, W., (1986), "The Energy Levels and Electromagnetic Properties of some Gd – Isotopes in an Extended Rotation – Vibration Model", Z. Phys. A325, 415 – 420.

ELLIOT, J.P., (1985), "The Interacting Boson Model of Nuclear Structure", Rep. Prog. Phys. 48, 171 – 221.

FUJIOKA, M., (1970), "Excited States of  $^{156}\text{Gd}$  Studied by the Conversion Electron Spectra of 5.4 d  $^{156}\text{Tb}$ ", Nucl. Phys. A153, 337 – 382.

FRIEDRICH, H., HAGER, D., Von BRENTANO, P., HEIL, R. D., HERZBERG, R. D., KNEISSL, U., MARGRAF, J., MÜLLER, G., PITZ, H. H., SCHLITT, B., SCHUMACHER, M., WESSELBORG, C., ZILGES, A., (1994), "Low-Lying E1 and M1 Strengths in the Deformed Nucleus  $^{160}\text{Gd}$ ".

GIRIT, C., HAMILTON, W. D., and KALFAS, C. A., (1983), Multipole Mixing Ratios of Transitions in  $^{154}\text{Gd}$ ", J. Phys. G: Nucl. Phys. 9, 797-821.

GÖTZ, U., PAULI, H. C., ALDER, K. and JUNKER, K., (1972), "Ground States Deformation in the Rare-Earth Nuclei", Nucl. Phys. A192, 1-38.

GRAINER, W., (1966), "Magnetic Properties of Even Nuclei", Nucl. Phys. 80, 417-433.

GUPTA, K. K., BHARDWAJ, S. K., and GUPTA, G. K., (1980), "B(E2) Values of Gamma- Ray Cascades and Empirical Relation", J. Phys. Soc. Japan, 49, 1, 4-7.

GUPTA, J. B., KUMAR, K., HAMILTON, J. H., (1977), "Pairing-Plus-Quadropole Model Calculations for  $^{154,156}\text{Gd}$ ", Phys. Rev. C16, 1, 427-437.

Ya GRAMOV, K., USMANOV, P. N., KHOLMATOV, A., BUTABAEV, S., NIYAZOV, R. A., (1993), "Nonadiabaticities of Monopole and Quadrupole Transitions in  $^{156}\text{Gd}$ ", American Institute of Physics, 56, 1635-1641.

HAENNI, D. R., and SUGIHARA, T. T., (1977), "Vibrational Levels in the 86 Neutron Nucleus  $^{150}\text{Gd}$ ", Phys. Rev. C16, 1129-1145.

HAMILTON, W. D., FOX, R. A., WARNER D. D., FINGER, M., KRACIKOVA, T. I., PAVLOV, V. N., and SCHUS, A. F., (1978), "Nuclear Orientations Studies of the N=86 Nucleus  $^{150}\text{Gd}$ ", J. Phys. G: Nucl. Phys. 4, 12, 1871-1885.

HARMHATZ, B., (1979), Nuclear Data Sheets 26, 281-384.

IACHELLO, F., (1979), Group Theory and Nuclear Spectroscopy, Lecture Notes in Physics, Nuclear Spectroscopy, Michigan, Chapter 5, 140-179.

IACHELLO, F., TALMI, I., (1987), "Shell Model Foundations of the Interacting Bozon Model", Rev. of Modern Phys. 59, 2, 339-361.

KONIJN, J., DE BOER, F. W. N., VAN POELGFEST, L. A., HESSELINK, W. H. A., DE VOIGT, M. J. A., and VERHEUL, H., (1981), "The Levels Structure of  $^{156}\text{Gd}$  Studied by Means of the ( $\alpha$ , 2ny) Reactions", Nucl. Phys. A352, 191-220.

KRANE, K. S., (1975), "E2, M1 Multipole Mixing Ratios in Even-Even Nuclei", Atomic Data and Nucl. Data Tables 16, 383-408.

KUMAR, K. and GUPTA, J. B., (1978), "Dynamic Deformations Theory of the B(E2) Values and the Quadrupole Shape Characteristics of Even Gadolinium Nuclei", Nucl. Phys. A304, 295-306.

KUMAR, K. and GUPTA, J. B., (1984), "Nuclear Structure of the N=88 Transitional Nucleus in the Pairing-Plus-Quadrupole Model", J. Phys. G:Nucl. Phys. 10, 525-537.

LANGE, J., (1971), "in Proceedings of the International Conference on Angular Correlations in Nuclear Disintegration", Ed. by Van KRUGTEN, H. And Van HOOIJEN, B., Rotterdam Univ. Press, Groningen, 242-245.

LEDERER, C. M., and SHIRLEY V. S., (1978), Table of Isotopes, Wiley Press, New York, 828-975.

LIPAS, P. O., KUMPULAINEN, J., HAMMAREN, E., HONKORANTA, T., FINGER, M., KRACIKOVA, T. I., PROCHAZKA, I., and FERENCEI, J., (1983), "Study of Even Gd Nuclei by Decay of Oriented Tb, With Analysis by Simple Boson Model", Physica Scripta 27, 8-22.

LIPAS, P. O., HAMMAREN, E., and TOIVONEN, P., (1984) "IBA-I Calculations of E2/M1 Mixing Ratios in  $^{154}\text{Gd}$ ", Phys. Lett. 139B, 1, 2, 10-14.

LIPAS, P. O., TOIVONEN, P. and HAMMAREN, E., (1987), "IBA-I Calculations of E2/M1 Mixing Ratios", Nucl. Phys. A469, 348-368.

MATEOISAN, E. D., (1986), Nuclear Data Sheets, 48, 345-464

MEYER, R. A., (1968), "Transitional Nuclei I. Decay of  $^{154}\text{Eu}$  to Levels of  $^{154}\text{Sm}$  and  $^{154}\text{Gd}$ ", Phys. Rev. 170, 4, 1089-1107.

OBER, D. R., WEEBER, W., and PLACE, R. L., (1973), "Multipole Mixing Ratios for Selected Transitions in  $^{154}\text{Gd}$ ", Phys. Rev. C7, 2, 738-741.

PAUL, E. B., (1969), Nuclear and Particle Physics, Nort-Holland Publishing Company, Amsterdam, 289-313.

RAGNARSSON, I., SOBICZEWSKI, A. SHELLINE, R. K., LARSSON, S. E., NERLO-POMORSKA, B., (1974), "Comparison of Potential Energy Surfaces and Moments of Inertia with Experimental Spectroscopic Trends for Non-Spherical Z=50-82 Nuclei", Nucl. Phys. A233, 329-356.

RAMAN, S., MALARKEY, C. H., MILNER, W. T., NESTOR, C. W., and STELSON, P. H., (1987), "Transition Probability, B(E2), from the Ground to the First-Excited  $2^+$  State of Even-Even Nuclides", Atomic Data and Nuclear Data Tables, 36, 1-96.

RIEDINGER, L. L., JOHNSON, N. R., and HAMILTON, J. H., (1969), " $\beta^-$  and  $\gamma$ -Vibrational Bands of  $^{152}\text{Sm}$  and  $^{154}\text{Gd}$ ", Phys. Rev., 179, 4, 1214, 1229.

RUD, N., NIELSEN, H. L., WILSKY, K., (1971), "Experimental Investigation of the Perturbed  $\beta^-$  Vibrational Bands in  $^{152}\text{Sm}$ ,  $^{154}\text{Gd}$  and  $^{156}\text{Gd}$ ", Nucl. Phys. A167, 401-420.

RZACA-URBAN, T., UTZELMANN, S., STRAHLE, K., LIEDER, R. M., GAST, W., GEORGIEV, A., KUTCHIN, D., MARTI, G., SPOHR, K., VON BRENTANO, P., EBERTH, J., DEWALD, A., THEUERKAUF, J., WIEDENHOFER, I., ZELL, K. O., MAIER, K. H., GRAWE, H., HEESE, J., KLUGE, H., URBAN, W., WYSS, R., (1994), "Study of the High Spin Structure of  $^{144}\text{Gd}$ ", Nucl. Phys. A579, 319-331.

SAKAI, M., (1984), Atomic Data and Nuclear Data Tables 31, 399-432.

SCHOLTEN, O., IACHELLO, F., and ARIMA, A., (1978), "Interacting Boson Model of Collective Nuclear States (The Transition from SU(5) to SU(3))", Ann. Phys. 115, 325-360.

SOLOVIEV, V. G., SUSHKOV, A. V., Yu SHIRIKOVA, N., (1994), "Descriptions of Low-Lying Vibrational States and Gamma-Ray Transitions Between Excited States in  $^{156}\text{Gd}$  and  $^{158}\text{Gd}$ ", Nucl. Phys. A568, 244-264.

TAGZIRIA, H., ELAHRASH, M., HAMILTON, W. D., FINGER, M., JOHN, J., MALINSKY, P., and PAVLOV, V. N., (1990), "The Role of the  $C_L$  Parameters in IBM-2 as Exemplified by the Nuclear Structure of  $^{152}\text{Gd}$ ", J. Phys. G: Nucl. Part. 16, 1323-1338.

ULUER, I., (1975), "Multipole Mixing Ratios of Transitions in  $^{154}\text{Gd}$ ", Turkish Atomic Energy Commission, Technical Journal 2, 3, 105-118.

ULUER, I., KALFAS, C. A., HAMILTON, W. D., FOX, R. A., WARNER, D. D., FINGER, M., and CHUNG, D. K., (1975), "Multipole Mixing Ratios of Transitions in  $^{156}\text{Gd}$ ", J. Phys., G: Nucl. Phys. 1, 4, 476-486.

WEIL, D., WIROWSKI, R., OTT, E., DEWALD, A., Von BRENTANO, P., WOLTERS, H., LIEDER, R. M., (1994), "Spins and Parities of High-Spin States in  $^{146}\text{Gd}$  and new  $\gamma\gamma$ -Coincidence Technique for  $\gamma$ -Linear-Polarization Measurements", Nucl. Phys. A567, 431-444.

VAN ISACKER, P., LIPAS, P. O., HELIMAKI, K., KOIVISTOINEN, I., and WARNER, D. D., (1988), "IBM-2 Description of M1 Properties in Deformed Nuclei", Nucl. Phys. A480, 301-315.

VARNELL, L., BOWMAN, J. D., and TRISCHUK, J., (1969), "Beta and Gamma Vibrational Bands in  $^{152}\text{Sm}$  and  $^{154}\text{Gd}$ ", Nucl. Phys. A127, 270-288.

VARSHNEY, A. K., TYAGI, R. K., PRASAD, R., and GUPTA, D. K., (1988), B(E2) Values for Transitions from High-Spin States in Deformed Even-Even Nuclei", Il Nuovo Cimento, 99 A, 1, 1-8.

WEST, R. L., FUNK, E. G., and MIHELISH, J. W., (1978), "Levels in Populated by the  $(\alpha, 2n\gamma)$  Reaction and the Decay of the Isomers of  $^{154}\text{Tb}$ ", Phys. Rev. C18, 2, 679-692.

WHITLOCK, L. C., HAMILTON, J. H., and RAMAYYA, A. V., (1971), "Multipole Admixtures of Transitions from Beta, Gamma, and Octupole Vibrational States in  $^{154}\text{Gd}$ ", Phys. Rev. C3, 1, 313-325.

YAMADA, S., SELVI, S. and IIMURA, H., (1985), "Multipole Mixing Ratios of Transitions in  $^{152}\text{Sm}$  and  $^{152}\text{Gd}$  Following the  $^{152}\text{Eu}$  Decay", Annu. Rep. Res. Reactor Inst. Kyoto Univ. 18, 149-153.

ZOLNOWSKI, D. R., FUNK, E. G., and MIHELICH, J. W., (1971), "Levels Structure in  $^{152}\text{Gd}$  Studied in the Decay of 17.5 Decay h  $^{152}\text{Tb}$ ", Nucl. Phys. A177, 513-558.

ZOLNOWSKI, D. R., HUGHES, M. B., HUNT, J., and SUGIHARA, T. T., (1980), "Systematics of Quasi-Rotational States in N=88 Nuclei", Phys. Rev. C26, 6, 2556-2574.